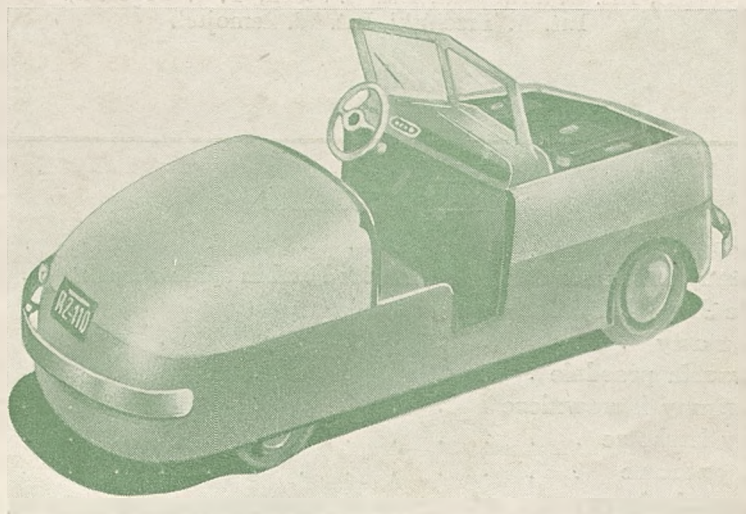


PRZEGLĄD MOTORYZACYJNY

THE POLISH MOTOR DIGEST



EDINBURGH Nr. 15 MAJ 1946
WYDAWNICTWO SEKCJI MOTORYZACYJNEJ STOWARZYSZENIA
TECHNIKÓW POLSKICH W WIELKIEJ BRYTANII

«POLITECHNIKA»
CZASOPISMO NAUKOWO-TECHN.

Komitet Redakcyjno-Wydawniczy „Przeglądu Motoryzacyjnego“ :

Przewodniczący:

Inż. T. Zyliński

Sekretarze:

J. Dyla i H. Pączkowski

Dział wydawniczy:

Inż. Siłka

Dział propagandowo-finansowy:

A. Herbich

Skarbnik:

S. Bissenik

Przedstawiciel w Londynie:

Inż. H. Krasuń

Współpracownicy:

Inż. A. Bzdawka, Inż. W. Bogucki, Inż. S. Bojarczuk,
Inż. W. Czternastek, Inż. C. Fałkowski, Inż. Z. Ja-
kusz, Inż. S. Janicki, Inż. W. Jaworski, Inż. A. Jeni-
ke, Inż. S. Kazimierowicz, Inż. B. Kasiński, Dr. inż.
J. Kestin, Inż. J. Kowalczyk, Inż. Z. Kornberger, Inż.
H. Krawczyk, Inż. K. Loesch, Inż. C. Łazoryk, Inż. J.
Mihułowicz, Inż. K. Moszoro, Tng. M. Mirzwiński,
Tng. J. Napiórkowski, Inż. J. Nofer, Inż. S. Piotrow-
ski, Inż. L. Śliwowski, Inż. C. Stoch, T. J. Trębicki,
Inż. A. Trzciniński, Inż. W. Żemojtel.

TREŚĆ NUMERU

Od Redakcji	Str. 65
Nowe metody obliczania obiegów silników i turbin spalinowych	„ 65
Brytyjskie Samochody Osobowe :	
Tylne mosty	„ 73
Zawieszenia przednie	„ 78
Mechanizmy kierownicze	„ 82
Lane wały korbowe	„ 85
Spawanie oporowe	„ 87
Rynek Samochodowy :	
Amerykański samochód popularny „The Bobby-Car“	„ 93
Nowy samochód „Kaiser“	„ 95
Karrier CK ₂	„ 95
Traktor uniwersalny Nuffielda	„ 95
Drobiazgi Techniczne :	
Spawanie cierne termoaaktywnych mas plastycznych	„ 96
Obróbka termiczna zębatego pierścienia rozrusznika metodą in- dukcyjną	„ 96
Nowy ciężki stop do wyważania	„ 96



PRZEGLĄD MOTORYZACYJNY

WYDAWNICTWO SEKCJI MOTORYZACYJNEJ STOWARZYSZENIA TECHNIKÓW
POLSKICH W WIELKIEJ BRYTANII

Adres Redakcji i Administracji - Charleshill, near Aberdour, Fife, Gt. Britain

Cena numeru - 1/6

Prenumerata - 4/6 za 3 numery

Maj 1946r.

101409
III

Nr. 15

OD REDAKCJI

Pragniemy powiadomić Szanownych Czytelników, że poczynając od bieżącego numeru, „Przegląd Motoryzacyjny“ będzie wydawany w okresach miesięcznych.

Stało się to możliwym na skutek zwiększenia pomocy, udzielanej czasopismu przez Wojskowy Instytut Techniczny w formie subwencji, zwiększenia jego udziału w pracach redakcyjnych i wydawniczych. Za pomoc tę i współpracę, wyrażamy Wojskowemu Instytutowi Technicznemu podziękowanie.

Mamy nadzieję, że regularne wydawanie „Przeglądu Motoryzacyjnego“ jako miesięcznika zawierającego więcej treści, przyczyniać się będzie w większym stopniu do rozpowszechniania i pogłębiania wiedzy technicznej wśród techników polskich.

W dążeniu do spełnienia tych zadań, zwracamy się z gorącym apelem do ogółu techników polskich, o głębsze zainteresowanie pismem oraz o czynną współpracę.

KOMITET REDAKCYJNO-WYDAWICZY
„PRZEGLĄDU MOTORYZACYJNEGO“.

NOWE METODY OBLICZANIA OBIEGÓW SILNIKÓW I TURBIN SPALINOWYCH

Dr. Inż. Józef Kestin

W ciągu ostatniego dziesięciolecia w Stanach Zjednoczonych i w Niemczech przeprowadzono bardzo precyzyjne pomiary ciepła właściwego gazów. Pomiary te zostały wykonane przy pomocy metody spektroskopowej, w oparciu o kinetyczną teorię gazów i teorię kwantów. Znajomość metod pomiarowych jest zbędna do opanowania nowych metod obliczeniowych, których punktem wyjścia są

ostateczne wartości ciepła właściwego gazów, wyrażone jako funkcja temperatury. Istota tych metod polega na uwzględnieniu zależności ciepła właściwego gazów od temperatury. Przy użyciu odpowiednich tablic, podobnie jak to ma miejsce w technice pary, obliczenia takie są niezbyt skomplikowane, zaś wyniki, rzecz jasna, obarczone są znacznie mniejszym błędem.

Tablice takie przystosowane do interpolacji liniowej, a więc ułożone dla małych skoków temperatur, zostały opublikowane dla powietrza, przy użyciu jednostek angielskich. Podobne tablice dla pozostałych gazów, mających znaczenie w technice, są w przygotowaniu. W artykule niniejszym podano za Schmidt'em tabele ramowe w jednostkach metrycznych. W celu otrzymania dokładnych wy-

1969CW777/8

ników poleca się stosowanie interpolacji przy pomocy wykresów.

W końcu artykułu przeprowadzono, tytułem przykładu, obliczenie sprawności wzorców powietrznych trzech podstawowych obiegów gazowych (Otto, Diesel, turbina stałych ciśnień). Wyniki obliczeń dają pogląd na wielkość błędu, jaki się popełnia, zakładając stałość ciepła właściwego.

1. Dwie klasy gazów doskonałych.

Czytelnicy pamiętają, że studium termodynamiki, że gazem doskonałym nazywamy gaz, odpowiadający dwum warunkom:

(a) termiczne parametry stanu tego gazu, to jest ciśnienie P , objętość właściwa v i temperatura bezwzględna T spełniają równanie stanu w postaci

$$P \cdot v = R \cdot T \quad (1)$$

gdzie stała gazowa R , zależy jedynie od ciężaru cząsteczkowego gazu M i wynosi:

$$R = \frac{\bar{R}}{M} \quad (2)$$

Wielkość \bar{R} jest stałą gazową uniwersalną, której wartość, według najnowszych pomiarów wynosi:

$$\begin{aligned} \bar{R} &= 847,85 \text{ kgm/kmol } ^\circ\text{C} \\ &= 8,3149 \cdot 10^{10} \text{ erg/kmol } ^\circ\text{C} \\ &= 8312,4 \text{ int.joule/kmol } ^\circ\text{C} \\ &= 1,9867 \text{ Kal/kmol } ^\circ\text{C} \\ &= 1,9857 \text{ IT Kal/kmol } ^\circ\text{C} \\ &= 2,3090 \cdot 10^{-3} \text{ kWh/kmol } ^\circ\text{C} \end{aligned}$$

(b) Ciepło właściwe przy stałym ciśnieniu, C_p , przy stałej objętości, C_v , oraz wykładnik izentropy κ)

$$\kappa = \frac{C_p}{C_v} \quad (3)$$

mają wartości stałe, niezależne od

1) w joule'ach międzynarod.

2) w kaloriach piętnastostopniowych.

3) w kaloriach międzynarodowych (1 IT Kal = 1/860 kWh).

Tabele w niniejszym artykule są wyrażone w kaloriach międzynarod. (IT Kal) lecz dla prostoty użyto skrótu Kal).

4) W latach ostatnich przyjęto się bardzo dogodnie rozróżnienie dwóch kategorii przemian adiabatycznych. Każdą przemianę bez wymiany ciepła pomiędzy czynnikami i otoczeniem nazywamy przemianą adiabatyczną. Z pośród przemian adiabatycznych wyodrębniamy przemiany adiabatyczne odwracalne, które nazywamy izentropowymi. Tak więc np. rozprężanie w cylindrze silnika jest, w granicznym przypadku, przemianą izentropową, natomiast np. dławienie jest przemianą adiabatyczną lecz nie izentropową.

ciśnienia i temperatury gazu.

O ile pierwsze z tych dwu założeń nie prowadzi do znacznych błędów w obliczeniach, o tyle drugie nie daje się utrzymać. Na przykład parametry powietrza spełniają r. (1) w granicach 2% w temp. 0°C i pod ciśnieniem 50 at, oraz w granicach 1,5% pod tym samym ciśnieniem i w temp. 200°C. Pod ciśnieniem 100 at błąd jest większy i wynosi 3% dla 0°C i 4% dla 200°C. W zagadnieniach, związanych z obliczaniem silników, ciśnienie rzadko osiąga wartości 50 at, a więc można przyjąć ważność r. (1)

Rozpatrując, znów tytułem przykładu, wielkości c_p dla powietrza (tabl. I) zauważymy, że w przedziale 0-100°C wartość jego zmienia się o 0,67%, zaś w przedziale 0-1000°C zmiana wynosi już 17,9% i przekra-

cza dopuszczalny błąd obliczeń.

Dochodzimy więc do wniosku, że możemy utrzymać założenie (a) lecz musimy obalić założenie (b), co pociąga za sobą konieczność rozróżnienia dwóch klas gazów doskonałych. Przyjęły się tu dwa następujące określenia: każdy gaz spełniający założenie (a) nazywamy gazem kalorycznie doskonałym. O ile ponadto gaz spełnia założenie (b) to nazywamy go termicznie doskonałym. W niniejszym artykule zajmijmy się opisem własności gazów doskonałych kalorycznie, lecz niedoskonałych termicznie.

W praktyce, każdy gaz w granicach ciśnień mniejszych od ok. 50 at można uważać za doskonały kalorycznie. Gazy można ponadto uważać za termicznie doskonałe o ile zakres rozprężanych temperatur jest rzędu 100°C.

TABELA I. (wg. SCHMIDT'a)

Ciepło właściwe \bar{C}_p gazów w Kal/kmol °C. W celu przeliczenia na 1 kg należy liczby w tabeli podzielić przez ciężar cząsteczkowy M , podany w ostatniej rubryce. W celu przeliczenia na 1 N m³ należy dzielić przez 22,41 Nm³/kmol. $\bar{C}_v = \bar{C}_p - 1,99$

(Tabela nie uwzględnia dysocjacji i odnosi się do małych ciśnień.)

t° C	H ₂	N ₂ [*]	O ₂	CO	H ₂ O	CO ₂	SO ₂	Powietrze	t° C
0	8,84	8,93	6,99	6,96	8,00	8,60	9,20	6,05	0
100	8,90	8,95	7,14	6,99	8,14	8,63	10,16	6,90	100
200	8,99	7,01	7,36	7,05	8,35	10,46	10,92	7,09	200
300	7,01	7,13	7,60	7,22	8,60	11,12	11,52	7,23	300
400	7,03	7,27	7,82	7,39	8,80	11,69	12,00	7,40	400
500	7,06	7,44	8,01	7,57	9,18	12,17	12,35	7,55	500
600	7,12	7,60	8,17	7,74	9,49	12,57	12,63	7,70	600
700	7,19	7,74	8,30	7,89	9,81	12,91	12,85	7,86	700
800	7,28	7,87	8,41	8,03	10,13	13,19	13,01	7,99	800
900	7,38	7,98	8,50	8,14	10,44	13,43	13,14	8,10	900
1000	7,49	8,08	8,58	8,24	10,72	13,63	13,25	8,20	1000
1100	7,59	8,18	8,65	8,33	10,98	13,80	13,33	8,29	1100
1200	7,69	8,27	8,72	8,40	11,22	13,95	13,40	8,37	1200
1300	7,79	8,34	8,78	8,46	11,44	14,08	13,46	8,43	1300
1400	7,89	8,40	8,85	8,52	11,66	14,20	13,51	8,49	1400
1500	7,98	8,45	8,91	8,57	11,86	14,30	13,55	8,55	1500
1600	8,07	8,50	8,96	8,61	12,04	14,39	13,59	8,60	1600
1700	8,16	8,54	9,02	8,65	12,22	14,47	13,62	8,65	1700
1800	8,24	8,58	9,07	8,69	12,36	14,54	13,65	8,69	1800
1900	8,31	8,62	9,13	8,72	12,50	14,60	13,67	8,72	1900
2000	8,38	8,65	9,18	8,74	12,62	14,66	13,69	8,76	2000
2100	8,45	8,68	9,23	8,77	12,75	14,72	13,70	8,80	2100
2200	8,51	8,70	9,28	8,79	12,86	14,77	13,72	8,83	2200
2300	8,57	8,73	9,33	8,81	12,97	14,82	13,73	8,86	2300
2400	8,62	8,75	9,37	8,83	13,07	14,86	13,74	8,89	2400
2500	8,67	8,77	9,42	8,85	13,17	14,91	13,76	8,92	2500
2600	8,72	8,79	9,46	8,87	13,26	14,95	13,77	8,94	2600
2700	8,77	8,80	9,50	8,89	13,34	14,99	13,77	8,96	2700
2800	8,82	8,82	9,54	8,91	13,42	15,03	13,78	8,98	2800
2900	8,88	8,84	9,58	8,92	13,48	15,06	13,79	9,01	2900
3000	8,90	8,85	9,62	8,93	13,55	15,10	13,79	9,02	3000
M =	2,02	28,16	32,00	28,00	18,02	44,00	64,06	28,964	M

* azot z powietrza, wraz z gazami szlachetnymi.

2. Wnioski, wypływające z przyjęcia równania $P \cdot V = R \cdot T$.

Zanim przejdziemy do omówienia własności ciepła właściwego gazów termicznie niedoskonałych, musimy dokładnie przeanalizować konsekwencje, wynikające z utrzymania ważności r. (1). Wbrew przyjętym w technice zwyczajom, w niniejszych rozważaniach będziemy odnosić wielkości do 1 mola a nie do 1 kg gazu, ponieważ jest to dogodniejsze i bardziej racjonalne. W myśl tej umowy, r. (1) przyjmijmy postać

$$P \cdot \bar{V} = \bar{R} \cdot T \quad (1a)$$

gdzie kreska nad symbolem oznacza wielkość odniesioną do 1 mola, tj. M kg czynnika.

Pomijając dowody i przekształcenia matematyczne, które można znaleźć w podręcznikach⁵⁾ zreasumujemy najbardziej istotne wnioski. Znajomość równania stanu gazów doskonałych w postaci (1) lub (1a) w przeciwieństwie do par, nie jest wystarczająca do obliczenia ciepła właściwego, a przyjęcie go jedynie narzuca dwa poniższe warunki:

(c) Parametry \bar{C}_p , \bar{C}_v i κ nie zależą od ciśnienia i są funkcjami jedynie temperatury. Fakt ten ogromnie ułatwia układ tablic i wykresów dla gazów ponieważ występuje w nich tylko jedna zmienna — t;

(d) różnica $\bar{C}_p - \bar{C}_v$ (obliczona dla jednej określonej temperatury, lub różnica średnich wartości, obliczonych dla tego samego zakresu temperatur) ma wartość stałą, a mianowicie:

$$\bar{C}_p - \bar{C}_v = A \cdot \bar{R} \quad (4)$$

$$A \cong \frac{1}{427} \frac{\text{Kcal}}{\text{kgm}}$$

Z powyższego wynika natychmiast bardzo ważny wniosek praktyczny:

(e) znajomość jednego z trzech parametrów \bar{C}_p , \bar{C}_v i κ dla dowolnego gazu w określonej temperaturze pozwala obliczyć pozostałe dwa. Znając np. \bar{C}_p możemy znaleźć

$$\bar{C}_v = \bar{C}_p - A \cdot \bar{R} \quad (5)$$

oraz

$$\kappa = \frac{1}{1 - \frac{A \cdot \bar{R}}{\bar{C}_p}} \quad (6)$$

Jak wiadomo (por. ust. 4) parametry kaloryczne gazu \bar{U} , \bar{I} i \bar{S} są określone przez odpowiednie wartości ciepła właściwego, a więc znajomość $\bar{C}_p = f(t)$ pozwala obliczyć wszystkie

parametry termodynamiczne gazu, występujące w obliczeniach i całe zagadnienie sprowadza się do pomiaru ciepła właściwego przy stałym ciśnieniu.

Podkreślamy raz jeszcze, że własności (c) i (d) są logiczną konsekwencją przyjęcia r. (1) względnie (1a) i są słuszne tak długo, jak długo to równanie pozostaje słuszne. Doświadczenia całkowicie potwierdzają te wnioski. I tak, dla przykładu, średnie

ciepło właściwe $[\bar{C}_p]_{20^\circ}^{100^\circ}$ powietrza

wzrasta o 4%, gdy ciśnienie wzrasta od 1 at do 50 at i o 25% gdy ciśnienie wzrasta od 1 at do 300 at.

Zanim przejdziemy do omówienia metod obliczania pozostałych parametrów kalorycznych gazów, opiszemy pokrótce metody pomiaru ciepła właściwego.

3. Oznaczanie ciepła właściwego gazów.

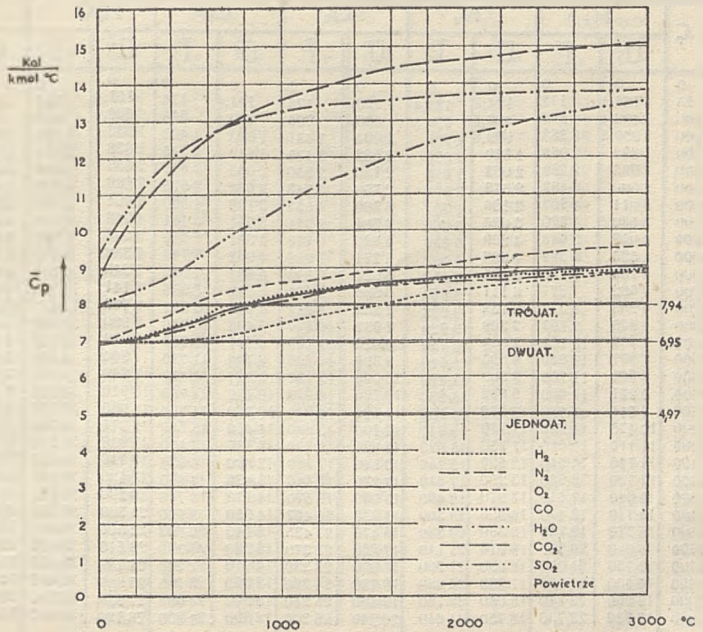
Starsze metody pomiaru ciepła właściwego były w istocie swej empiryczne. Najstarsza metoda bezpośrednia polegała na pomiarach kalorymetrycznych. Później rozwinięto metodę, polegającą na pomiarze przyrostu temperatury wywołanego przez ciepło Joule'a, wydzielane przez odpowiedni drut, umieszczony w strumieniu badanego gazu. W wyższych tem-

peraturach, zagadnienia izolacji cieplnej w tych metodach, stają się trudne do opanowania, a błąd, wynikły wskutek strat cieplnych staje się niepomijalnie duży. Znaczne trudności przedstawia dokładny pomiar masy gazu, zaś mała pojemność cieplna gazów, w porównaniu z pojemnością cieplną przyrządów, poważnie ogranicza dokładność pomiarów.

Metoda pośrednia polegała na oznaczeniu wykładnika izentropy κ , który jak to wynika z rozważań poprzedniego ustępu, wystarcza do oznaczenia \bar{C}_p i \bar{C}_v . Wykładnik κ oznaczano drogą pomiarów podczas gwałtownego rozprężania (metoda Clement-Desormes'a) lub przez pomiar szybkości dźwięku. Obydwie te metody są niepraktyczne w wyższych temperaturach.

Równoległe z tymi metodami empirycznymi rozwijała się teoria kinetyczna gazów, która starała się obliczyć wartości ciepła właściwego gazów. Klasyczna teoria kinetyczna gazów prowadziła do stałych wartości \bar{C}_p , \bar{C}_v i κ przy czym wartości te zależały jedynie od liczby atomów w cząsteczce gazu. Powyższe wnioski są zgodne z doświadczeniem dla gazów o budowie najprostszej tj. jednoatomowych, lecz teoria ta zawodzi w wypadku gazów dwu i wieloatomowych, ponieważ przyjmuje zbyt uproszczony model budowy gazu.

Rozwój teorii kwantów pozwolił na rozszerzenie i pogłębienie powyższej



Rys. 1.

Ciepło właściwe \bar{C}_p gazów według Schmidta i według teorii kinetycznej gazów.

⁵⁾ P. np. EPSTEIN, P.S.: *Textbook of Thermodynamics*, New York, 1937, str. 38 i 44.

teorii *) oraz na stworzenie nowej metody pośredniej pomiaru ciepła właściwego. Teoria kwantów wiąże ciepło właściwe z budową materii gazu i z własnościami jego widma. W ten sposób, z pomiarów spektroskopowych, możemy obecnie bardzo dokładnie oznaczać ciepło właściwe gazów w bardzo szerokim zakresie temperatur.

Pomiary takie zostały wykonane przez cały szereg fizykochemików

*) Bardzo jasne streszczenie wyników obywatu teorii znajdzie czytelnik w pracy EWING, J. A. *Thermodynamics for Engineers*, Cambridge, 1936, str. 257.

amerykańskich i niemieckich. 7) Wyniki ich można przyjąć jako dane do obliczeń technicznych. Znajomość, nawet pobieżna, tych nowoczesnych metod laboratoryjnych i odpowiedniej teorii jest zupełnie niezbędna.

Na rys. 1 przedstawiono w formie wykresu wyniki pomiarów niemieckich cytowane w tab. I według Schmidta. 8) Grube linie poziome przedstawiają wartości \bar{C}_p , obliczone z klasycznej teorii kinetycznej gazów, która jak widać, daje wyniki zgodne

7) Por. zał. bibliogr.

8) SHMIDT, E.: *Einführung in die technische Thermodynamik*, Berlin, 1944 r., str. 40 i nast.

z doświadczeniem jedynie w temperaturach zbliżonych do temperatury otoczenia.

Skoki temperatur w tab. I są zbyt duże, ażeby można było stosować interpolację liniową, wskutek czego poleca się stosować interpolację graficzną. Warto też zaznaczyć, że dane te nie dają się przedstawić przy pomocy prostego równania empirycznego. Dalszej używane wzory potęgowe typu:

$$\bar{C}_p = A + Bt + Ct^2 + \dots$$

zawodzą całkowicie.

TABELA II. (wg. SCHMIDT'a)

Energia wewnętrzna \bar{U} i entalpia \bar{I} gazów w Kal/kmol°C. W celu przeliczenia na 1 kg należy liczyć w tabeli podzielić przez ciężar cząsteczkowy M , podany w ostatniej rubryce. W celu przeliczenia na 1 Nm³ należy dzielić przez 22,41 Nm³/kmol.

W tabeli przyjęto $\bar{U}_0 = 0$ oraz $\bar{I}_0 = 0^\circ$ dla 0° C.

Srednie ciepło właściwe molowe w granicach od t° C do t° C oblicza się z wzoru $[\bar{C}_p]_0^t = \bar{U}/t$ oraz

$[\bar{C}_p]_0^t = \bar{I}/t$. Srednie ciepło właściwe w granicach t₁, t₂ oblicza się z wzoru $[\bar{C}_p]_{t_1}^{t_2} = (\bar{U}_2 - \bar{U}_1)/(t_2 - t_1)$ oraz

$[\bar{C}_p]_{t_1}^{t_2} = (\bar{I}_2 - \bar{I}_1)/(t_2 - t_1)$. Srednie ciepła również spełniają związek $[\bar{C}_p]_{t_1}^{t_2} [\bar{C}_v]_{t_1}^{t_2} = AR$.

(Tabela nie uwzględnia dysocjacji i odnosi się do małych ciśnień.)

t° C	H ₂		N ₂ *)		O ₂		CO		H ₂ O		CO ₂		SO ₂		Powietrze		t° C
	\bar{U}	\bar{I}	\bar{U}	\bar{I}	\bar{U}	\bar{I}	\bar{U}	\bar{I}	\bar{U}	\bar{I}	\bar{U}	\bar{I}	\bar{U}	\bar{I}	\bar{U}	\bar{I}	
0	0	0	0	0	0	0	0	0	0	0	0	0	0	0	0	0	0
25	122,4	172	124,3	173,4	125,4	175	124,4	174	151,4	201	167,4	217	184,4	234	124,4	174	25
100	493,4	592	498,3	594,5	500,4	705	499,4	698	608,4	807	718,4	917	775,4	974	498,4	697	100
200	990,8	1366	999,6	1392	1004	1431	1005	1400	1232	1629	1524	1921	1634	2093	1003	1400	200
300	1492	2088	1510	2098	1582	2178	1519	2115	1878	2471	2395	2991	2598	3154	1519	2115	300
400	1995	2789	2033	2818	2156	2950	2053	2847	2556	3350	3342	4136	3631	4325	2053	2847	400
500	2500	3493	2573	3564	2700	3743	2602	3596	3266	4259	4339	5329	4561	5544	2601	3594	500
600	3011	4203	3126	4301	3360	4552	3168	4380	3994	5186	5377	6569	5668	6798	3168	4366	600
700	3530	4920	3695	5068	3984	5374	3751	5141	4748	6138	6445	7835	6777	8067	3744	5134	700
800	4050	5648	4259	5829	4626	6216	4351	5940	5563	7152	7574	9163	7785	9374	4344	5933	800
900	4595	6382	4846	6652	5271	7058	4962	6749	6388	8175	8702	10490	8894	10680	4953	6740	900
1000	5134	7125	5493	7457	5924	7910	5683	7560	7248	9244	9867	11850	10016	12000	5675	7561	1000
1100	5692	7877	6111	8261	6589	8774	6210	8395	8141	10330	11038	13223	11145	13330	6197	8382	1100
1200	6255	8638	6734	9092	7259	9642	6848	9231	9039	11420	12239	14620	12281	14600	6824	9211	1200
1300	6825	9407	7369	9931	7937	10520	7493	10080	9900	12560	13434	16020	13420	16000	7467	10060	1300
1400	7402	10180	8008	10780	8620	11400	8141	10920	10922	13720	14646	17430	14580	17360	8049	10980	1400
1500	7997	10960	8653	11600	9306	12290	8795	11770	12000	14880	15880	18850	15740	18720	8766	11750	1500
1600	8603	11780	9361	12450	10000	13180	9461	12480	12890	16070	17110	20290	16910	20090	9424	12600	1600
1700	9221	12600	9962	13300	10700	14070	10120	13200	13910	17200	18300	21740	18010	21470	10110	13460	1700
1800	9841	13420	10620	14150	11390	14970	10780	14360	14930	18500	19580	23150	19270	22840	10760	14320	1800
1900	10470	14240	11280	15010	12100	15870	11450	15230	15970	19740	20830	24610	20460	24230	11420	15190	1900
2000	11110	15080	11950	15870	12820	16790	12130	16100	17040	21010	22110	26080	21660	25640	12100	16070	2000
2200	12900	17660	13910	17610	14270	18640	13490	17860	19190	23560	24690	29030	—	—	13460	17820	2200
2300	13640	18470	14650	18460	15000	19570	14170	18740	20290	24860	25940	30510	—	—	14150	18720	2300
2400	13710	18470	14850	19360	15730	20497	14850	19620	21390	26150	27230	32000	—	—	14830	19600	2400
2500	14370	19340	15330	20230	16470	21435	15540	20502	22500	27460	28520	33490	—	—	15520	20490	2500
2600	15040	20200	16010	21110	17220	22374	16230	21290	23610	28770	29820	34990	—	—	16220	21390	2600
2700	15730	21080	16690	21990	17970	23310	16910	22275	24730	30100	31130	36490	—	—	16910	22270	2700
2800	16400	21960	17380	22880	18720	24280	17600	23165	25880	31440	32430	37990	—	—	17600	23160	2800
2900	17080	22840	18060	23750	19480	25240	18300	24056	27020	32760	33750	39510	—	—	18300	24060	2900
3000	17780	23730	18750	24640	20240	26200	18990	24950	28180	34140	35050	41010	—	—	19000	24970	3000
M =	2,02		28,16		32,00		28,00		18,02		44,00		64,06		28,964		M

*) azot z powietrza, wraz z gazami szlachetnymi.

4. Obliczanie energii wewnętrznej, entalpii i entropii.

Po ustaleniu wartości \bar{C}_p , dla różnych gazów, jako funkcji temperatury, możemy obliczyć \bar{C}_v i κ z równań (5) i (6), potem możemy przystąpić do obliczenia parametrów kalorycznych gazów, a mianowicie energii wewnętrznej \bar{U} , entalpii \bar{I} oraz entropii \bar{S} . Jako poziom przyjęto temperaturę 0°C i ciśnienie 1 atm = 1,03323 kg/cm² i założono, że w tych warunkach:

$$\left. \begin{aligned} \bar{U}_0 &= 0 \\ \bar{I}_0 &= 0 \\ \bar{S}_0 &= 0 \end{aligned} \right\} (0^\circ\text{C}, 1\text{atm}) \quad (7)$$

Energię wewnętrzną gazu doskonałego oblicza się z równania różniczkowego:

$$d\bar{U} = \bar{C}_v dT \quad (8)$$

Energia wewnętrzna podobnie jak \bar{C}_v nie zależy od ciśnienia. Energię wewnętrzną w dowolnej temperaturze oblicza się drogą całkowania r. (8), to jest:

$$\bar{U} = \int_0^T \bar{C}_v \cdot dT \quad (9)$$

Ponieważ wartości $\bar{C}_v = f(T)$ są dane w postaci tablic, całkowanie r. (9) wymaga dużego nakładu pracy rachunkowej, o ile wynik ma być możliwie najdokładniejszy. Wyniki obliczeń są zestawione w tabeli II.

Entalpię (cieplik) gazu oblicza się, analogicznie z równania:

$$d\bar{I} = \bar{C}_p \cdot dT \quad (10)$$

oraz:

$$\bar{I} = \int_0^T \bar{C}_p dT \quad (11)$$

zaś wyniki całkowania są również zestawione w tab. II.

Entropię gazu można obliczyć, na podstawie jednego z dwu równoważnych wzorów Plancka, tj.:

$$d\bar{S} = \frac{\bar{C}_v \cdot dT + A \cdot P \cdot d\bar{V}}{T} \quad (12)$$

lub:

$$d\bar{S} = \frac{\bar{C}_p \cdot dT - A \cdot \bar{V} \cdot dP}{T} \quad (13)$$

które, po uwzględnieniu równania stanu $P \cdot \bar{V} = \bar{R}T$ oraz warunków początkowych (7), całkują się do postaci:

$$\bar{S} = \int_0^T \frac{\bar{C}_v dT}{T} + A \cdot \bar{R} \cdot \ln \frac{\bar{V}}{\bar{V}_0} \quad (14)$$

oraz

$$\bar{S} = \int_0^T \frac{\bar{C}_p dT}{T} - A \cdot \bar{R} \cdot \ln \frac{P}{P_0} \quad (15)$$

TABELA III. (wg. SCHMIDT'a)

Entropia gazów $\bar{S}_v = \int_0^T \frac{\bar{C}_v \cdot dT}{T}$ oraz $\bar{S}_p = \int_0^T \frac{\bar{C}_p \cdot dT}{T}$ w Kal/kmol° C.

W celu przeliczenia na 1 kg należy liczby, zawarte w tabeli podzielić przez ciężar cząsteczkowy M , podany

w ostatniej rubryce. W celu przeliczenia na 1 N m³ należy dzielić przez 22,41 N m³/kmol.

(Tabela nie uwzględnia dysocjacji i odnosi się do małych ciśnień.)

t° C	H ₂		N ₂ *		O ₂		CO		H ₂ O		CO ₂		SO ₂		Powietrze		t° C
	\bar{S}_v	\bar{S}_p	\bar{S}_v	\bar{S}_p	\bar{S}_v	\bar{S}_p	\bar{S}_v	\bar{S}_p	\bar{S}_v	\bar{S}_p	\bar{S}_v	\bar{S}_p	\bar{S}_v	\bar{S}_p	\bar{S}_v	\bar{S}_p	
100	1,53	2,15	1,55	2,17	1,57	2,19	1,56	2,18	1,88	2,50	2,17	2,79	2,48	3,09	1,56	2,18	100
200	2,69	3,76	2,72	3,81	2,81	3,80	2,77	3,86	3,37	4,46	4,06	5,15	4,45	5,62	2,74	3,83	200
300	3,60	5,10	3,68	5,15	3,84	5,31	3,71	5,18	4,58	6,05	5,73	7,20	6,18	7,82	3,69	5,16	300
400	4,41	6,23	4,50	6,29	4,80	6,59	4,56	6,35	5,66	7,43	7,26	9,05	7,73	9,75	4,55	6,34	400
500	5,10	7,20	5,24	7,31	5,61	7,76	5,33	7,40	6,62	8,67	8,62	10,69	9,14	11,47	5,31	7,38	500
600	5,74	8,05	5,91	8,22	6,33	8,74	6,03	8,35	7,51	9,82	9,67	12,18	10,40	13,00	6,02	8,33	600
700	6,30	8,82	6,53	9,05	6,98	9,54	6,65	9,17	8,33	10,89	11,03	13,57	11,58	14,40	6,66	9,20	700
800	6,82	9,54	7,13	9,81	7,66	10,38	7,28	10,00	9,15	11,87	12,19	14,87	12,72	15,68	7,32	10,00	800
900	7,32	10,19	7,67	10,51	8,23	11,12	7,84	10,73	9,88	12,80	13,21	16,06	13,74	16,86	7,83	10,72	900
1000	7,91	10,79	8,16	11,18	8,76	11,82	8,34	11,38	10,59	13,98	14,14	17,19	14,60	17,94	8,32	11,38	1000
1100	8,15	11,35	8,63	11,80	9,29	12,50	8,80	12,03	11,24	14,50	15,04	18,24	15,46	18,96	8,80	12,01	1100
1200	8,55	11,88	9,06	12,40	9,76	13,11	9,26	12,61	11,90	15,28	15,87	19,24	16,29	19,90	9,25	12,60	1200
1300	8,93	12,38	9,47	12,93	10,21	13,69	9,69	13,16	12,50	16,03	16,71	20,19	17,03	20,78	9,67	13,15	1300
1400	9,31	12,96	9,86	13,44	10,63	14,23	10,07	13,68	13,14	16,75	17,46	21,07	17,75	21,63	10,06	13,67	1400
1500	9,65	13,40	10,24	13,94	11,03	14,74	10,44	14,18	13,68	17,41	18,16	21,89	18,43	22,41	10,45	14,16	1500
1600	9,98	13,83	10,58	14,40	11,42	15,24	10,81	14,66	14,25	18,06	18,83	22,67	19,07	23,18	10,80	14,62	1600
1700	10,30	14,24	10,92	14,84	11,79	15,69	11,14	15,02	14,75	18,68	19,47	23,40	19,66	23,87	11,16	15,06	1700
1800	10,60	14,64	11,20	15,25	12,08	16,11	11,45	15,46	15,21	19,24	20,02	24,07	20,20	24,56	11,43	15,47	1800
1900	10,88	15,02	11,51	15,65	12,40	16,52	11,77	15,88	15,69	19,81	20,58	24,72	20,74	25,18	11,74	15,87	1900
2000	11,15	15,39	11,81	16,02	12,71	16,92	12,07	16,28	16,16	20,37	21,15	25,36	21,31	25,79	12,05	16,26	2000
2100	11,44	15,75	12,11	16,40	13,03	17,34	12,35	16,66	16,62	20,91	21,70	26,00	—	—	12,35	16,64	2100
2200	11,72	16,10	12,37	16,75	13,33	17,71	12,62	17,03	17,06	21,44	22,22	26,60	—	—	12,61	17,01	2200
2300	11,98	16,44	12,64	17,09	13,65	18,10	12,91	17,39	17,51	21,96	22,75	27,20	—	—	12,91	17,36	2300
2400	12,23	16,77	12,89	17,42	13,92	18,45	13,17	17,73	17,93	22,45	23,25	27,78	—	—	13,16	17,60	2400
2500	12,49	17,09	13,14	17,74	14,19	18,79	13,42	18,06	18,32	22,92	23,73	28,34	—	—	13,42	18,02	2500
2600	12,73	17,40	13,38	18,05	14,45	19,12	13,68	18,38	18,71	23,38	24,21	28,87	—	—	13,67	18,34	2600
2700	12,95	17,77	13,61	18,35	14,70	19,44	13,94	18,68	19,10	23,83	24,64	29,38	—	—	13,92	18,66	2700
2800	13,18	17,99	13,84	18,65	14,96	19,76	14,16	18,97	19,48	24,28	25,07	29,89	—	—	14,14	18,95	2800
2900	13,10	18,27	14,07	19,94	15,20	20,07	14,38	19,25	19,85	24,72	25,50	30,38	—	—	14,36	19,23	2900
3000	13,61	18,54	14,18	19,21	15,46	20,37	14,59	19,52	20,21	25,14	25,93	30,76	—	—	14,58	19,51	3000
M =	2,02		28,16		32,00		28,00		18,02		44,00		64,07		28,964		= M

* azot z powietrza, wraz z gazami szlachetnymi.

Dla warunków początkowych $\bar{V}_0 = 22,415 \text{ m}^3/\text{kmol}$, zaś $\bar{P}_0 = 1,0332 \text{ kg/cm}^2$. Wstawiając te wartości do powyższych równań i wprowadzając logarytmy zwyczajne, otrzymamy następujące uproszczone równania:

$$\bar{S} = \int_0^t \frac{\bar{C}_v \cdot dT}{T} + 4,573 \cdot \lg \bar{V} - 6,388 \quad (14a)$$

($\bar{V} \frac{\text{m}^3}{\text{kmol}}$)

oraz

$$\bar{S} = \int_0^t \frac{\bar{C}_p \cdot dT}{T} - 4,573 \cdot \lg \bar{P} + 0,064 \quad (15a)$$

($\bar{P} \frac{\text{kg}}{\text{cm}^2}$)

Widzimy, że entropia gazu jest funkcją dwóch parametrów stanu, temperatury i ciśnienia lub temperatury i objętości i składa się z dwu członów. Człon pierwszy:

$$\bar{S}_v = \int_0^t \frac{\bar{C}_v \cdot dT}{T} \quad (16)$$

względnie:

$$\bar{S}_p = \int_0^t \frac{\bar{C}_p \cdot dT}{T} \quad (17)$$

zależy jedynie od temperatury. Całkowanie, podobnie jak to miało miejsce w wypadku energii wewnętrznej i entalpii, jest uciążliwe. Wyniki cał-

kowania są podane w tabl. III. Drugi człon, zależny tylko od objętości względnie ciśnienia, daje się łatwo obliczyć przy pomocy suwaka.

Podane tu tablice są oparte na badaniach niemieckich, cytowanych przez Schmidt'a.¹⁰⁾ Porównanie tych tabel z tabelami amerykańskimi przeprowadzone przez autora, wykazało bardzo daleko idącą zgodność i w granicach obliczeń technicznych można je uważać za jednoznaczne. Bardzo obszerne tablice powietrza, nadające się doskonale do użytku praktycznego i zezwalające na pamięciową interpolację liniową, zostały opublikowane w St. Zjednoczonych przez Keenan'a i Kaye'a.¹¹⁾ Ogłoszenie podobnych tablic dla pozostałych gazów, spotykanych w technice, zostało zapowiedziane przez tych samych autorów.

W tablicach tych stosowany jest angielski układ miar ($^{\circ}\text{F}$, B.T.U., etc.).

W wypadku mieszanin gazowych o znanym składzie stosuje się proste wzory proporcjonalne. Najwygodniej jest parametry odnosić do 1 mola, biorąc za punkt wyjścia udziały objętościowe składników v . Wtedy dla 1 mola mieszaniny

$$\bar{C}_p = \sum_i \bar{C}_{p,i} \cdot v_i$$

i

(\bar{C}_v i κ należy obliczać z r. (5) i (6).)

¹⁰⁾ SCHMIDT, loc. cit.
¹¹⁾ KEENAN, J. H., KAYE, J. Thermodynamic properties of air, New York, 1945 r.

$$\left. \begin{aligned} \bar{U} &= \sum_i U_i \cdot v_i \\ \bar{T} &= \sum_i I_i \cdot v_i \\ \bar{S} &= \sum_i \bar{S}_i \cdot v_i \end{aligned} \right\} (18)$$

Sumowanie rozciąga się na wszystkie składniki mieszaniny i przeprowadza się dla określonej temperatury. W celu otrzymania liczb, odniesionych do 1 kg, wyniki należy podzielić przez średni ciężar cząsteczkowy mieszaniny

$$M = \sum_i M_i \cdot v_i \quad (19)$$

W celu usprawnienia obliczeń załączyliśmy na rys. 2 nomogram Lutz'a i Wolf'a¹²⁾, służący do określenia średniego ciężaru cząsteczkowego gazów, składających się z azotu (z powietrza), tlenu, dwutlenku węgla i pary wodnej. Sposób posługiwania się tym nomogramem wynika jasno z rys. 2.

5. Podstawowe własności prostych przemian gazów doskonałych.

Celem łatwiejszego zrozumienia opisanych niżej metod wykreślonych przypominamy, znów bez podawania dowodów, podstawowe własności prostych przemian gazów doskonałych.

a) Przemiana przy stałej objętości.

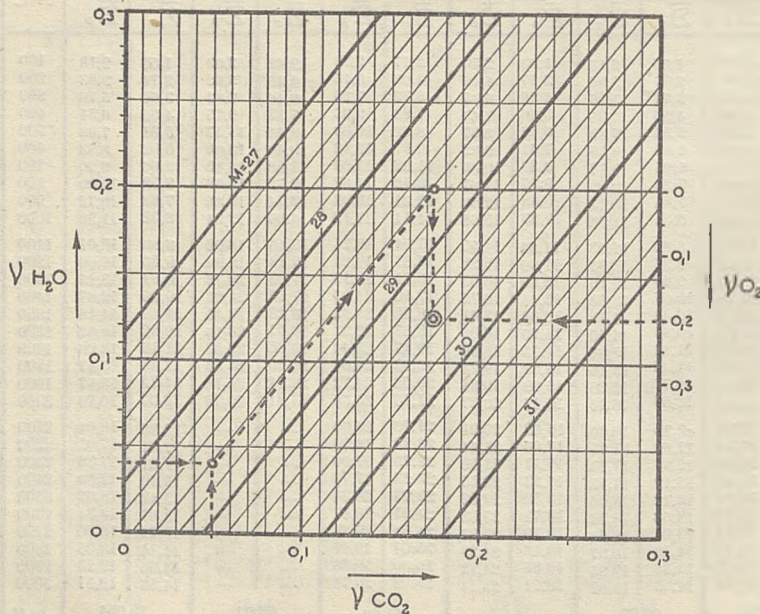
$$\left. \begin{aligned} \text{praca przemiany } L &= 0 \\ \text{praca techniczna } L &= V(P_1 - P_2) \\ \text{ciepło przemiany } Q &= U_2 - U_1 \end{aligned} \right\} (20)$$

b) Przemiana przy stałym ciśnieniu.

$$\left. \begin{aligned} \text{praca przemiany } L &= P(V_2 - V_1) \\ \text{praca techniczna } L &= 0 \\ \text{ciepło przemiany } Q &= I_2 - I_1 \end{aligned} \right\} (21)$$

c) Przemiana izentropowa

$$\left. \begin{aligned} \text{równanie przemiany } S_1 &= S_2 = \text{const.} \\ \text{praca przemiany } AL &= U_1 - U_2 \\ \text{praca techniczna } AL &= I_1 - I_2 \\ \text{ciepło przemiany } Q &= 0 \end{aligned} \right\} (22)$$



Rys. 2.
 Nomogram do określania średniego ciężaru cząsteczkowego mieszanin N_2 , O_2 , CO_2 i H_2O (wg Lutz'a i Wolf'a).

¹²⁾ LUTZ, O. i WOLF, F.: J. S.—Tafel für Luft und Verbrennungsgase, Berlin, J. Springer, 1938.

Równania dla przemian izotermicznych i dla dławienia są te same, co dla gazów doskonałych o stałym cieple właściwym.

Przypomnijmy również, że praca przemiany jest wykonana przez czynnik, przy jednorazowym poddaniu go przemianić od punktu 1 do punktu 2, natomiast praca techniczna uwzględnia pracę pompowania tj. pracę zasiania czynnika i wyrzucenia go z maszyny.

W obiegach zamkniętych

$$\sum AL = \sum AL_t = \sum Q \quad (23)$$

6. Budowa wykresu entropowego i, s .

Sporządzenie wykresu i, s , dla gazu doskonałego o zmiennym cieple właściwym jest rzeczą względnie prostą, zwłaszcza że krzywe na wykresie mają szereg ciekawych własności. Dla każdego rodzaju gazu lub dla każdej mieszanki gazów, rzecz jasna, wymagany jest osobny wykres.

W pierwszym rzędzie skale temperatury i energii wewnętrznej są sprzężone ze skalą entalpii, zaś linie stałych temperatur i stałej energii wewnętrznej są poziome i równoległe do skali entropii. W celu wykreślenia skali temperatur najwygodniej jest wykreślić pomocniczą krzywą $i=f(t)$, według tab. II. Sposób postępowania wynika jasno z rys. 3. Tak samo można wykreślić skalę u . Rzecz jasna, że skale u i t głównego wykresu nie są skalami liniowymi.

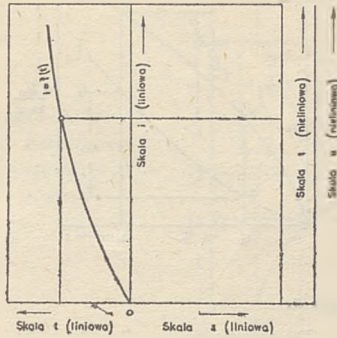
Krzywe stałych ciśnień, jak to wynika wprost z r. (15a), są wszystkie identycznego kształtu i są przesunięte względem siebie równoległe do osi entropii. Dla dowolnego P r. (15a) przedstawia zależność pomiędzy temperaturą i entropią, a więc równanie tej krzywej $P=const$, w układzie t, s . Ponieważ entalpia i jest funkcją jedynie temperatury, krzywą $P=const$ jest nie trudno wykreślić w układzie i, s przy pomocy uprzednio zbudowanej skali t . Krzywa $P=1,033 \text{ kg/cm}^2$ przechodzi przez początek układu współrzędnych ze względu na założenie (7).

Krzywą tą wykreśla się przez odkładanie par wartości i oraz

$$s_p = \int_0^t \frac{c_p \cdot dt}{T}$$

z tab. II i III na liniach poziomych, odpowiadających odpowiednim temperaturom. Wreszcie warto zauważyć, że na dowolnej prostej poziomej $i=const$ lub $t=const$ można odłożyć skalę na P , która jest odwróconą skalą logarytmiczną. Wynika to od razu z r. (15a)

$$\int_0^t \frac{c_p \cdot dt}{T} = const$$



Rys. 3.

Konstrukcja skali t oraz u na wykresie i, s .

na takiej linii poziomej, to jest

$$s = const. - \lg P$$

Skalę taką można narysować u góry wykresu albo też na osobnym skrawku papieru, w celu ułatwienia interpolacji i zmniejszenia ilości krzywych P na wykresie. Teoretycznie wystarczy tu jedna krzywa $P=const$. Skala taka jest przedstawiona na rys. 4.

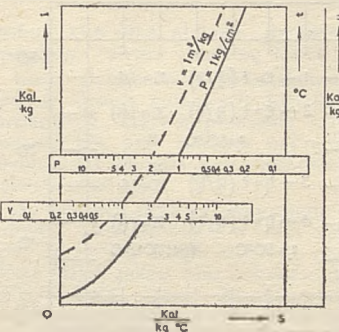
Krzywe stałej objętości mają analogiczną budowę, co wynika z symetrii r. (14a) i (15a), z tą różnicą w tym wypadku jest to prosta skala logarytmiczna.

W celu sporządzenia wykresu dla dowolnej mieszanki gazów należy uprzednio przeliczyć odpowiednie tabele wg. r. (18). Przy danym paliwie wykresy takie sporządza się dla szeregu wartości nadmiaru powietrza lub stosunku paliwo: powietrze. ¹³⁾

7. Wykres Schmidt'a.

Wykresy opisane w poprzednim ustępie opłaci się wykonywać tylko

¹³⁾ Por. PFLAUM, W.: I, s—Diagramme für Verbrennungsgase und ihre Anwendung auf die Verbrennungsmaschine, Berlin, VDI, 1932 r. (przestarzałe wartości ciepła właściwego).



Rys. 4.

Postępowanie się ruchomymi skalami na P i v .

wtedy, gdy zachodzi konieczność rozważania większej ilości zadań, w szczególności zadań związanych z przepływem gazów. Nakład pracy można zmniejszyć stosując metodę Schmidt'a. ¹⁴⁾

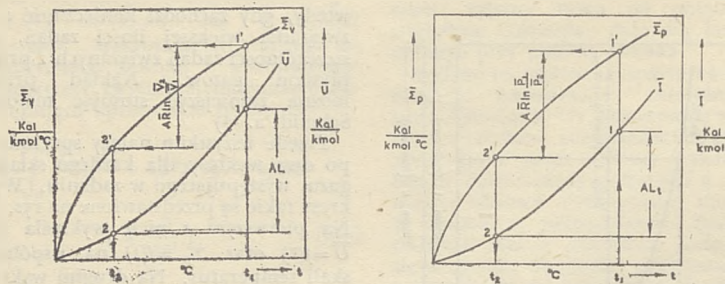
Przede wszystkim należy sporządzić po dwa wykresy dla każdego składu gazu, występującego w zadaniu. Wykresy takie są przedstawione na rys. 5. Na pierwszym z nich wykreśla się $\bar{U}=f(t)$ oraz $\Sigma v = f(t)$ na wspólnej skali temperatur. Na drugim wykresie się, podobnie, $\bar{I}=f(t)$ oraz $\Sigma p = f(t)$. Na rys. 5 przedstawiono metodę graficzną obliczenia temperatury po rozprężeniu izentropowym przy danym stosunku objętości względnie ciśnienia oraz pracy technicznej $AL_t = \bar{I}_1 - \bar{I}_2$ rozprężania. Metody rozwiązywania innych zadań wynikają z r. (20), (21) i (22). Dodatkowo pamiętać należy, że podczas spalania przy stałym ciśnieniu, entalpia gazów spalinowych jest równa sumie entalpii mieszanki paliwa z powietrzem i wartości opałowej paliwa, zaś podczas spalania przy stałej objętości energia wewnętrzna gazów spalinowych jest równa sumie energii wewnętrznej mieszanki i wartości opałowej paliwa.

8. Wykres Lutz'a i Wolf'a.

Metody, opisane w poprzednich dwu ustępach, aczkolwiek proste w rysunku, mają tę wspólną wadę, że wymagają sporządzenia kompletu wykresów dla każdego składu gazu. Wykres Lutz'a i Wolf'a ¹⁵⁾ usuwa tę konieczność kosztem komplikacji rysunku i zmniejszenia dokładności. W wykresie tym wyzyskano od dawna zauważony fakt, że w granicach kilkuprocentowej dokładności rachunku, paliwa spotykane w technice dają się podzielić na pewne grupy, w ramach których gazy spalinowe różnią się nieznacznie pod względem właściwości fizycznych ¹⁵⁾. Dla każdej z grup można dobrać paliwo „wzorcowe” o określonym składzie węgla i wodoru, np. 85% C i 15% H₂ lub 92% C i 8% H₂. Wykres ten można stosować w praktyce do wszystkich paliw stałych i ciekłych za wyjątkiem spirytusów. Zmiany w składzie uwzględnia się przy pomocy odpowiedniego współczynnika empirycznego.

¹⁴⁾ SCHMIDT, E.: Jb. 1938 d. deutschen Luftfahrtforschung, Erg. Bd., str. 314 oraz Einführung in die technische Thermodynamik, Berlin, 1944 r., str. 139.

¹⁵⁾ Z tego faktu skorzystali np. Rosin i Fehling celem zbudowania ogólnego wykresu służącego do obliczenia temperatury spalania. Por. ROSIN, P. i FEHLING, R.: Das i, t Diagramm der Verbrennung. Z. VDI., t. 71, 1927, str. 383 oraz osobne wydawnictwo VDI., 1929 r.



Rys. 5.

Wykresy Schmidta.

Dokładny opis tego wykresu przekracza ramy niniejszego artykułu, wobec czego zmuszeni jesteśmy odsłać czytelnika do prac oryginalnych¹⁶⁾. Na zakończenie wspomnieć należy również o wykresie J, λ, zaproponowanym przez Schmidta, który jest korzystny w pewnych wypadkach¹⁷⁾.

¹⁶⁾ op. cit. oraz LUTZ, O. i WOLF, F.: Die graphische Ermittlung von Ausströmvorgängen, Luftfahrtforschung, t. 10, 1940 r., str. 332.

¹⁷⁾ SCHMIDT, E.: Das I, λ — Diagramm, ein neues Hilfsmittel zur Berechnung von Gasturbinenprozessen, D. Akad. d. Luftfahrtf., t. 78, str. 77 - 91.

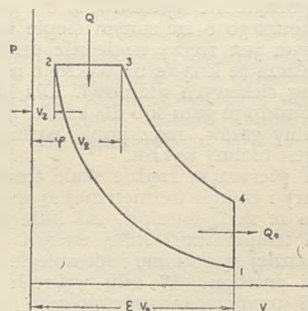
9. Dysocjacja.

W wysokich temperaturach następuje dysocjacja gazów, wskutek czego temperatura maksymalna obiegów rzeczywistych jest niższa od obliczonej. Dysocjację można pominąć jedynie poniżej ok. 1500°C. Uwzględnienie jej w obliczeniach jest pozatym, bardzo żmudne. W cytowanej wyżej pracy Lutz'a i Wolf'a znajdują czytelnicy ocenę błędów wynikających z pominięcia dysocjacji. Maksymalną temperaturę po spalaniu (a więc pomijając wpływ dysocjacji na wielkość parametrów gazu) przy spalaniu przy P = const. można obliczyć przy pomocy wykresu Rosin'a i Fehling'a.¹⁸⁾ Spe-

cialne wykresy, służące do obliczania obiegów, z uwzględnieniem dysocjacji znajdują czytelnicy w pracy Hershey'a, Eberhardt'a i Hottel'a.¹⁸⁾ Wykresy te są opracowane w jednostkach brytyjskich.

10. Przykłady liczbowe.

W celu wyrobienia sobie poglądu na wpływ zmienności ciepła właściwego na obliczoną sprawność obiegu, podajemy niżej porównanie wartości sprawności wzorców powietrznych obiegów Otto, Diesel'a i stałych ciśnień (turbina gazowa), obliczonych dla stałego κ=1,40 oraz przy pomocy wyżej opisanej metody Schmidta'a i załączonych tabel. Przy przeliczaniu obiegu Otto (rys. 6) założono, że dla



Rys. 7.

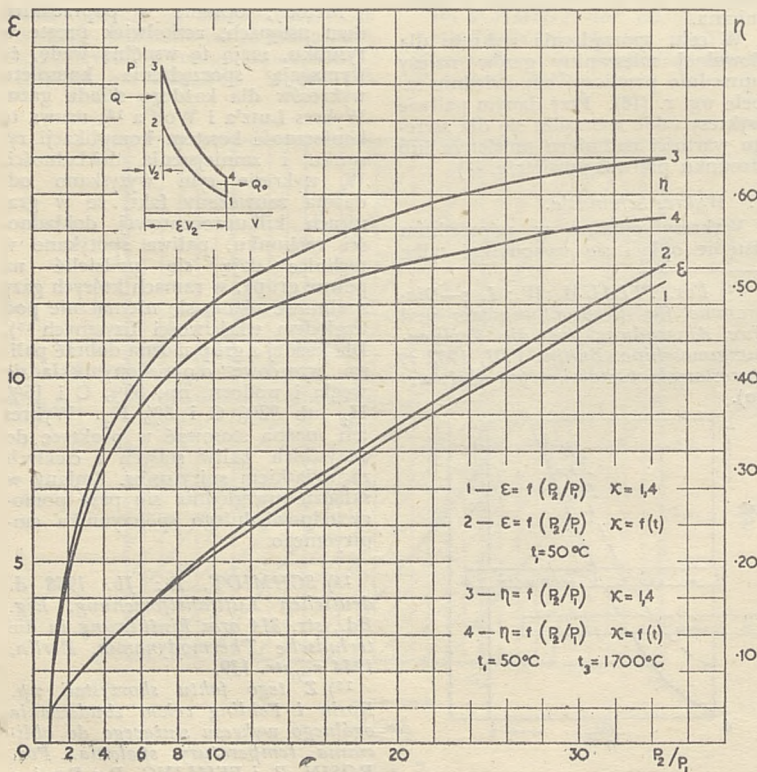
każdego stosunku ciśnień tak wyregulowano silnik, że maksymalna temperatura obiegu wynosi 1700°C. W punkcie 1 przyjęto t₁ = 50°C. Przy założeniu κ = const., jak wiadomo, sprawność teoretyczna obiegu Otto nie zależy od obciążenia. Uwzględnienie zmienności ciepła właściwego pozwala ocenić zależność sprawności od temperatury początkowej t₁ i od obciążenia, którego miarą jest ciepło, dostarczone na drodze 2 - 3. Jak się tego należało spodziewać odchylenia są tym większe im większy jest stopień sprężania ε. Uwzględnienie zmiany składu i ciężaru czynnika w cylindrze nie przedstawia trudności, aczkolwiek jest dość żmudne w praktyce.

Dla porównania odchyień w przypadku obiegu Diesel'a przeliczono przykład, w którym (rys. 7)

$$\frac{P_2}{P_1} = 35 (\epsilon = 13,1)$$

$$\phi = \frac{V_3}{V_2} = 3$$

zaś t₁ = 50°C. Przy założeniu κ = 1,40 = const. otrzymamy na mocy znanego wzoru: η = 0,526 (κ = 1,4 = const.)



Rys. 6.

Sprawność wzorca powietrznego obiegu Otto oraz stopień sprężania w zależności od stosunku ciśnień P₂/P₁.

¹⁸⁾ Thermodynamic Properties of the Working Fluid in Internal Combustion Engines. S.A.E. Journal, 1936, str. 409-424.

zaś uwzględniając zmianę ciepła właściwego, lecz pomijając wpływ dysocjacji, oraz zmiany składu i ciężaru czynnika, otrzymamy:

$$\eta = 0,472 \text{ (wzorzec powietrzny } \kappa = f(t).)$$

Wreszcie na rys. 8 przedstawiono odpowiednio odchylenia dla obrotu stałych ciśnień. Rzecz jasna, że krzywe dla $\kappa = \text{const.}$ z rys. 6 i 8 są identyczne, zaś odchylenia są mniejsze z powodu mniejszej rozpiętości temperatur obrotu. Racjonalne obliczanie sprawności teoretycznej pozwala z jednej strony na lepszą ocenę termodynamiczną jakości wykonanych silników, z drugiej strony pozwala na wzięcie pod uwagę wpływu dodatkowych parametrów, który wymyka się ocenie, przy stosowaniu metod klasycznych.

LITERATURA

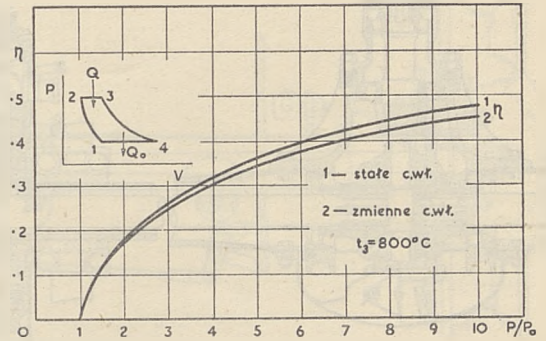
(uzupełnienia do pozycji podanych w odnośnikach)

D'Alleva, B. A. i Lowell, W. G.: Relation of exhaust gas composition to air fuel-ratio. SAE Jour., t. 38, 1936, str. 90 - 98, 116.

Davis, C. O. i Johnston, H. L.: Heat capacity curves of the simpler gases. Jour. Amer. Chem. Soc., t. 56, 1934, str. 1045-1047.

Gerhart, R. V., Brunner, F. C., Mickley, H. S., Sage, B. H. and Lacey, W.N.: Thermodynamic properties of air. Mech. Eng., t. 68, 1942, str. 270 - 272.

Rys. 8.
Sprawność obiegu stałych ciśnień (turbiny gazowej).



Gordon, A. R.: The calculation of thermodynamic quantities from spectroscopic data for polyatomic molecules. Jour. Chem. Phys., t. 2, 1934, str. 65-72 oraz str. 549.

Heck, C. H. R.: The new specific heats, Mech. Eng., v. 66, 1941, str. 9 - 12.

Johnston, H. L. and Davis, C.D.: Heat capacity curves of the simpler gases. IV. Jour. Amer. Chem. Soc., t. 56, 1934, str. 171 - 276.

Johnston, H. L. i Walker, M. K.: Heat capacity curves of the simpler gases, II. Jour. Amer. Chem. Soc., t. 55, 1933, str. 172 - 186.

Johnston, H. L. i Walker, M. K.: Heat capacity curves of the simpler gases. VII. Jour. Amer. Chem. Soc., t. 57, 1935, str. 682 - 687.

Justi, E.: Spezifische Wärme, Enthalpie, Entropie u. Dissoziation tech-

nischer Gase, Berlin, 1938 r. oraz Fuerungst. t. 26, 1938, str. 313 - 386.

Kassel, L. S.: Thermodynamic functions of nitrous oxide and carbon dioxide, Jour. Amer. Chem. Soc., t. 9, 1934, str. 1838 - 1842.

Keenan, J. H. and Kaye, J.: A table of thermodynamic properties of air. Jour. Appl. Mech., t. 10, 1943, str. 123 - 130.

Lewis, B. and von Elbe, G.: Heat capacities and dissociation equilibria of gases. Jour. Amer. Chem. Soc., t. 57, 1935, str. 612 - 614.

Stephenson, C. C. and McMahon, H. O.: The rotational partition function of the water molecule. Jour. Chem. Phys., t. 7, 1939, str. 614-615.

BRYTYJSKIE SAMOCHODY OSOBOWE

(dokończenie)*

TYLNE MOSTY

(„Automobile Engineer“—Oct. 1945—Extra Number.)

Streścił Inż. Zb. Jakusz, W.I.T.

ASTON MARTIN

Tylny most, o półosiach półodciążonych i o przekładni końcowej z kół stożkowych o zębach spiralnych, posiada pochwę nie dzieloną typu t.zw. „banjo“, do której od przodu przymocowany jest korpus dyferencjału. Koło atakujące, wykonane wraz z wałkiem, ułożyskowane jest w dwóch rolkowych łożyskach stożkowych. Przednie łożysko unieruchomione jest na wałku przez nakrętkę, która jednocześnie mocuje kołnierz prze-

gubu. Uszczelka olejowa, dociskana sprężyną, zamyka obudowę łożysk.

Kosz dyferencjału ułożyskowany jest w dwóch rolkowych łożyskach stożkowych, których położenie regulowane jest przy pomocy nakrętek. Dyferencjał posiada koła stożkowe o zębach prostych.

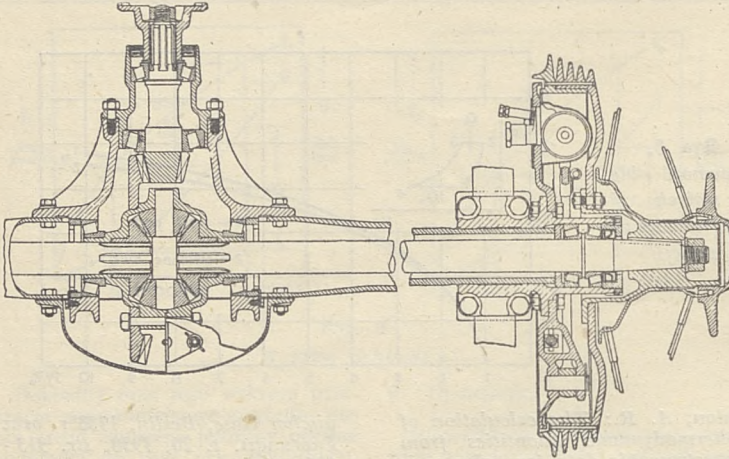
Na końcach pochwy umocowane są odlewy, ukształtowane w taki sposób, że tworzą siódła resorów, obudowę łożysk półosi oraz kołnierze dla zamocowania tarcz hamulcowych. Każda półoś obraca się w dwóch odwróconych rolkowych łożyskach stożkowych. Piasty, dla kół typu „Rudge-Whitworth“, osadzone są na stożkowych zakończeniach półosi

i zabezpieczone klinem oraz posiadają od swej wewnętrznej strony kołnierze dla umocowania bębnow hamulcowych. Tarcze hamulcowe i uźebrowane bębny hamulcowe wykonane są ze specjalnego lekkiego stopu, przy czym bębny posiadają żeliwne tuleje, tworzące powierzchnie cierne.

BENTLEY

Tylny most modelu Mk.V posiada półodciążone półosie: środkowa część pochwy mostu, odłana z lekkiego stopu, jest kształtu bębna, do którego z dwu stron umocowane są stalowe stożkowe pochwy półosi. Koło

* Patrz „Przegląd Motoryzacyjny“ Nr. 11-12, str. 2, Nr. 13-14, str. 45.



Tylny most Aston Martin z półosiąmi półodciążonymi.

atakujące, stożkowe o zębach spiralnych, wykonano wraz z wałkiem i ułożyskowano w łożysku rolkowym i dwu łożyskach kulkowych, przenoszących nacisk poosiowy w obydwu kierunkach. Łożyska te wmontowane są w tuleję, wsuniętą do środkowego odlewu i unieruchomioną przy pomocy kołnierza, dociśniętego pokrywą uszczelniającą. Koło atakujące podparte jest ponadto od strony wewnętrznej dwurzędowym łożyskiem rolkowym, osadzonym we wsporniku, odlanym wraz z częścią środkową. Kosz dyferencjału ułożyskowany jest w stożkowych łożyskach rolkowych. Łożysko od strony koła talerzowego jest unieruchomione w środkowej części osłony, drugie zaś znajduje się pod naciskiem sprężyny spiralnej. Rozwiązanie to eliminuje powstawanie luzu w łożyskach, na skutek rozszerzania się aluminiowego odlewu środkowej części. Półosi umocowane są kołnierzami do piast kół, które są ułożyskowane na łożyskach kulkowych. Pomiędzy łożyskiem a kołnierzem półosi znajduje się odrtzutnik, zapobiegający przecie-

kaniu oleju do bębna hamulcowego. Bęben hamulcowy składa się z cienkiej tarczy stalowej, zalanej w żeliny bęben posiadający na obwodzie pięć chłodzących żeber.

DAIMLER

Tylny most 2-litrowego modelu posiada półosie trzy-czwarte odciążone i napęd przy pomocy przekładni ślimakowej o umieszczonym u dołu ślimaku. Środkowa część pochwy mostu jest lana i dzielona w płaszczyźnie pionowej dla celów montażowych. Ślimak obraca się w zbiorniku oleju i jest ułożyskowany z przodu w dwurzędowym łożysku kulkowym promieniowo-oporowym, zaś z tyłu w pojedynczym łożysku kulkowym, promieniowym.

Wewnętrzny pierścień łożyska przedniego unieruchomiony jest na wałku przy pomocy nakrętki i piasty kołnierza przegubu, zaś łożyska tylnego przy pomocy nakrętki. Wałek uszczelniony jest w przedniej części przy pomocy uszczelki, będącej pod naciskiem sprężyny. Ślimacznicza

uchwycona jest pomiędzy półkosze dyferencjału, przy pomocy śrub z nakrętkami. Kosz dyferencjału ułożyskowany jest w dwu dużej średnicy łożyskach kulkowych, których pierścienie wewnętrzne opierają się o kulkowe łożysko oporowe.

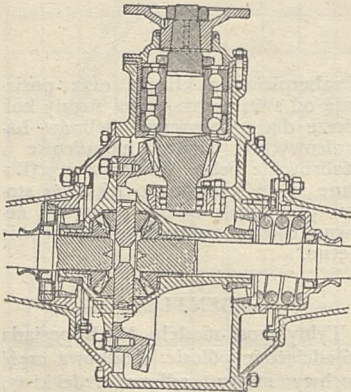
Stożkowe pochwy półosi posiadają na zewnętrznych końcach wprasowane tuleje, z kołnierzami dla umocowania tarcz hamulcowych. Łożyska kulkowe, osadzone na końcach pochwy, wbudowane są w gniazda przykręcone do piast kół, które są osadzone na stożkowych zakończeniach półosi i zabezpieczone przed obrotem klinami. Podwieszane resory umocowane są do pochwy w zwykły sposób przy pomocy strzemion w kształcie litery „U”.

FORD

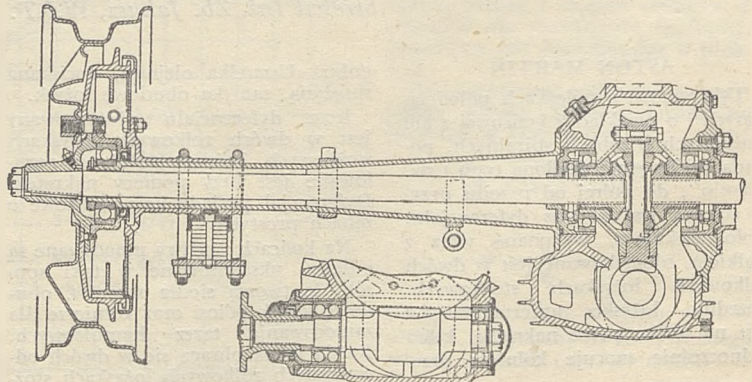
Tylny most o napędzie przy pomocy stożkowych kół o zębach spiralnych i trzy-czwarte odciążonych półosiach, pomimo, swej lekkości jest wytrzymały i sztywny. Koło atakujące, wykonane wraz z wałkiem, ułożyskowane jest szeroko rozstawionych stożkowych łożyskach rolkowych. Część środkowa pochwy tylnego mostu jest lana i dzielona w płaszczyźnie pionowej. W obie części wbudowane są stożkowe łożyska kulkowe kosza dyferencjału oraz wprasowane i zanitowane stalowe rury stanowiące pochwy półosi. Dyferencjał posiada koła stożkowe o zębach prostych. Wał napędowy zamknięty jest w rurowej osłonie, przyjmującej moment skręcający. Dwa dźwigi zastrzałowe usztywniają połączenie tylnego mostu z osłoną wału napędowego, zgodnie z poprzednimi rozwiązaniami Forda.

HUMBER

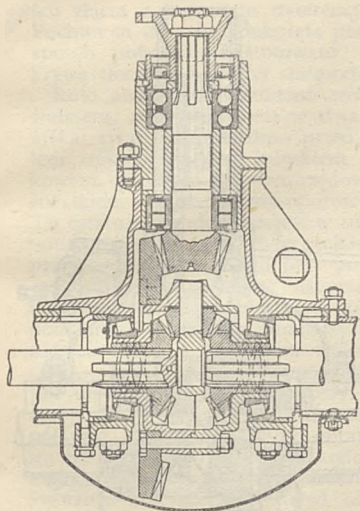
Model „Snipe” wyposażony jest w tylny most o półodciążonych półosiach. Pochwa tylnego mostu jest prasowana ze stali, typu t.zw. „ban-



Tylny most samochodu Bentley Mark V.

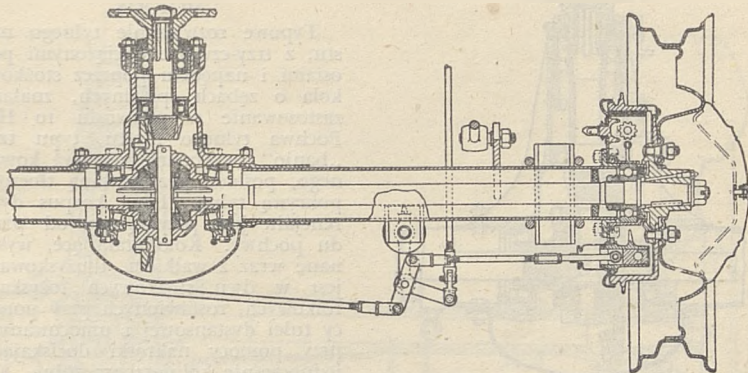


Tylny most samochodu Daimler z półosiąmi trzy-czwarte odciążonymi.



Tylny most samochodu Humber Snipe.

jo'', zamknięta z tyłu tłoczoną stalową pokrywą. Korpus dyferencjału zamocowany jest do pochwy od przodu, w sposób zwykle stosowany. Napęd tylnego mostu jest otrzymywany przez koła stożkowe o zębach spiralnych, przy czym koło atakujące wykonane jest wraz z wałkiem. Wałek ten w swojej przedniej części łożyskowany jest w dwu mocnych łożyskach kulkowych, zaś bezpośrednio przy kole atakującym w dwurzędowym łożysku rolkowym. Koło talerzowe umocowane jest do kosza dyferencjału przy pomocy śrub, łączących jednocześnie oba półkosze ze sobą. Kosz dyferencjału łożyskowany jest w dwu stożkowych łożyskach rolkowych unieruchomionych przy pomocy nakrętek, służących również do wyregulowania ząbienia. Półosie połączone są z kołami koronowymi dyferencjału na wieloklin i zakończone kołnierzami, do których



Tylny most Jowett z półosiami półodciążonymi.

bepośrednio umocowane są bębny hamulcowe i tarcze kół. W końcu pochwy tylnego mostu wbudowane są łożyska kulkowe, w których łożyskowane są półosie.

W zależności od modelu zastosowane są trzy przekładnie tylnego mostu: dla podwozia 16HP 4,89 : 1; dla „Snipe” 4,31 : 1, oraz dla „Super Snipe” 4,09 : 1.

JOWETT

Tylny most posiada napęd przez koła stożkowe o zębach spiralnych

i półosie półodciążone. Pochwa tylnego mostu składa się ze środkowej prasowanej stalowej części kształtu t.zw. „banjo”, do której są wciśnięte i przyspawane stalowe pochwy półosi. Gniazda łożysk kół tocznych oraz kołnierze tarcz hamulcowych są wciśnięte na zewnętrzne końce półosi i przyspawane.

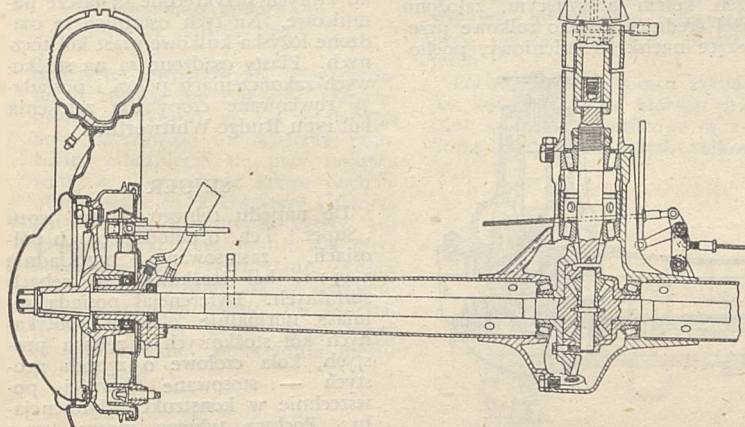
Koło atakujące, wykonane wraz z wałkiem, łożyskowane jest w swej przedniej części w dwurzędowym łożysku kulkowym promieniowo-oporowym, bezpośrednio zaś przy kole atakującym w łożysku rolkowym. łożyska rostawione są przy pomocy tulei dystansowej i unieruchomione przy pomocy nakrętki, która jednocześnie mocuje kołnierz przegubu. Pokrywa z filcową uszczelką zamyka korpus dyferencjału od przodu.

Kosz dyferencjału łożyskowany jest w dwu stożkowych łożyskach rolkowych, których położenie regulowane jest przy pomocy nakrętek pierścieniowych. Koło talerzowe jest przynitowane do półkosza dyferencjału. Półosie opierają się na mocnych łożyskach kulkowych, umieszczonych w zewnętrznych końcach pochwy tylnego mostu. Piasty, do których są przykręcone bębny hamulcowe i tarcze kół, osadzone są na stożkach półosi i zabezpieczone klinem przed obrotem.

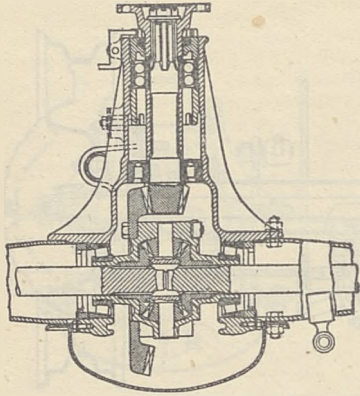
LEA-FRANCIS

Oba modele, 12 HP i 14 HP, posiadają tylny most lekkiej konstrukcji z półodciążonymi półosiami o napędzie przez koła stożkowe o zębach spiralnych i dyferencjale o kołach stożkowych z prostymi zębami. Prasowana stalowa pochwa tylnego mostu, typu t.zw. „banjo”, posiada zdejmowalną tylną pokrywą. Korpus dyferencjału jest przykręcony do pochwy od przodu.

Koło atakujące wykonane jest wspólnie z wałkiem o większej niż normalnie długości (całkowita długość koła wraz z wałkiem wynosi ok. 220 mm). Pozwala to na szerokie rozstawienie łożysk. Jako przednie łożysko zastosowano dwurzędowe ło-



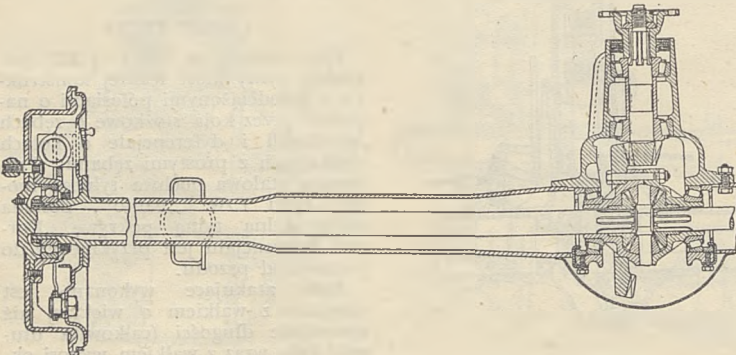
Tylny most samochodu Ford z półosiami trzy-czwarte odciążonymi.



Tylny most Lea-Francis.

Łączy koła kulkowe promieniowo-oporowe; jako tylne, bezpośrednio przy kole atakującym, łożysko rolkowe. Oba łożyska unieruchomione są na wałku nakrętką, poprzez kołnierzy przegubu. Właściwe położenie koła atakującego regulowane jest za pomocą dwu pierścieniowych nakrętek, ustalających położenie dwurzędowego łożyska w korpusie dyferencjału. Boczna pokrywa umożliwia dostęp do koronowej wewnętrznej nakrętki. Zewnętrzna nakrętka zabezpieczona jest przy pomocy zapadki i w kształcie Z. Obrócenie zapadki o 180° pozwala na obrócenie nakrętki o pół podziałki rowków. Wewnętrzna nakrętka zabezpieczona jest przy pomocy śruby wkręcanej w pokrywę i wchodzącej w rowek nakrętki.

Koło talerzowe umocowane jest do kosza dyferencjału przy pomocy śrub, wiążących jednocześnie półkosze ze sobą. Kosz dyferencjału łożyskowany jest na stożkowych łożyskach rolkowych. Piasty kół, również łożyskowane na stożkowych łożyskach rolkowych są osadzone na stożkach półosi. Przewidziano smarowanie łożysk piast, jednak dla uzyskania dostępu do smarownicy należy zdjąć tarczę koła. Przekładnia tylnego mostu wynosi 5 do 1 lub 5,25 do 1.



Tylny most samochodu Morris Ten z półosiami trzy-czwarte odciążonymi.

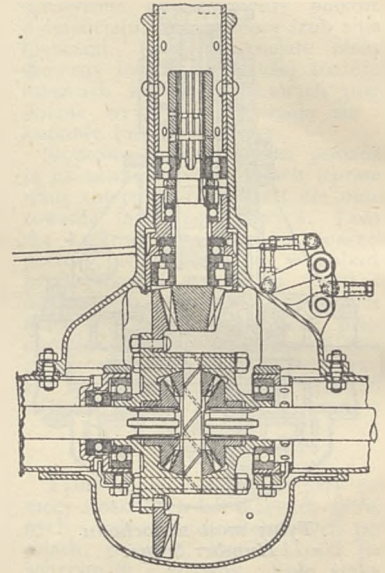
MORRIS

Typowe rozwiązanie tylnego mostu, z trzy-czwarte odciążonymi półosiami i napędem poprzez stożkowe koła o zębach spiralnych, znalazło zastosowanie w podwoziu 10 HP. Pochwa tylnego mostu, typu tzw. „banjo”, wykonana z żeliwa kowalnego, posiada przyspawaną tłoczoną pokrywę tylną. Lany korpus dyferencjału jest przykręcony od przodu pochwy. Koło atakujące, wykonane wraz z wałkiem, łożyskowane jest w dwu stożkowych łożyskach rolkowych, rastawionych przy pomocy tulei dystansowej i umocowanych przy pomocy nakrętki dociskającej jednocześnie kołnierzy przegubu. Koło talerzowe umocowane jest do kosza dyferencjału przy pomocy śrub, łączących równocześnie oba półkosze ze sobą. Kosz dyferencjału łożyskowany jest w dwu stożkowych łożyskach rolkowych. Dyferencjał posiada koła stożkowe o zębach prostych. Ustawienie łożysk odbywa się przy pomocy pierścieniowych nakrętek zabezpieczonych wkrętami. Półosie posiadają kołnierze, za które przykręcone są do bębnow hamulcowych i piast. Te ostatnie osadzone są na łożyskach kulkowych wciśniętych na pochwę tylnego mostu i zabezpieczonych nakrętkami. Regulacja luzu w łożyskach nie została przewidziana. Przekładnia tylnego mostu wynosi 5,286 do 1.

RILEY

Podwozie 1,5 litrowego wozu wyposażone jest w tylny most o trzy-czwarte odciążonych półosiach i o napędzie ze stożkowych kół o zębach spiralnych. Wał napędowy zamknięty jest w pochwie przenoszącej moment skręcający. Lekka i sztywna pochwa tylnego mostu, typu tzw. „banjo”, zamknięta jest od tyłu tłoczoną pokrywą od przodu przykręcony jest korpus dyferencjału.

Na wałku pędzącym, bezpośrednio przed kołem atakującym, założono dużej średnicy łożysko rolkowe przenoszące nacisk promieniowy, pocho-



Tylny most samochodu Riley 1 1/2-litrowego.

dzący od nacisku międzyczębnego. Przeciwny koniec wałka oparto w łożysku kulkowym. Naciski poosiowe przenoszone są przez dwa oporowe łożyska kulkowe. łożysko rolkowe i oba łożyska oporowe osadzone są w tulei, która przez obracanie może być przesuwana poosiowo, celem właściwego ustawienia koła atakującego.

Koło talerzowe przykręcone jest do kosza dyferencjału, łożyskowanego w dwóch łożyskach kulkowych; nacisk poosiowy przejmuje kulkowe łożysko oporowe, umieszczone po stronie koła talerzowego. Regulacja położenia koła talerzowego odbywa się przez obrót tulei, w których osadzone są łożyska. Pochwa tylnego mostu posiada na swych końcach kołnierze, do których przykręcone są tarcze hamulcowe. Na tych ostatnich są osadzone łożyska kulkowe piast kół tocznych. Piasty osadzone są na stożkowych zakończeniach półosi i posiadają rowkowane czopy dla założenia kół typu Rudge-Whitworth.

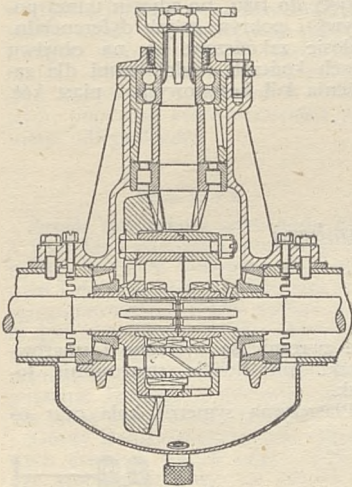
SINGER

Do napędu tylnego mostu, wozu „Super” Ten, o półodciążonych półosiach, zastosowano przekładnię 5,43 : 1, kół stożkowych o zębach spiralnych. Dyferencjał posiada zamiast normalnie obecnie spotykanych kół stożkowych o zębach prostych, koła czołowe o zębach prostych — stosowane dawniej powszechnie w konstrukcji dyferencjału. Pochwa tylnego mostu, typu tzw. „banjo”, prasowana jest ze stali i wzmocniona pierścieniem w miej-

środku złącza z korpusem dyferencjału. Pochwa ta od tyłu zamknięta jest, w sposób powszechnie stosowany, pokrywą tłoczoną z blachy stalowej.

Koło atakujące, wykonane wraz z wałkiem, uchwycone jest w dwa łożyska: tylne, bezpośrednio przed kołem atakującym, jest łożyskiem rolkowym, przednie zaś dwurzędowym łożyskiem promieniowo-oporowym. To ostatnie wbudowane jest w tuleję wsuniętą w korpus dyferencjału i przymocowaną do niego przy pomocy kołnierza. Właściwe ustawienie koła atakującego uzyskuje się przez podkładki regulacyjne pomiędzy kołnierzem tulei a korpusem dyferencjału. Koło talerzowe umocowane jest do kosza dyferencjału przy pomocy śrub, łączących jednocześnie półkosze ze sobą. Satelity obracają się na sworzniach, które na końcach mają czopy o mniejszej średnicy. Sworznie zabezpieczono przed obrotem przy pomocy spłaszczeń.

Do ułożyskowania kosza użyto, dwu stożkowych łożysk rolkowych,

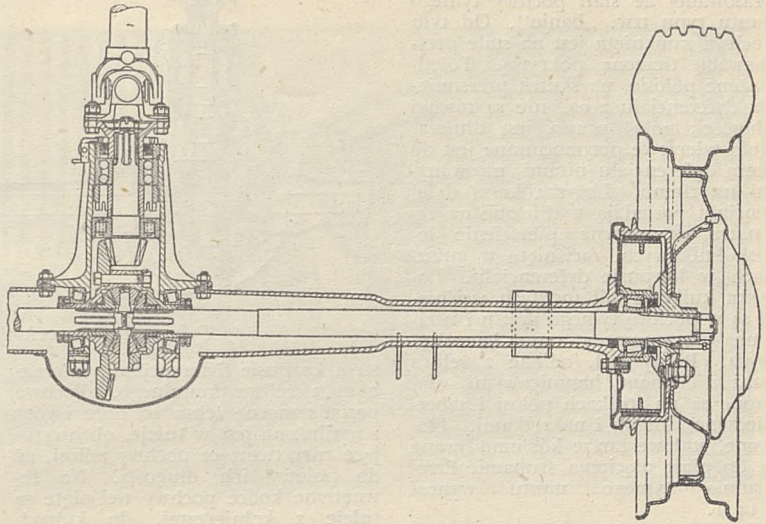


Tylny most samochodu Singer „Super-Ten“.

opartych zewnętrznymi pierścieniami o regulacyjne nakrętki pierścieniowe. Nakrętki te, po ustawieniu koła talerzowego we właściwe położenie, zabezpiecza się przy pomocy wkrętek. Zewnętrzne końce pochwy uformowane są w kołnierze i tworzą gniazda dla kulkowych łożysk kół tocznych oraz umocowanie dla tarcz hamulcowych. Zewnętrzne końce półosi ukształtowane są w ten sposób, że tworzą piasty, do których przykręcone są bębny hamulcowe oraz tarcze kół. Przekładnia mostu wynosi 5,43 : 1.

STANDARD

Pochwa tylnego mostu modelu 12 HP, o półodciążonych półosiach i



Tylny most samochodu Standard „Twelve“ z półosiami półodciążonymi.

napędzie z kół stożkowych o zębach spiralnych, wykonana jest z prasowanej stali w kształcie tzw. „banjo“. Banjo zamknięte jest od tyłu przyspawaną tłoczoną pokrywą, od przodu wzmocnione przyspawanym stalowym pierścieniem. Korpus dyferencjału, dłuższy niż normalnie, jest lany i posiada wzmacniające zewnętrzne uźebrowanie.

Szerokie dwurzędowe łożysko kulkowe promieniowo-oporowe podtrzymuje przedni koniec wałka pędzącego. Bezpośrednio przy kole atakującym wałek oparty jest w łożysku rolkowym. Zewnętrzny pierścień łożyska kulkowego uchwycony jest pomiędzy dwie nakrętki pierścieniowe, które służą do ustawienia koła atakującego we właściwe położenie.

Koło talerzowe umocowane jest do kosza dyferencjału śrubami, łączącymi jednocześnie oba półkosze. Kosz ułożyskowany jest w dwu stożkowych łożyskach rolkowych, których wewnętrzne pierścienie uchwycone są przy pomocy nakrętek pierścieniowych.

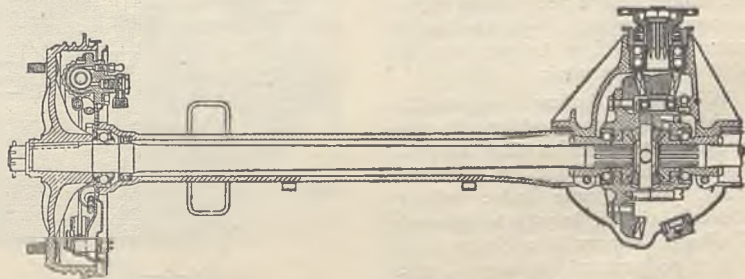
Pochwa tylnego mostu zakończona jest kołnierzami, do których przykręcone są tarcze hamulcowe oraz obudowa stożkowych łożysk rolkowych,

w których ułożyskowane są zewnętrzne końce półosi. Piasta tylnego koła, wraz z bębniem hamulcowym i tarczą koła, umocowana jest na stożku półosi i zabezpieczona klinem. Po obu stronach łożyska rolkowego znajdują się uszczelki. Przekładnia tylnego mostu wynosi 4,86 : 1.

VAUXHALL

Konstrukcja tylnego mostu tego wozu nieco odbiega od typowych rozwiązań. Koło atakujące stożkowe o zębach spiralnych jest podparte obustronnie w dwu łożyskach: w łożysku rolkowym od strony tylnej, w dwurzędowym łożysku kulkowym promieniowo-oporowym od przodu. Właściwe ustawienie koła uzyskuje się przez podkładki regulacyjne pomiędzy zewnętrznym pierścieniem łożyska kulkowego i korpusem dyferencjału. łożyska kulkowe promieniowo-oporowe kosza dyferencjału są symetrycznie rozstawione nie względem osi wałka pędzącego, jak to normalnie jest stosowane, lecz względem płaszczyzny przechodzącej przez wierzchołki zębów koła talerzowego.

Korpus dyferencjału przymocowany jest przy pomocy kołnierza do

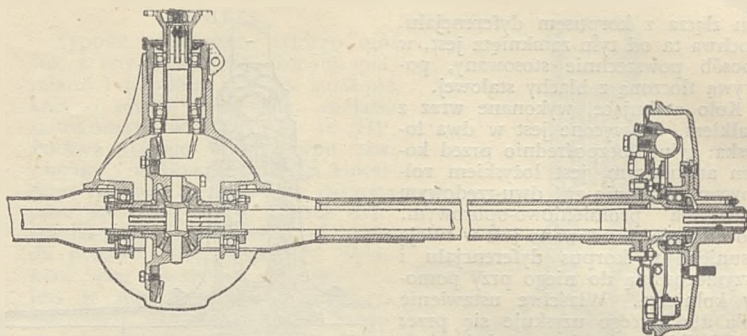


Tylny most samochodu Vauxhall „Twelve“.

prasowanej ze stali pochwy tylnego mostu typu tzw. „banjo”. Od tyłu pochwa zamknięta jest na stałe przyspawaną tłoczoną pokrywą. Półociągzone półosie, na skutek przesunięcia dyferencjału z osi, nie są równej długości; półoś prawa jest dłuższa. Koło talerzowe przymocowane jest do kosza dyferencjału nitami, nitowanymi na zimno. Łożyska kosza dyferencjału posiadają wydłużone na zewnątrz wewnętrzne pierścienie łożysk kulkowych, zaciśnięte w gniazdach w korpusie dyferencjału. Łożyska kulkowe kół tocznych wciśnięte są w pochwę tylnego mostu i ustalone przy pomocy tarcz hamulcowych. Piasty kół, odlane z żeliwa wraz z bębniami hamulcowymi, osadzone są na stożkach półosi i zabezpieczone klinami i nakrętkami. Tłoczone, stalowe tarcze kół umocowane są do piast pięcioma śrubami. Przekładnia tylnego mostu wynosi 5,14 : 1.

WOLSELEY

Tylny most podwozia 25 HP wyposażony jest w trzy-czwarte odciążone półosie i napęd ze stożkowych kół o zębach spiralnych. Cztero satelitowy dyferencjał zamknięty jest w pochwie typu „banjo” i półkuli-



Tylny most samochodu Wolseley 25 HP.

stym korpusie dyferencjału, wykonanym z żeliwa kowalnego. Pochwa posiada mocne żebra od dołu i góry i wydłużona jest w tuleje, obchwytyjące rury tworzące pochwy półosi, aż do połowy ich długości. Na zewnętrzne końce pochwy wciśnięte są tuleje z kołnierzami, do których przykręcone są tarcze hamulcowe i czopy, służące do umocowania dwurzędowych łożysk kulkowych, na których opierają się piasty kół tocznych.

Wałek pędzący wraz z kołem atakującym ułożyskowany jest w trzech jednorzędowych łożyskach kulkowych, rozstawionych tuleją dystanso-

wą i unieruchomionych na wałku nakrętką kołnierza przegubu. Dwa przednie łożyska wbudowane są w tuleję, wkręconą w korpus dyferencjału. Przez obrót tulci uzyskuje się regulację położenia koła atakującego. Kosz dyferencjału ułożyskowany jest na dwu łożyskach kulkowych promieniowo-oporowych, unieruchomionych przy pomocy nakrętek pierścieniowych. Dyferencjał może być wyjęty do tyłu, po zdjęciu tylnej pokrywy i pokryw łożysk dyferencjału. Półosie zakończone są na obydwu swych końcach wieloklinami dla założenia kół koronowych i piast kół.

ZAWIESZENIA PRZEDNIE

(„Automobile Engineer”—Oct. 1945—Extra Number.)

Streścił Inż. A. Trzcziński, W.I.T.

ALVIS

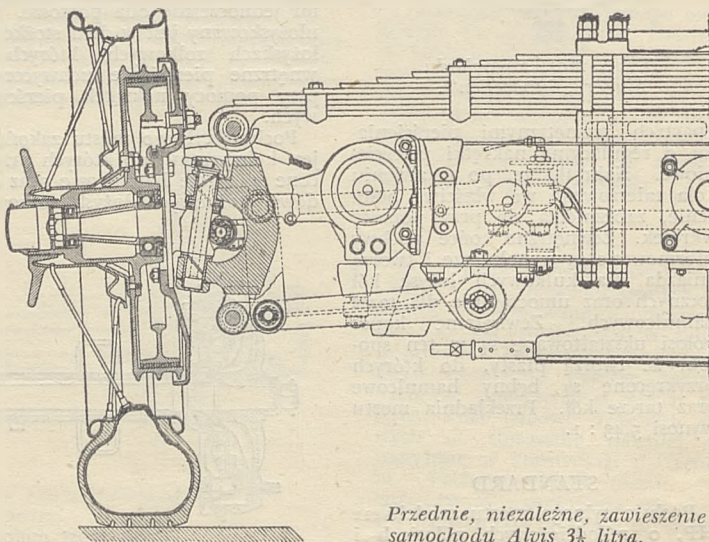
Niezależne zawieszenie przednich kół samochodów Alvis z silnikiem 3½-litrowym posiada mocny poprzeczny resor półeliptyczny, umieszczony nad belką osi, złożoną z dwóch prasowanych części o przekroju korytkowym. Ponad resorem, stalowe odkucie tworzy dwa siedła resorowe, natomiast pomiędzy resorem a ramą umieszczona jest wstawka ze stopu aluminiowego. Poniżej tej wstawki, pomiędzy górnym a dolnym członem ramy, wstawione są rury odległościowe. Ośm śrub łączy cały zespół resoru. Końce resoru podparte są na poziomych czopach, przechodzących przez wsporniki, w których obracają się sworznie zwrotnic.

W dolnych końcach wsporników znajdują się czopy podobne do resorowych, które obejmowane są przez wahacze zakotwiczone do podłużnic ramy. Wewnętrzne końce wahaczy obracają się na łożyskach igłowych. Trójkątne wsporniki z blachy stalowej, z poduszkami gumowymi, ograniczają ruchy wahaczy. Sworznie

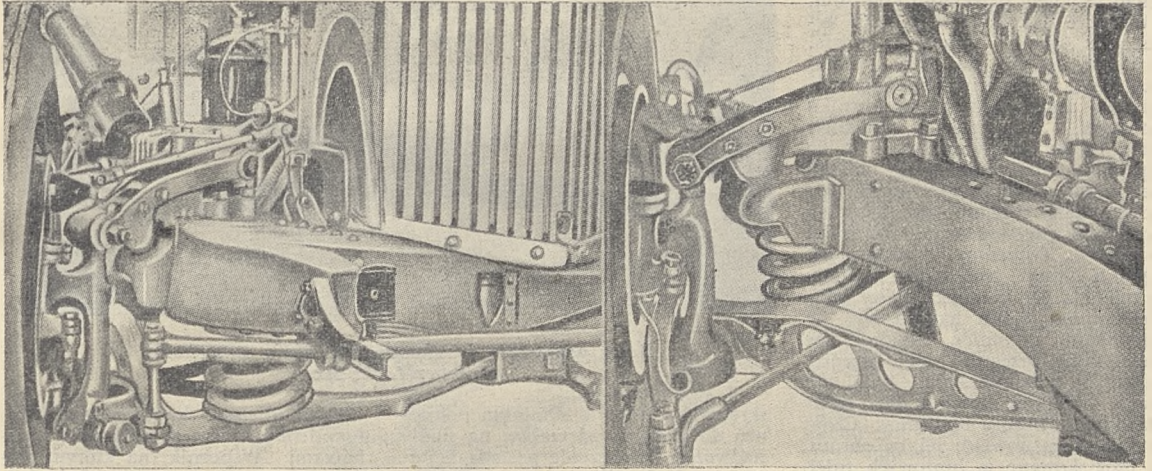
zwrotnic ułożyskowane są na obu końcach w tulejkach. Ciężar wozu przejinowany jest przez dwie podkładki ponad uchem zwrotnicy. Sworz-

nie zwrotnic są wiercone i smarowniczkami umożliwiają smarowanie łożysk.

Plaszczyna symetrii koła oraz osi



Przednie, niezależne, zawieszenie samochodu Alvis 3½ litra.



Układ wahaczy i spiralnych sprężyn zawieszenia samochodu Bentley Mark V.

sworznia zwrotnicy są nachylnie względem pionu, tak że przecinają się mniej więcej w płaszczyźnie jezdni. Kółko zwrotnicy niesie tarczę hamulca. Piasta koła osadzona jest na dwu łożyskach: kulkowym i rolkowym, pomiędzy które wstawiona jest tuleja odległościowa.

BENTLEY

Zasadą zawieszenia samochodu Mk. V jest układ wahaczy i sprężyn spiralnych. Wahacze połączone są z górnym i dolnym końcem elementu niosącego zwrotnicę. Górny wahacz, który jest stosunkowo krótki, obraca się wraz z wewnętrzną częścią hydraulicznego amortyzatora tłoczkowego. Rozwiązanie Gordon Armstrong zapewnia cichą pracę amortyzatorów.

Górny wahacz składa się ze skrzętnych śrubami dwóch części, pomiędzy którymi znajduje się wstawka z

połkulistymi zderzakami gumowymi, ograniczającymi ruch wahacza. Dolny wahacz jest stosunkowo skomplikowanej konstrukcji. Przedni jego człon, zakotwiczony od dołu do środka poprzecznicy ramy, posiada w środku zgrubienie, na którym opiera się silna sprężyna spiralna.

Tylne ramie, czyli zastrzał, dolnego wahacza, o przekroju dwuteowym, zbieżającym się ku tyłowi, zaczepione jest od dołu do podłużnic ramy. Położenie i kątowne ustawienie zastrzałów jest takie, że służą one jednocześnie do przejścia momentu hamowania. Przednie ramie i zastrzał wahacza połączone są końcami ze sobą.

Przez otwory w żebrach pionowych zastrzałów przechodzi drążek poprzeczny układu kierowniczego. Zawieszenie jest bardzo elastyczne i nie wpada w drgania, dzięki zastosowaniu połączeń gumowych i sprężyn spiralnych, które mają niską często-

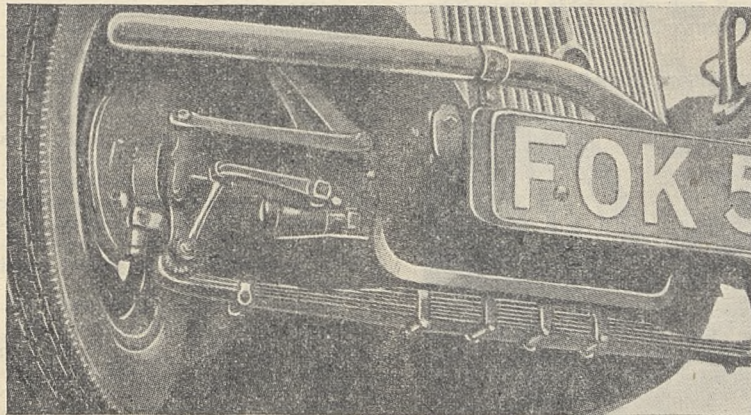
śliwość drgań własnych.

Punkt przecięcia się osi zwrotnicy i płaszczyzny symetrii koła znajduje się powyżej jezdni. Sworznie zwrotnicy posiada dwa łożyska kulkowe przenoszące siły promieniowe i brązową podkładkę przenoszącą nacisk popoziowy.

Zmniejszenie przechylenia się wozu na zakrętach uzyskane jest za pomocą „stabilizatora“ łączącego koła przednie. Do przedniego ramienia wahacza dolnego przymocowany jest poprzez dwie podkładki gumowe krótki pionowy drążek. Do drążka tego umocowany jest stabilizator, który jest osadzony w tulejach gumowych przymocowanych do podłużnic ramy. Stabilizator zapobiega nadmiernemu przechyleniu się wozu na zakrętach, jednak nie ogranicza wahań obu kół razem. Przez umieszczenie stabilizatora także na przodzie wozu uzyskuje się równomierne przechylenie się podwozia tak z przodu jak i z tyłu, co jest bardzo ważne ze względu na pewność kierowania na zakrętach. Odwrotnie niż w konstrukcji Rolls-Royce, wahacze są skierowane ku przodowi, co daje zwiększenie się kąta wyprzedzenia kół w miarę zwiększania się ugięcia resorów.

B.S.A.

Niezależne zawieszenie przednich kół w samochodach B.S.A. Scout, z napędem na przednie koła, składa się z poprzecznego resoru półeliptycznego, dwu wahaczy i amortyzatorów hydraulicznych. Poprzeczny resor, znajdujący się pod zespołem napędowym, jest umocowany do sztywnej poprzeczniczy ramy przy pomocy dwóch silnych uchwytnów. Ze względu na charakter obciążeń, resor posiada na każdym końcu podwójne ucho. Wahacze są umocowane do górnych pułec podłużnic ramy przy pomocy wsporników. Podłużnice są związane ze sobą



Resor poprzeczny i wahacze zawieszenia samochodu Scout, firmy B.S.A.

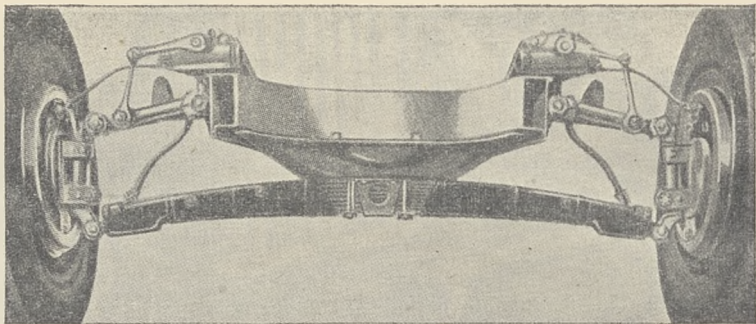
rurową poprzeczną, przechodzącą ponad zespołem przekładni końcowej.

Wahacze wykonane są ze stali węglistej o średniej zawartości węgla. Osadzone są one na dwu „Silent-bloc'ach“, w wspornikach umocowanych do ramy i jednym w sporniku zwrotnicy. Amortyzator tłoczkowy firmy Luvax przytwierdzony jest do wspornika zamocowanego do podłużnicy ramy. Ramię amortyzatora połączone jest przegubowo sztywnym łącznikiem z występem na wsporniku zwrotnicy. Zwrotnica wykonana jest razem z piastą i sworzniami z jednego odkucia. Do kołnierza piasty przykręcony jest bęben hamulcowy. W wgłębieniu zwrotnicy znajduje się uniwersalny przegub, który przenosi napęd na przednie koła. Poza tym piasta zwrotnicy posiada dwa czopy tworzące oś obrotu zwrotnicy. Czopy zwrotnicy, stanowiące jej oś obrotu, są ułożyskowane w brązowych tulejkach osadzonych we wsporniku zwrotnicy.

CITROEN

W niezależnym zawieszeniu samochodu Citroen, o napędzie na przednie koła, zastosowano drążki skrętne. Do czterech poziomych rur, wystających z przodu nadwozia, umocowane jest mocne prasowane z blachy siedło. Siedło to po obu stronach posiada piasty dla zaczepienia: u góry — widlastych wahaczy, u dołu — ramion drążków skrętnych. Zewnętrzne końce obu elementów mają dużej średnicy piasty, obejmujące górne i dolne łożysko zespołu sworzni zwrotnicy i samej zwrotnicy.

Wewnętrzny koniec każdego ramienia drążka skrętnego ma nacięty wieloklin, na który wchodzi przedni koniec drążka skrętnego. Tylne końce drążków skrętnych zamocowane są do poprzecznicy nadwozia. Należy nadmienić, że nadwozie jest samoniosące i samochód nie posiada ramy. Nadmiernemu ruchowi kół do góry przeciwdziałają gumowe zderzaki na górnej powierzchni ramion drążków



Resor poprzeczny i wahacze zawieszenia samochodu Humber Light Six.

skrętnych, które w skrajnym położeniu dobijają do zderzaków na siedle nadwozia. Zawieszenie posiada amortyzatory hydrauliczne.

HUMBER

Sposób zawieszenia przednich kół tzw. „Evenkeel“ jest stosowany w samochodach Humber od wielu lat i mimo szeregu zmian zasada jego pozostała ta sama. Zawieszenie składa się z poprzecznego resoru półeliptycznego i układu wahaczy. Resor poprzeczny, osłonięty skórzanym pokrowcem, umocowany jest w środku od spodu przedniej poprzecznicy ramy. Końce resoru połączone są z dolnymi widlastymi końcami sworzni zwrotnic.

Górny koniec sworzni zwrotnicy, do którego dołączony jest wahacz, posiada mimośrodową tuleję, pozwalającą na regulację kąta pochylenia kół. Wewnętrzny rozwidlony koniec wahacza obraca się dookoła sworzni za mocowanego do podłużnicy ramy. Sworzeń ten posiada na końcach gwintowane tulejki, które umożliwiają regulację położenia wahacza. Uchwycenie wahacza jest na tyle sztywne, że odpada konieczność skośnych zastrzałów, jakie były stosowane w poprzednich konstrukcjach.

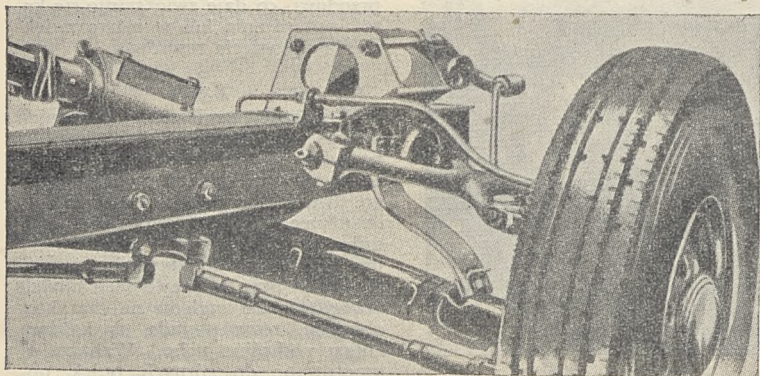
Hydrauliczne, tłoczkowe amortyzatory firmy Luvax są połączone z wahaczami. Wspornik, na którym osadzony jest amortyzator, spełnia jednocześnie rolę zderzaka ograniczającego ruch wahacza. Nadmiernemu odprężaniu się resoru przeciwdziałają taśmy łączące końce resoru z podłużnicami ramy.

Konstrukcja posiada specjalne urządzenie dla utrzymania zespołu sworzni zwrotnicy w jego normalnym położeniu, w wypadku pęknięcia resoru. Pióro główne resoru posiada na końcach ucha nie zawinięte ale odkute, które nadto objęte są przez ucha pióra drugiego. Kształt i luz pomiędzy uchem pióra głównego i drugiego pozwalają na swobodne uginanie się resoru. Ucho pióra drugiego jest zamknięte ściągaczem, który obejmuje również koniec pióra trzeciego. Dodatkowo, pod piórem głównym, znajduje się cienka taśma stalowa, która jest zaczepiona do śrub ściągaczy. Urządzenie to, w wypadku pęknięcia resoru, pozwala na panowanie nad wozem, a jednocześnie sygnalizuje kierowcy o uszkodzeniu zawieszenia.

LANCHESTER

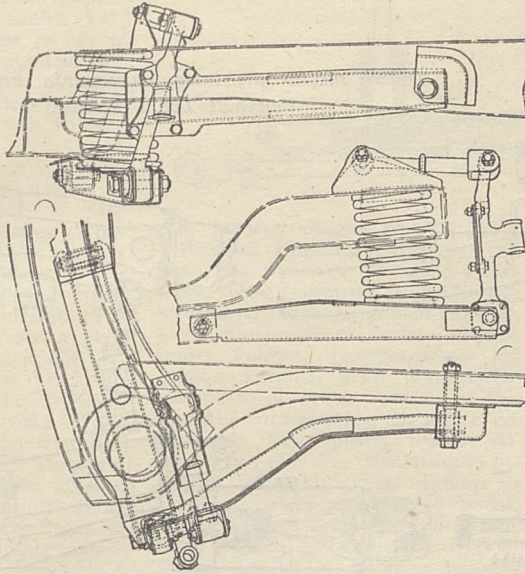
Głównymi elementami niezależnego zawieszenia samochodów Lanchester i Daimler są sprężyny spiralne, górne i dolne wahacze i dwa zastrzały. Elementy te umocowane są do odpowiednio ukształtowanego przodu ramy. Poprzecznicą przednią łączy rozgięte końce podłużnicy ramy. Po środku od dołu poprzecznicy za kotwiczone są przegubowo dwa dolne wahacze, na których opierają się sprężyny. Zewnętrzny koniec dolnego wahacza połączony jest do górnej części poprzecznicy ramy.

Koniec zastrzału, odpowiednio wygiętego do kształtu podłużnicy ramy, jest zakotwiczony przegubowo do podłużnicy ramy. Przedni koniec zastrzału jest przykręcony śrubami do płaskiego rozszerzenia wspornika zwrotnicy. Tłoczkowe amortyzatory, zamocowane do wsporników na podłużnicach, regulują odprężanie się



Hydrauliczny amortyzator samochodu Humber.

Sprężyny
spiralnego
przedniego
zawieszenia
samochodu
Lanchester.



sprężyn resorowych. W wielu punktach tego zawieszenia zastosowano „Silentbloc'i” (przeguby gumowe).

STANDARD

Układ niezależnego zawieszenia przednich kół tego samochodu nie odbiega od typowego rozwiązania, z poprzecznym półeliptycznym resorem i wahaczami. Przednie końce podłużnic ramy połączone są prasowaną z blachy poprzecznicą, w kształcie siódła. Od czasu zastosowania poraz pierwszy tego zawieszenia przez firmę Standard, resor został ulepszony przez zwiększenie ilości piór i zmniejszenie ich grubości.

Zwiększenie bezpieczeństwa uzyskane jest przez objęcie ucha pióra głównego przez wygięty koniec pióra drugiego, który to koniec jest jeszcze uchwycony od spodu ściągnaczem.

Cztery dużej średnicy śruby mocują resor od spodu poprzecznicy ramy. Gumowe zderzaki przymocowane do poprzecznicy ograniczają ugięcie resoru. Wewnętrzne końce rozwidłonego wahacza zaczepione są do poprzecznicy ramy, zaś zewnętrzny koniec do górnego widełek elementu noszącego zwrotnicę. Dolne widełki tego elementu połączone są z końcem resoru.

Hydrauliczne amortyzatory tłoczkowe zamocowane są od spodu ramy i połączone ramieniem z elementem noszącym zwrotnicę.

VAUXHALL

Ten układ zawieszenia przednich kół posiada drążek skrętny i rurę skrętną dla każdego koła oddzielnie. Krótka, sztywna sprężyna, działająca dodatkowo na układ skrętny przez dźwignię, daje zmianę sztywności zawieszenia w zależności od ugięcia. Zespół zawieszenia, zawierający także amortyzator hydrauliczny, jest zamk-

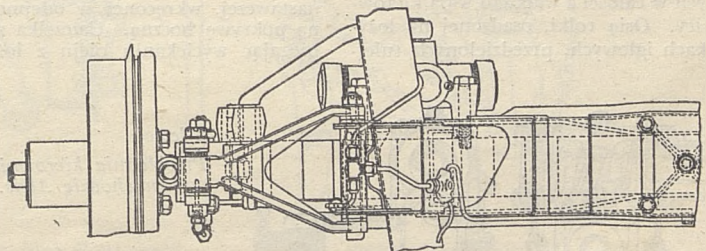
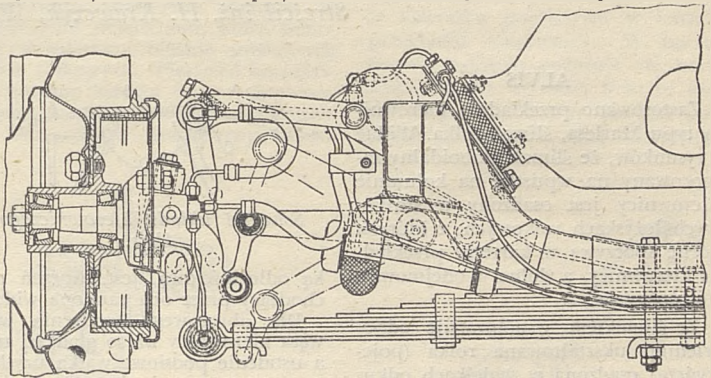
nięty, a korpus jego jest połączony obrotowo z rurową belką osi, która jest przymocowana śrubami do ramy samochodu. Każde z kół tocznych osadzone jest za pomocą łożysk kulowych promieniowo-oporowych na ramieniu, które obraca się w łożyskach igłowych w korpusie zespołu zawieszenia. Ramię połączone jest wieloklinem z krótkim drążkiem skrętnym. Drążek ten przechodzi przez korpus zespołu zawieszenia i przez rurę skrętną, będąc z nią połączony na końcu wieloklinem. Rura skrętna swym kołnierzem przymoco-

wana jest do korpusu zawieszenia. Wielokliny łączące mają kształt drobnych ząbków, co pozwala na dokładną regulację, w szerokich granicach.

Czop, stanowiący oś obrotu ramienia noszącego koło, wchodzi w korpus zespołu zawieszenia i posiada pomiędzy bieżniami łożysk igłowych ząbkowany wieloklin, na którym osadzona jest dźwignia. Koniec tej dźwigni opiera się na czapce nałożonej na spiralną sprężynę, o której była poprzednio mowa. Zadaniem tej sprężyny, która jest pod napięciem 2120 lb. (ok. 960 kg), jest przeciwdziałanie elementom skrętnym przy małych ugięciach, a przez to zmniejszenie sztywności zawieszenia przy normalnych warunkach jazdy. Przy dużych ugięciach zawieszenia sprężyna przestaje działać, przez co zawieszenie staje się sztywniejsze. Zwiększenie sztywności układu ma miejsce przy uginaniu jak również przy odprężaniu zawieszenia.

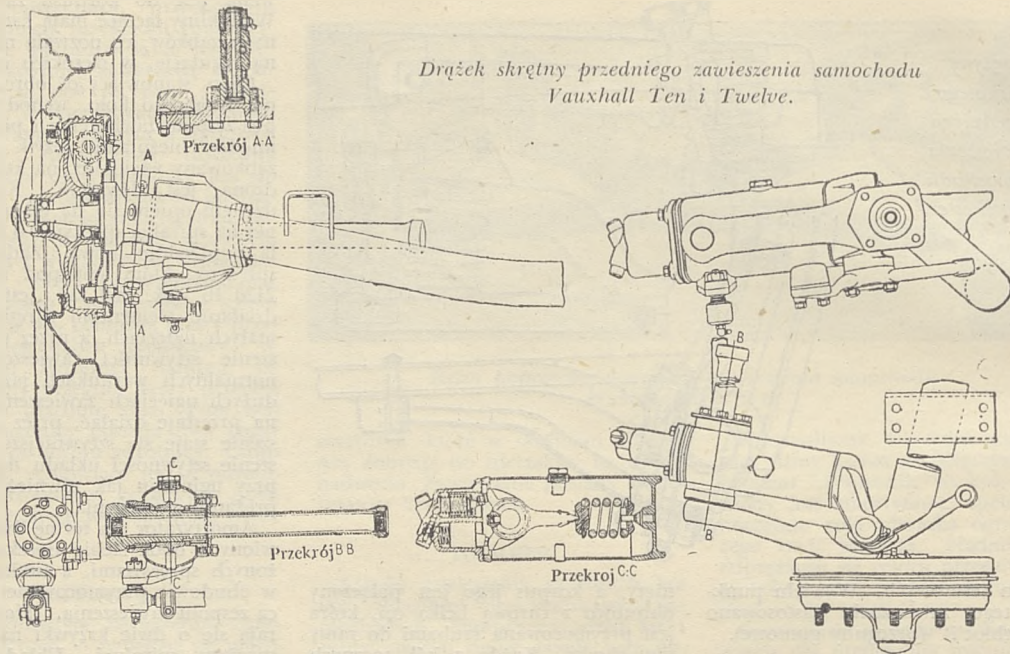
Amortyzator ma formę dwóch ustawionych obok siebie tłoczków obciążonych sprężynami, a umieszczonych w obudowie przymocowanej do końca zespołu zawieszenia. Tłoczki opierają się o dwie krzywki na dźwigni sprężyny spiralnej. Układ kanałów i zawołów jednokierunkowych steruje przepływem oleju wypełniającego amortyzator.

Pod normalnym obciążeniem, ustawienie zespołu zawieszenia i ramienia noszącego koło jest takie, że położenie koła w stosunku do osi sworzniaka zwrotnicy jest prawie takie samo jak w wypadku zawieszenia sztywnego z resorami półeliptycznymi i zwrotnicą osadzoną wprost na belce



Zawieszenie przednie samochodu Standard.

Drążek skrętny przedniego zawieszenia samochodu Vauxhall Ten i Twelve.



osi. Wskutek tego uginanie się zawieszenia nie wpływa na układ kierowniczy. Osadzenie zwrotnicy roz-

wiązane jest w normalnie spotykany sposób. Sworzeń zwrotnicy jest unieruchomiony w belce osi za pomocą

kolka, a ciężar wozu przejmowany jest przez stalową i brązową podkładkę, umieszczone są od spodu belki.

MECHANIZMY KIEROWNICZE

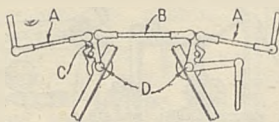
(„Automobile Engineer“ — Oct. 1945 — Extra Number.)

Streścił inż. H. Krawczyk, W.I.T.

ALVIS

Zastosowano przekładnię kierownicy typu Marlesa, ślimak-rolka. Widać z rysunków, że ślimak globoidalny zamocowany na wpustkę na kolumnie kierownicy jest osadzony w stożkowych łożyskach rolkowych, z których górne spoczywa w karterze przekładni kierownicy, a dolne w odejmowalnej pokrywie.

Ze ślimakiem współpracuje odpowiednio ukształtowana rolka (pojedyncza) osadzona w widelkach odkutych w całości z wałkiem węża kierownicy. Osią rolki, osadzonej na łożyskach igłowych, przedzielonych tulej-



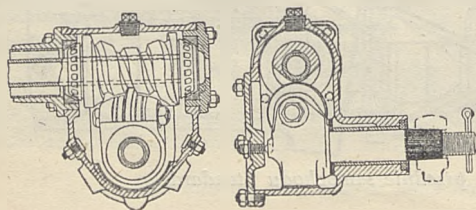
Schemat układu kierowniczego Alvis.

ką odległościową, jest sworzeń przechodzący przez oba ramiona widetek.

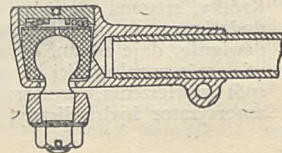
Dla obrotowego osadzenia wałka węża kierownicy użyto gładkiej tulei, a ustalenie poosiowe wałka uzyskano przez zastosowanie hartowanej śruby nastawczej, wkręconej w odejmowalną pokrywą boczną. Uszczelka zapobiegając wyciekaniu oleju z łożyska

wałka węża kierownicy jest typu handlowego. Wystający nadłew karteru przekładni kierownicy służy do zamocowania przekładni do podwozia, przy pomocy rozciętego, ściąganego śrubą wspornika.

Interesującym jest układ drążków kierowniczych, będący patentem firmy Alvis. Jak widać z załączonego szkicu, drążek poprzeczny składa się z członów A i B. Człony te są połączone przegubowo z ramionami C, umocowanymi obrotowo do zastrzałów ramy D. Rozstaw przegubów A jest tak dobrany do długości wahaczy zawieszenia, że względne ruchy kół i ramy nie powodują w drążkach żadnych naprężeń na ściskanie lub roz-



Z lewej: Przekładnia kierownicy Marles w samochodzie Alvis.



Z prawej: Złącza kulowe Alvis.

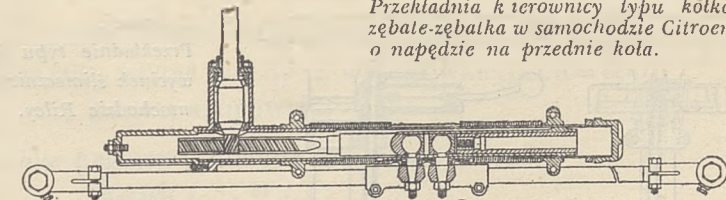
ciąganie, czyniąc kierowanie niezależnym od obciążenia przednich kół. Dalszą zaletą patentu jest to, że w punktach D można wprowadzić tłumienie drgań, dające w efekcie „uspakajanie się” układu, a nie wpływające na skuteczność drobnych ruchów kierownicą.

Zastosowano interesujący typ przegubów, które są samonastawne w miarę zużycia oraz samosmarne. Obsada czopa kulistego wykonana z „lignum vitae” (nazwa fabryczna brązu porowatego naponaję olejem), jest rozcięta na cztery części i osadzona w końcówce drążka kierowniczego. Ponad obsadą znajduje się cienka płytka metalowa, przyciskana w dół płaską sprężyną z drutu o przekroju kwadratowym, umieszczoną w wgłębieniu wkręconego kapturka. Taka obsada sworzni kulistego wywołuje tłumienie drgań w układzie kierowniczym nie kosztem sztywności układu, którego geometria nie zostaje zmieniona, lecz kosztem zamiany drgań na ruchy tłumiące w płaszczyźnie prostopadłej.

AUSTIN

Mechanizm kierowniczy jest konstrukcji i produkcji własnej. Przekładnię typu ślimak — wycinek ślimacznicy posiada globoidalny ślimak wprasowany na kolumnę kierownicy i przytrzymany pierścieniem sprężystym. Ślimak jest osadzony w stożkowych łożyskach rolkowych, których bieżnie wewnętrzne są wykonane wprost na ślimaku.

Zewnętrzne pierścienie łożysk są wciśnięte w karter przekładni kierownicy, którego dolna pokrywa dociskająca łożyska jest przymocowana śrubami, posiadając podkładki regulacyjne pomiędzy kołnierzem a karterem. Górny koniec kolumny kierownicy ma nacięte zębki dla osadzenia koła kierownicy o średnicy 16" i jest wsparty u góry w pochwie kolumny



Przekładnia kierownicy typu kółko zębale-zębátka w samochodzie Citroen o napędzie na przednie koła.

przy pomocy długiej filcowej tulei.

Wycinek ślimacznicy, o trzech zębach, jest wykonany w całości z walcikiem, ułożyskowanym w stalowych, wyłożonych brązem ołowiovym tulejach, wtłoczonych do osobnej obsady, której kołnierz przymocowany jest śrubami karteru. Śruby te nie są pasowane w otworach obsady, co daje możliwość przesuwania obsady i nastawiania luzu między zębami ślimacznicy i ślimaka. Nastawianie posiowie wałka ślimacznicy uzyskuje się zapomocą śruby wkręconej w boczną ścianę karteru i zabezpieczonej zaginaną podkładką. Umieszczenie przekładni kierownicy daleko w przódie ramy, daje dogodny kąt nachylenia kolumny kierownicy. Wszystkie drążki kierownicze oraz ich przeguby nie odbiegają niczem od typów ogólnie spotykanych.

górnego jest przytrzymany pierścieniem nastawczym, trzymanym przez kapturek z kołnierzem. Kapturek daje pomieszczenie dla filcowej uszczelki przeciw wyciekaniu oleju.

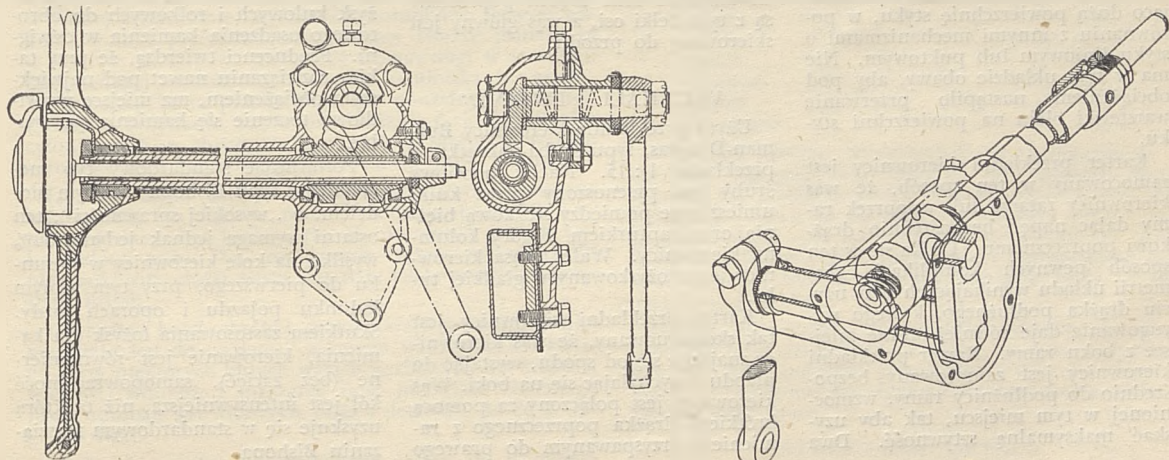
W dolnej swej części karter przekładni przybiera formy poprzecznej rury mieszczącej w sobie zębátkę współpracującą z kołem zębatym naciętym na dolnym końcu kolumny kierownicy. Rura ta jest zamocowana sztywno do przedniego wspornika zawieszenia i posiada podłużne wycięcie. W przedłużeniu zębátki umieszczone są w oprawach dwa czopy kuliste przechodzące przez podłużne wycięcie w rurze i zamocowane do drążków poprzecznych, przenosząc w ten sposób ruch zębátki na przednie koła.

JAGUAR

Zastosowano przekładnię kierownicy Burman-Douglas, opartą na wielozwojowej śrubie o gwincie trapezowym Acme, naciętej na końcu kolumny kierownicy. Luz na średnicy zewnętrznej i wewnętrznej gwintu zapewnia opieranie się nakrętki tylko na ścianach bocznych gwintu. Nakrętka może się przesuwać swobodnie w kierunku poosiowym w karterze przekładni kierownicy. W bocznej ścianie nakrętki znajduje się hartowana tulejka, w którą wchodzi kulisty czop, osadzony w dźwigni połączonej z walcikiem wąsa kierownicy.

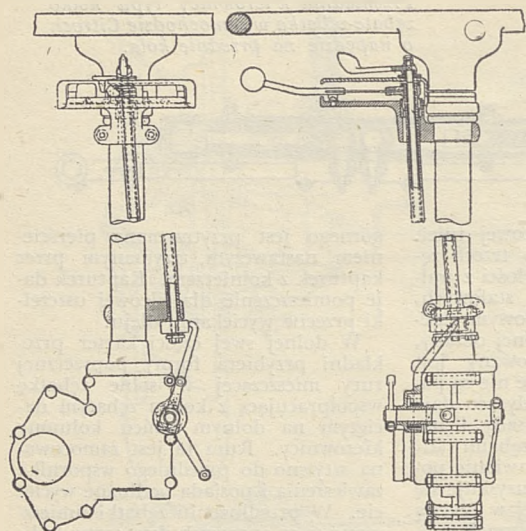
CITROEN

Przekładnia kierownicy typu kółko zębate-zębátka, zastosowana w samochodzie Citroen o napędzie na przednie koła, jest zupełnie specjalnej konstrukcji, stanowiącej bardzo wygodne rozwiązanie przy tego typu napędzie. Kolumna kierownicy posiada na dolnym końcu zgrubienie średnicy, ze stożkowymi przejściami, które stanowią wewnętrzne bieżnie stożkowych łożysk rolkowych. Pierścień zewnętrzny dolnego łożyska opiera się o występ w karterze przekładni kierownicy, zaś pierścień zewnętrzny łożyska



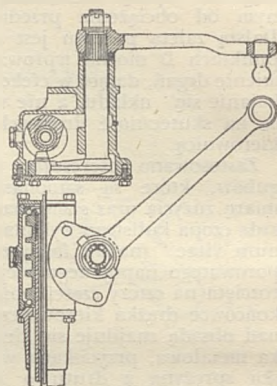
Przekładnia kierownicy typu ślimak-wycinek ślimacznicy w samochodzie Austin Ten.

Przekładnia Burman-Douglas w samochodzie Jaguar.



Z prawej:
Przekładnie typu ślimak-
wycinek ślimacznicy w sa-
mochodzie Riley.

Z lewej:
Przekładnie Bishopa
w samochodzie
Wolseley.



człona zawieszenia. Takie rozwiąza-
nie jest możliwe, gdyż nie ma ruchów
względnych pomiędzy ramą a tym
członem zawieszenia.

Drażek poprzeczny jest umieszczo-
ny z przodu belki osi, a jego końce
wystają poza osie sworzni zwrotnic,
aby uzyskać prawidłową geometrię
układu Ackermanna. Wszystkie prze-
guby układu są uszczelnione, zaopa-
trzone w sprężynę i samonastawne.

Walek ten przechodzi pod nakrętkę
prostą do jej osi, a waś jest za-
mocowany na nim przy pomocy drob-
nych ząbków. Obrót kolumny kie-
rownicy powodują poosiowy przesuw
nakrętki, a to z kolei ruch czopa ku-
listego i obrót dźwigni. Ten sam ruch
wykonuje waś kierownicy, który jest
połączony z dźwignią.

Naciski poosiowe są przyjmowane
przez promieniowe łożysko kulkowe o
głębokich bieżniach. Mimo że łoży-
sko to jest w dużej odległości od śru-
by i nakrętki, określa ono wielkość
luzu tych części.

Tarcie — którego obecność jest ko-
nieczna w jakimkolwiek mecha-
nizmie, od którego wymaga się zdolności
tłumienia drgań — ma w tym wypad-
ku miejsce pomiędzy śrubą a nakręt-
ką, a powierzchnia na której ono wy-
stępuje jest stosunkowo znaczna dla
tego celu.

Wybitną zaletą tego rozwiązania
jest to, że daje ono zawsze wystarcza-
jąco dużą powierzchnię styku, w po-
równaniu z innymi mechanizmami o
styku liniowym lub punktowym. Nie
ma w tym układzie obawy, aby pod
obciążeniem nastąpiło przerwanie
warstewki oleju na powierzchni sty-
ku.

Karter przekładni kierownicy jest
zamocowany w ten sposób, że waś
kierownicy zatacza łuk wpoprzek ra-
my dając napęd bezpośrednio draż-
kowi poprzecznemu. Unika się w ten
sposób pewnych komplikacji geo-
metrii układu wynikających przy uży-
ciu drażka podłużnego, którego wy-
rugowanie daje również wolne miej-
sce z boku ramy. Karter przekładni
kierownicy jest zamocowany bezpo-
średnio do podłużnicy ramy, wzmo-
cnionej w tym miejscu, tak aby uzy-
skać maksymalną sztywność. Dwa

przednie otwory dla zamocowania są
podłużne, co daje możliwość nastawia-
nia przekładni w kierunku piono-
wym; tylne zamocowanie jest za po-
mocą jednej śruby nastawnej z dwa-
ma nakrętkami i daje możliwość nast-
awiania w kierunku bocznym.

RILEY

Mechanizm kierowniczy Riley jest
jednym z niewielu konstruowanych i
produkowanych przez macierzystą fa-
brykę pojazdów i jest typu ślimak —
wycinek ślimacznicy z możliwością re-
gulacji w miarę zużycia. Ślimak trzy-
many z przodu w łożysku kulowym,
podparty jest przez kulistą podkład-
kę oporową. Użyto aluminiowego
karteru z tulejkami brązowymi dla
wałka ślimacznicy. Mechanizm jest
smarowany z centralnego automatycz-
nego urządzenia smarowniczego.

Wąsy kół przymocowane śrubami
do zwrotnic oraz drażek poprzeczny
są z tyłu belki osi, a waś główny jest
skierowany do przodu.

VAUXHALL „TWELVE“

Użyto przekładnię kierownicy Bur-
man-Douglas, typu śruba-nakrętka, o
przekładni 1:15. Nacisk poosiowy
śruby jest przenoszony przez kulki
umieszczone pomiędzy stożkową bie-
żnią oraz kapturkiem u góry kolum-
ny kierownicy. Walek waśa kierow-
nicy jest ułożyskowany w gładkiej tu-
leji.

Karter przekładni kierownicy jest
tak skonstruowany, że waś kierowni-
cy znajduje się od spodu, wystając do
przodu i wychylając się na boki. Waś
kierownicy jest połączony za pomocą
krótkiego drażka poprzecznego z ra-
mieniem przyspawanym do prawego

WOLSELEY

Użyto przekładnię kierownicy
Bishop, typu kulicy, śrubowej (śru-
ba-kamień). Sprawność mechanizmu
powiększono nie tylko przez użycie łoż-
ysk kulowych dla śruby, lecz rów-
nież przez zastosowanie wyjątkowo
długiej dźwigni kamienia, zmniejsza-
jąc tym samym nacisk kamienia na
śrubę. Nowemu modelowi tego typu,
który określono jako „model o wyso-
kiej sprawności“ przypisuje się duże
zalety. Podczas gdy działanie mecha-
nizmu jest takie samo jak w poprzed-
nio stosowanym rozwiązaniu, jednak
tutaj otrzymano toczenie się stożko-
wego kamienia po śrubie. Użytko-
no to przez zastosowanie kombinacji łoż-
ysk kulowych i rolkowych do obro-
towego osadzenia kamienia w dźwig-
ni. Producenci twierdzą, że przy tak-
im rozwiązaniu nawet pod najwięk-
szym obciążeniem, ma miejsce praw-
idłowe toczenie się kamienia po śru-
bie.

Porównując standardowy typ me-
chanizmu typu Bishopa z nowym mo-
delem o „wysokiej sprawności“, ten
ostatni wymaga jednak jedynie 60%
wysiłku na kole kierownicy w stosun-
ku do pierwszego, przy tym samym
ładunku pojazdu i oporach jazdy.
Skutkiem zastosowania łożysk dla ka-
mienia, kierowanie jest równomier-
ne (bez zacięć), samopowracalność
kół jest intensywniejsza, niż ta którą
uzyskuje się w standardowym rozwią-
zaniu Bishopa.

LANE WAŁY KORBOWE

CZYNNIKI UZALEŻNIAJĄCE UŻYCIĘ WAŁÓW Z WYSOKOWARTOŚCIOWEGO

ŻELIWA STOPOWEGO

(„Automobile Engineer“, London, December, 1945.)

Streścił C.S., W.I.T.

Szerokie zainteresowania obecnie wzbudza zastosowanie wałów korbowych z żeliwa stopowego. Firma The Midland Motor Cylinder Co. Ltd., Smethwick, była jedną z pierwszych stosujących wały korbowe lane z wysokowartościowego żeliwa stopowego, znanego pod nazwą Cromol i doświadczenia przez nią osiągnięte są treścią niniejszego artykułu.

Z pośród wielu zalet przypisywanych przez wytwórców wałom lanym, brakuje mu jednej, a to by mogły one zastąpić wały kute bez zmian konstrukcyjnych. Przy zmianie materiału z kutego na lany należy dokładnie rozpatrzyć konstrukcję wału, by wykorzystać w zupełności zalety żeliwa stopowego, jako tworzywa. Nie wszystkie wały można produkować z żeliwa, ale większość z nich można pod warunkiem, że w konstrukcji uwzględni się pewne zasady.

Główne zalety użycia poprawnie skonstruowanego wału lanego są następujące:

(1) Łatwość i szybkość wykonania prototypów do prób. Czas potrzebny do przygotowania i zrobienia narzędzi do kucia jest znacznie dłuższy od czasu wykonania modelu odlewniczego. Jeśli w czasie okresu doświadczalnego okażą się konieczne zmiany kształtu wału, stwierdzić można z całą pewnością, że koszt zmiany modelu będzie niższy od kosztu zmiany matrycy.

(2) Wrodzone, dobrze znane, ślizgowe własności żeliwa, nadają czopom długą trwałość. Stopowe żeliwo szare posiada dobrą zdolność zwilżania, czyli utrzymania warstewki oleju. Równocześnie osnowa tego tworzywa może mieć twardość wystarczającą do znoszenia dużych nacisków występujących w silnikach spalinowych. Dobrą własność ślizgową zachowuje żeliwo przy współpracy ze wszystkimi znanymi metalami łożyskowymi.

(3) Wały o skomplikowanych kształtach, łącznie z nieodejmowaną przeciwwagą można odlać z łatwością. Możliwość wykonania wału w całości z przeciwwagami jest mile widziana przez konstruktora silników. W wypadku nieskomplikowanych wałów, jak np. typowego 4-cylindrowego, w którym wszystkie czopy główne i korbowe leżą w jednej płaszczyźnie, wydaje się stosunkowo łatwym odkucie wału z przeciwwagami. Należy zważyć jednak, że w matrycy dodatkowa głębokość przeciwwagi w stosunku do niedużej szerokości, nastęrcza trudności w kuciu. W wypadku lania przeciwwaga nie powoduje trudności. Zwłaszcza odlewanie wałów dla silników 6-cio lub 8-miocylindrowych o złożonych kształtach i skomplikowanym rozmieszczeniu przeciwwag, przedstawia duże korzyści.

(4) Przy laniu dużych wałów można uzyskać znaczne zmniejszenie ich ciężaru, przez wykonanie drażnionych czopów łożyskowych i korbowych, co nie obniża jednak wytrzymałości wału. To zmniejszenie ciężaru nie tylko obniża całkowity ciężar wozu, ale daje także mniejsze obciążenie łożysk.

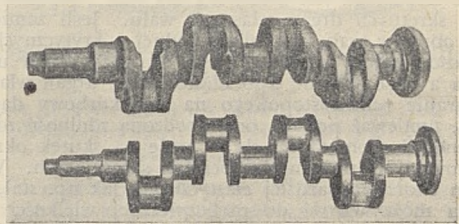
(5) Niższy koszt obróbki maszynowej, ponieważ mniej materiału jest do „zjęcia“ z lanego wału aniżeli z kutego. Przy niektórych kutchych wałach korbowych dla średniej wielkości silników i sprzężarek ilość materiału zebranego przez obróbkę jest niezwykle duża i dochodzi do 80% wagi odkuwki.

(6) Dzięki wrodzonym własnościom żeliwa do tłumienia drgań, okresy drgań są znacznie krótsze. Tworzywo posiadające mały okres drgań, zawsze będzie miało pierwszeń-

stwo w zastosowaniu na wały korbowe. Własność ta musi być rozważona wspólnie z innymi własnościami fizycznymi tworzywa i oczywiście kombinacja tych własności da najlepsze wyniki.

(7) Niski współczynnik rozszerzalności cieplnej umożliwia pracę silnika w wyższych temperaturach, co pozwala na uzyskanie większej mocy z jednostki pojemności, oraz zabezpiecza przed zatarciem przy zachowaniu luzów przewidzianych dla wału stalowego.

(8) Zbyteczna jest jakkolwiek obróbka cieplna. Jest to niezmiernie ważny czynnik w produkcji silników, gdyż odpada koszt i kłopoty nawęglania, hartowania oraz prostowania wału po obróbce cieplnej.



Rys. 1.

Lany wał korbowy, przed i po obróbce maszynowej.

Na rys. 1 pokazany jest w stanie odlanym i po obróbce maszynowej wał korbowy z żeliwa Cromol, dla silnika na ropę produkowanego przez firmę W. H. Dorman & Co. Ltd., Stafford. W silniku tym średnica cylindrów wynosi 115 mm; skok 130 mm; moc 40 KM przy 1000 obr/min.; zaś 69 KM przy 1800 obr/min.; średnica czopów głównych 79 mm; średnica czopów korbowych 78,5 mm.

Skład chemiczny stopowego żeliwa Cromol (chromowo-molibdenowego) jest następujący:

węgiel całkowity	3,15 - 3,35%
krzem	1,70 - 1,95 „
siarka	maks. 0,10 „
fosfor	„ 0,10 „
mangan	0,60 - 0,85 „
chrom	0,30 - 0,50 „
molibden	1,00 - 1,35 „

Własności fizyczne: wytrzymałość na rozciąganie 31 - 35 kg/mm², doraźna wytrzymałość na zginanie 60 - 66 kg/mm² na próbce średnicy 30 mm; współczynnik sprężystości $E = 1,26 \times 10^6$ kg/cm², z pomiarów próbki lanej 32 mm średnicy, 762 mm długości, obrotoczej do 19 mm średnicy i badanej pod obciążeniem skręcającym; twardość Brinell'a wynosi 241 - 280 (średnica kulki 10 mm, obciążenie 3,000 kg).

Oprócz utrzymania odpowiedniej analizy chemicznej tworzywo musi mieć ściśle określoną strukturę. Specjalna technika lania zapewnia jednorodność odlewu, która jest ważna ze względów na dynamiczne wyważenie wału po obróbce maszynowej.

STRUKTURA METALU

Struktura tworzywa Cromol składa się z sorbistycznego perlitu, jako osnowy, oraz drobnych płatków grafitu. Struk-

tura ta daje dobrą obrabialność. Łane wały pracują zadowalająco nie tylko w łożyskach z białego metalu, ale i w twardszych łożyskach jak np. ze stopu miedź-olów, lub brąz ołowiowy. Normalną praktyką w wypadku dużych obciążeń jest stosowanie łożysk ze stopu miedź-olów oraz utwardzenie wału przez azotowanie. Wały łane z wysokowartościowego żeliwa stopowego nie wymagają żadnego utwardzania nawet w wypadkach dużych obciążeń wału. Oprócz doskonałych własności ślizgowych i zdolności tłumienia drgań tworzywo to posiada małą wrażliwość na działanie karbu, stąd duża odporność wału na zmęczenie.

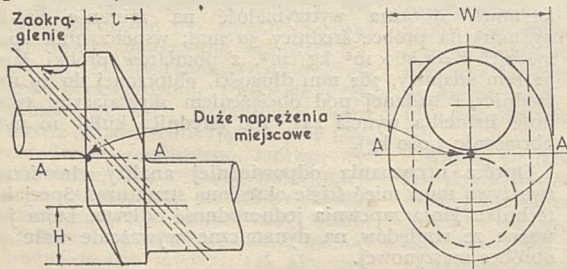
KONSTRUKCJA WAŁU

Często względy produkcji posiadają duży wpływ na konstrukcję. Jeżeli konstruktor będzie miał na względzie jedynie długotrwałość wału, kształt wału wypadłby bardzo złożony. Ze względu na trudności przy kuciu wałów, konieczne są pewne ograniczenia mające na celu uproszczenie konstrukcji, by można było produkować je ekonomicznie. W wypadku wału łanego odpada większość ograniczeń kształtu. Przy konstrukcji znacznej długości wałów do większych silników (6-10 cylindrów w jednym rzędzie) specjalną uwagę należy zwrócić na naprężenia skręcające. Uwzględnić należy fakt, że współczynnik sztywności żeliwa stopowego jest niższy niż dla stali. Wpływa to na okres skrętnych drgań własnych wału. Jeśli zamierzona ilość obrotów wału jest bliska jednej z krytycznych jego szybkości, należy zwiększyć jego wymiary celem usztywnienia a więc zmienić jego częstotliwość drgań własnych. Stosowanie żeliwa stopowego na wał korbowy daje korzyści, ponieważ posiada ono wrodzoną zdolność zdławienia energii gromadzącej się w wale na skutek okresowo powtarzalnych zmiennych obciążeń skręcających. W wypadku tworzywa bardziej elastycznego, jak np. stal, energia ta może wzrosć do niebezpiecznej wielkości drgań skręcających i spowodować obniżenie wytrzymałości wału na zmęczenie.

SZTYWNOŚĆ PRZY ZGINANIU

Celem zapewnienia niskich naprężeń zginających odległość pomiędzy łożyskami wału powinna być możliwie najkrótsza. Polecane jest stosowanie łożysk po obydwu stronach każdego czopa korbowego, zatem ilość łożysk głównych powinna być równa ilości cylindrów plus jeden. Należy unikać długich wystających części wału z przodu lub z tyłu silnika. W niektórych silnikach przedłużenie wału jest konieczne dla umieszczenia koła do napędu zespołu pomocniczego, przy czym w praktyce napęd łańcuchowy jest lepszy od napędu pasowego. Złe naregulowany pas lub lina napędu wywołac może na końcu przedłużenia wału siłę promieniową pięciokrotnie większą od obliczanej, siły stycznej w pasie, tj. duży moment gnący i wysokie naprężania.

Najslabszym miejscem, w niektórych wałach stalowych, jest ramię wykorbienia. Zbyt wysokie naprężania w przekroju A-A (rys. 2) możnaby obniżyć przez zwiększenie grubości ramienia t , jakkolwiek na wymiar ten wpływa odległość osi cylindrów, grubość ich ścianki oraz długość



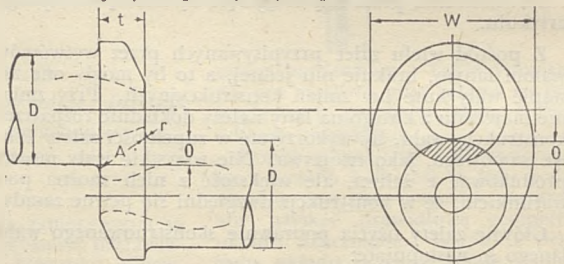
Rys. 2.

Wał korbowy z pełnymi czopami głównymi i korbowymi; jeden ośrodek naprężeń miejscowych.

łożysk. Odporność na zginanie może być nieco poprawiona przez zwiększenie szerokości ramienia w , chociaż posiada ona większy wpływ na odporność na skręcanie wału aniżeli na zginanie, co wynika jasno z rozważenia

$$\text{wartości modułu przekroju ramienia: } Z = \frac{w^2}{6}$$

Ogólnie biorąc najbardziej odpowiednim kształtem ramienia jest elipsa (rys. 2), gdyż daje dużą szerokość przekroju $A-A$, a równocześnie mały ciężar przez uniknięcie ostrych naroży (zaznaczone linią przerywaną). Innym korzystnym szczegółem w konstrukcji jest „zachodzenie” krawędzi łożysk, oznaczone literą O na rys. 3. Polepsza to wartość Z oraz zmniejsza koncentrację naprężeń. Najodpowiedniejsza wielkość tego „zachodzenia” może być określona jedynie praktycznymi próbami.



Rys. 3.

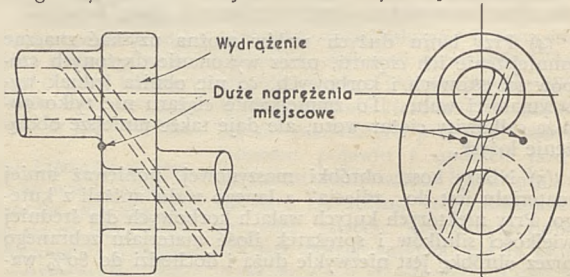
„Zachodzenie” krawędzi czopów O ; korzystniejszy moduł przekroju.

NAPRĘŻENIA MIEJSCOWE

W czasie pracy wału występują w nim równocześnie siły zginające, skręcające i ścinające. Dodatkowo większość wałów korbowych jest typowym przykładem pręta z korbami, w którym występują duże naprężenia miejscowe. Główne czynniki, które wpływają na powstawanie naprężeń miejscowych w wale korbowym są następujące:

- (a) prostopadłość pomiędzy płaszczyznami ramienia korbowego a czopami głównym i korbowym,
- (b) zmiany wielkości promieni przejścia z czopów do ramienia korbowego,
- (c) otwory do smarowania przewiercone przez czopy główne i korbowe, oraz ramiona.

Najsilniejsze naprężenia miejscowe znajdują się zwykle na przejściu z czopu do płaszczyzny ramienia, w miejscu zaznaczonym na rys. 2. Jeśli czopy i ramię są pełne, naprężenia skupiają się na bardzo małej powierzchni, a wartość ich jest wybitnie duża. Mogą one być zmniejszone przez stosowanie wydrzeń w czopach, jak pokazano na rys. 4. Wówczas powstają dwa ośrodki skupienia naprężeń, których wartość jest znacznie niższa aniżeli w wypadku powstania jednego skupienia. Odłanie wału korbowego z wydrzeniami w czopach jest stosunkowo łatwe, gdyż wstawia się poprostu rdzenie. W wypadku jednak wału kutego wymagałoby to kosztownej obróbki maszynowej.



Rys. 4.

Drążone czopy główne i korbowe; zmniejszona wartość naprężeń miejscowych.

WIELKOŚĆ PROMIENI PRZEJŚCIA

Wielkość promienia przejścia ma duży wpływ na skupienie naprężeń. Promień ten powinien być możliwie największy i należy wyznaczyć jego dolną wartość według prostego wzoru: stosunek r/D powinien być większy od 0,050, przy czym r — jest to promień przejścia, D — średnica czopa. Jedną z zalet wału lanego jest mała wrażliwość żeliwa na działanie korbów (wynikłych ze złej obróbki lub przypadkowego zarysowania nożem powierzchni), w porównaniu ze stałą zwłaszcza stałą utwardzoną. Wykończenie powierzchni przejścia, które jest niezmiernie ważne w wałach stalowych, może być swobodniej traktowane w wałach lanych. Stwierdzono, że w niektórych większych wałach można pominąć kosztowną obróbkę szlifowania przejść.

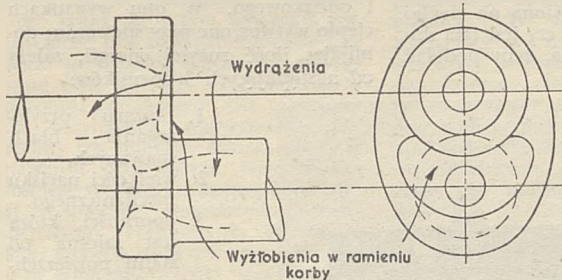
OTWORY DO SMAROWANIA

Wiercone otwory w czopach korbowym i głównym połączone są zazwyczaj rurką metalową, przez którą przepływa olej. Połączenia rurki z wierconymi otworami muszą być szczelne. W lanych wałach stosowane jest przesunięcie otworów do smarowania i wykonanie nadlewu z jednej strony wydrążenia w czopie, jak pokazano na rys. 4. Otwór do smarowania zostaje przewiercony na wskroś i nie ma potrzeby stosowania rurek, a za tym odpada obawa ich nieszczelności.

Ostre krawędzie i naroża powinny być z reguły unikane. Należy więc po wywierceniu otworów zaokrąglić krawędzie, jak uwidoczniono na rys. 2. Dookoła takich otworów występuje silne naprężenie miejscowe i jeśli krawędź otworu nie jest zaokrąglona, może być od niej zapoczątkowane pęknięcie.

WAŁY DRAŻONE

Ideałem jest skonstruowanie wału w którym naprężenia byłyby rozłożone równomiernie. Zbliżenie do tego ideału



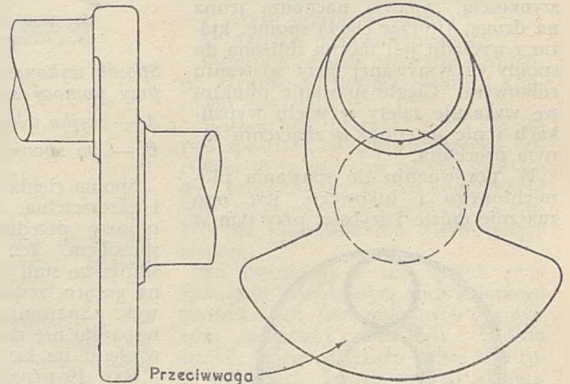
Rys. 5.

Teoretycznie najkorzystniejszy kształt wału korbowego; nastęrcza jednak trudności w produkcji.

osiąga się przez wykonanie drażonych czopów głównych i korbowych, przy czym kształt wydrążenia wyprowadzony jest z matematycznych obliczeń. Podobnie, wyźłobienia w płaszczynach ramienia korbowego sprzyjają równomiernemu rozprowadzeniu naprężeń.

Jest prawie pewne, że prace na powyższy temat zostały

zapoczątkowane w Niemczech i wyniki są opatentowane. Wał korbowy skonstruowany na powyższych zasadach powinien mieć kształt pokazany na rys. 5. Ekonomiczna produkcja takiego wału nastęrcza poważne trudności w odlewni ze względu na skomplikowany kształt rdzeni i kłopoty z prawidłowym ich ustawieniem w formie. Jak dotychczas brak jest wystarczających danych do osądzenia



Rys. 6.

Typowy kształt przeciwwagi którą można odlać w całości z wałem korbowym.

czy wzrost długości tak skonstruowanego wału kompensuje dodatkowe koszty i kłopoty przy jego produkcji.

PRZECIWWAGI

Jedną z najważniejszych zalet wałów lanych w porównaniu z kutymi jest łatwość wykonania złożonych kształtów. Wał może być odlany wraz z przeciwwagami, przez co odpada kosztowna obróbka oddzielnych przeciwwag, które następnie trzeba zamocować do wału śrubami lub przyspawać. Typowy kształt przeciwwagi odlanej w całości z wałem pokazany jest na rys. 6.

W silnikach szybkoobrotowych, jakimi są silniki spalinowe, ważne jest utrzymanie możliwie najmniejszych sił bezwładności mas, mających ruch posuwisto zwrotny, oraz sił odśrodkowych mas mających ruch obrotowy. Siła odśrodkowa jest mniejsza jeśli wał posiada drażone czopy korbowe oraz skośnie ściętą zewnętrzną powierzchnię ramienia korbowego. Wysokość tego ścięcia nie powinna przekraczać osi czopa, jak zaznaczono literą H na rys. 2.

Wiele czynników wpływa na osiągnięcie zadawalających wyników w zastosowaniu lanych wałów. Głównym warunkiem jest konstrukcja wału, dostosowana do własności tworzywa. Firma The Midland Motor Cylinder Co. Ltd., kładzie tak silny nacisk na ten warunek, że nie podejmie produkcji wału, jeśli nie uzyska od zamawiającego zgody na głos doradcy w konstrukcji wału. Dalszym warunkiem sukcesu jest właściwa metoda produkcji wałów, tj. poszczególne operacje w odlewni muszą być dokładnie kontrolowane celem uzyskania tworzywa wysoce jednorodnego zarówno w poszczególnym wale, jak i jednorodności w danej serii odlewów.

SPAWANIE OPOROWE

(„Resistance Welding“ by R. W. Ayers, M. Inst. W. *) — „Aircraft Production“, London, September, 1945, October, 1945.)

Streścił T.Ż., W.I.T.

(dokończenie)

SPAWANIE CIĄGŁE PUNKTOWE

Spawanie ciągle punktowe jest powszechnie stosowane w wytwórniach przerabiających blachę i należy je

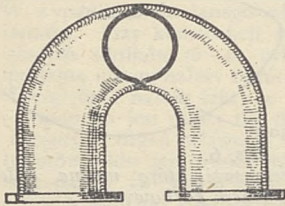
uważać za samoistny proces, a nie gałęź spawania punktowego czy też na-

*) Patrz „Przegląd Motoryzacyjny“ Nr. 13 - 14, str. 54.

miastkę spawania rolkowego. Jest to metoda analogiczna do spawania rolkowego, gdyż polega na wykonywaniu szeregu nakładających się spawek. W odróżnieniu jednak od tego ostat-

niego — przy którym nacisk rolek jest stale utrzymywany, a icdnwie prąd jest przerywany w określonych odstępach czasu—ciągłe spawanie punktowe pozwala stosować spawarki punktowe, które jednak muszą być zautomatyzowane dla pracy z dużą szybkością. Spawki nachodzą jedna na drugą, tworząc ciągłą spoinę, która z wyglądu jest mocno zbliżona do spoiny otrzymywanej przy spawaniu rolkowym. Ciągłe spawanie punktowe wykazuje zalety w wielu wypadkach i nie ustępuje w znaczeniu innym procesom.

W porównaniu do spawania płomieniowego i łukowego, jest ono znacznie tańsze i szybsze, przy tym w



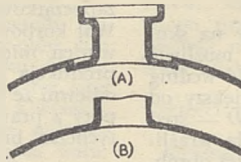
Rys. 18.

Rura wydechowa silnika, wykonana za pomocą spawania ciągłego punktowego, które najlepiej się nadaje do tego celu.

większości wypadków pozwala uniknąć szlifowania spoiny, przed lakierowaniem, emaliowaniem czy też innym sposobem wykończenia stosowanym w przemyśle. Nowoczesne spawarki używane przy tym procesie, są kompletnie zautomatyzowane i przy produkcji dużych serii mogą być zaopatrzone w mechaniczne urządzenia samo zasilające. W wyniku mogą one być obsługiwane przez personel nie wykwalifikowany. Z drugiej jednak strony proces nie nadaje się do spawania dużych przedmiotów, trudnych do przenoszenia i obracania na maszynie. Główną zaletą tej metody jest możliwość spawania przedmiotów o kształtach nie regularnych i skomplikowanych, oraz naroży o małym promieniu zaokrąglenia, tj. robót do których nie nadaje się spawanie rolkowe.

Koszt nowoczesnej spawarki punktowej stanowi około 30% kosztu spawarki rolkowej tej samej klasy. Trzeba to brać pod uwagę przy nowych instalacjach, ale z drugiej strony należy pamiętać, że przy długich i prostych spoinach praca jest znacznie szybsza na spawarkach rolkowych.

Ciągłe spawanie punktowe daje w pewnych wypadkach spoinę zbliżoną do spoiny otrzymywanej przy spawaniu oporowo stykowym, lecz znacznie czystsza. Znalazło to zastosowanie przy produkcji skomplikowanych wykrojów z blachy itp., gdyż ten sposób można nieraz wykorzystać lepiej materiał, zaoszczędzając na ilości odpadków.



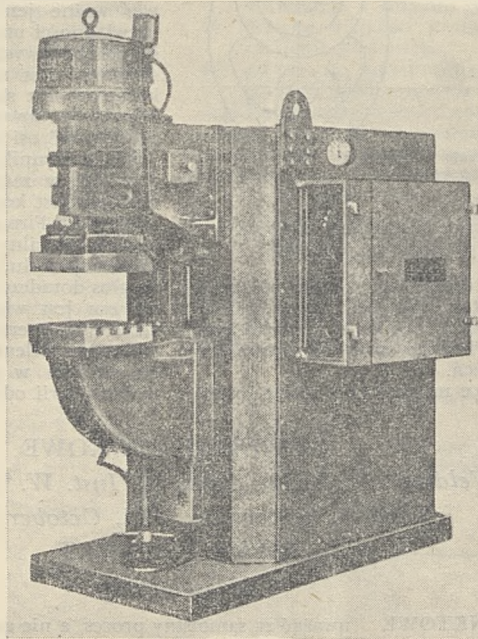
Rys. 19.

Sposób wykonania „spoiny” gładkiej przy pomocy spawania punktowego:

A — szyjka wlewu przed spawaniem, B — po spawaniu.

Spoina ciągła punktowa jest wodo- i gazoszczelna. Na rys. 18 pokazano typowy przedmiot wykonany tym sposobem. Jest to rura wydechowa silnika ze stali nierdzewnej, odpornej na gorąco, zespawana z dwóch połówek. Spawania rolkowego w tym wypadku nie można było stosować ze względu na kształt rury.

Rys. 19 przedstawia przykład spoiny „gładkiej”. Przed spawaniem, części zostały nałożone na siebie na szerokość równą ok. 1,5 mm. W wyniku wysokiej temperatury i nacisku elektrod otrzymuje się jednak spoinę gładką. Ogólnie biorąc ciągłe spawanie punktowe znajduje szerokie zastosowanie gdy się pozna możliwości, które ono daje. Należy jedynie się upewnić, czy punktowa spawarka którą się chce do tego celu wykorzystać może być nastawiona na ciągłą, automatyczną pracę i czy jest ona dostatecznie duża i silna, żeby podolać tej pracy.



Rys. 20.

Spawarka odciskowa pneumatycznie sterowana o mocy 500 k.V.A.

SPAWANIE ODCISKOWE

Źródeł stale zwiększającego się stosowania spawania odciskowego należy szukać nie tylko w opłacalności i innych praktycznych zaletach tej metody, ale również możliwości przystosowania tego procesu do masowej produkcji. Pozwala on bowiem na zachowanie przy wielu punktowym spawaniu tych dokładności wykonania, co przy masowej produkcji na prasach lub pracy na obrabiarkach. W przeciwieństwie do spawania punktowego, przy którym wielkość i rozmieszczenie spawek zależą od wielkości elektrod i miejsca ich przyłożenia przy spawaniu odciskowym, będącym dalszą fazą rozwojową tego ostatniego, rozmieszczenie spawek i ich wielkość są ściśle wyznaczone przez odpowiednie zaprojektowanie części spawanych.

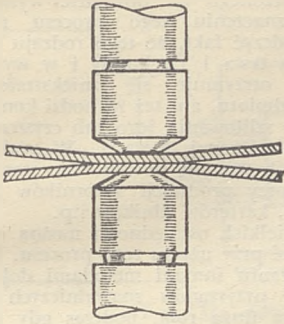
Spawarki odciskowe w swoich konstrukcjach i charakterystykach są wielce zbliżone do spawarek punktowych o napędzie mechanicznym, hydraulicznym czy pneumatycznym. Będąc jednak silniej zbudowane oraz posiadając większe moce elektryczne, są one prawie zawsze zaopatrzone w płyty z teowymi rowkami i z wyglądu przypominają prasy (rys. 20).

Rys. 21 i 22 ilustrują różnice między procesem spawania punktowego i odciskowego. W obu wypadkach ciepło wytworzone przy spawaniu, pomijając ilość zużytej energii, zależy od następujących 3 czynników:

1. obszaru przylegania blach spawanych,
2. wielkości nacisku mechanicznego,
3. oporności, która jest zależna od stanu powierzchni blach spawanych.

Dla celów porównawczych założmy, iż stan powierzchni w obu wypadkach jest jednakowy.

Rys. 21 przedstawia w sposób przesadny warunki zachodzące po zastosowaniu nacisku, przed włączeniem prądu przy punktowym spawaniu. Celem obliczenia wielkości nacisku elektrod należy brać pod uwagę nie tylko nacisk dostateczny dla zapewnienia odpowiedniego nagrzania części w miejscu spawanym, ale również naddatek potrzebny do umiejscowienia nagrzania na odpowied-



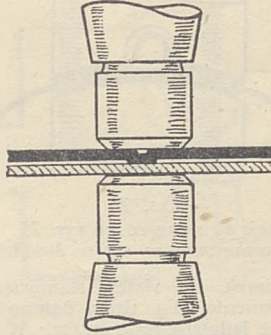
Rys. 21.

Warunki istniejące przed włączeniem prądu przy spawaniu punktowym (przesadnie naszkicowane); granice powierzchni spawki nieokreślone.

nim obszarze. Czynnikiem ten przybiera na znaczeniu w miarę zwiększania grubości spawanego materiału. Jasnym jest, iż niezależnie od wielkości nacisku, obszar przylegającego materiału jest na początku znacznie większy niż powierzchnia końcówek elektrod. Gdy metal poddaje się, po nagraniu, obszar ten staje się równy mniejwięcej powierzchni końcówek elektrod.

Na rys. 22 przedstawiono warunki jakie zachodzą przy wykonywaniu jednej spawki odciskowej. Widać z niego jasno, że w tym wypadku, nacisk może być znacznie mniejszy i że obszar przylegania blachy jest stały w czasie całej operacji. Ponieważ przy spawaniu odciskowym, dla zapewnienia przylegania powierzchni, potrzebny jest mniejszy nacisk, niż przy spawaniu punktowym, więc można stosować spawarki o lżejszej konstrukcji od spawarek potrzebnych do równoczesnego wykonywania tej samej ilości spawek punktowych, a ponadto tą samą ilość ciepła uzyskuje się z mniejszej ilości dostarczonej energii—w wyniku można obniżyć moc maszyny.

Dzięki warunkom przedstawionym na rys. 22 można również skrócić czas wykonywania spawki odciskowej w stosunku do punktowej. Przy spawaniu punktowym powierzchnia spawki jest wielokrotnie większa od żądanego obszaru spawania i dla tego ciepło musi być dostarczane stopniowo, aby pozostawić czas na poddanie się materiału, co ogranicza spawanie do małego obszaru. Przy spawaniu odciskowym obszar spawany jest ograniczony do wielkości wylotzenia (odcisku), a tym samym można nagrzewać materiał znacznie szybciej i czas zużyty na wykonanie spawki wynosi jedynie ułamek czasu zużywanego przy spawaniu punktowym. Stan przedmiotów przed i po operacji jest zobrazowany na rys. 23. Przedstawiono tu zawias stalowy przypawany do drzwi z blachy stalowej. Łatwo spostrzec z tego przykładu trzy zasad-



Rys. 22.

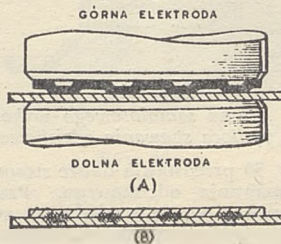
Warunki zachodzące przy spawaniu odciskowym; powierzchnia spawki określona wyraźnie.

nicze korzyści, a mianowicie:

- 1) Cztery spawki wykonuje się równocześnie, co stanowi wielką oszczędność czasu i kosztu.
- 2) Znaki, które powstają przy spawaniu punktowym, są tu po jednej stronie przedmiotu zupełnie wyeliminowane.
- 3) Spawki są rozmieszczone w sposób zaprojektowany, a zatem ich rozmieszczenie nie jest pozostawione osądowi spawacza.

Dalszą zaletą procesu, niewiedzioną na rysunku, stanowi pewność procesu i niski koszt konserwacji elektrod. W spawarkach punktowych, nawet w nowoczesnych najwyższej klasy, w których jest przewidziana pewnego rodzaju kompensacja zmian średnicy elektrody, zawsze należy zwracać baczność uwagę, by utrzymać końcówkę elektrody w odpowiednich granicach, gdyż w przeciwnym razie nie można uzyskać dobrych spawek.

Przy spawaniu punktowym ciepło spawania oraz ciepło powstające na skutek mechanicznego nacisku na elektrody powoduje spłaszczenie elektrod, które muszą być od czasu do czasu „obcinane” przez spawacza. W wyniku tolerancje średnicy elektrod są szerokie, co wprowadza niewiadomy czynnik, który uniemożliwia niezależnie operacji od interwencji



Rys. 23.

Wykonywanie kilku spawek jednocześnie za pomocą spawania odciskowego. Spawanie zawiasów do drzwi: A — zespół przed operacją, B — zespół po operacji.

spawacza, a tym samym zautomatyzowanie jej wszystkich faz.

Można założyć, że nowoczesne spawarki punktowe zapewniają pewność kontroli następujących czynników podstawowych:

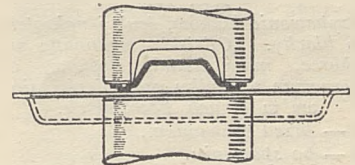
- 1) ilości prądu elektrycznego,
- 2) czasu przepływu prądu i
- 3) nacisku mechanicznego.

Pozostaje jednak nieznanymi i zmieniającymi się w postaci średnicy końcówek elektrody.

Rozpatrując przykład z rys. 23 łatwo spostrzec, że przy spawaniu odciskowym są używane płaskie elektrody. Powoduje to, że ich konserwacja jest zbyteczna, a elektrody mogą służyć bez poprawek dla wielu tysięcy spawek.

Po usunięciu w ten sposób przy spawaniu odciskowym niewiadomego czynnika, to jest zmiennych wymiarów końcówki elektrody, można uznać, że się osiągnęło pełną kontrolę wszystkich podstawowych czynników wchodzących w rachubę przy spawaniu, a więc nie tylko trzech, uprzednio wymienionych, ale również i wielkości spawki. Wszystkie te czynniki są w nowoczesnych spawarkach oddzielnie regulowane. Ponieważ urządzenia regulujące są zaopatrzone w skale, więc ustawienie maszyny można odtworzyć z dużą dokładnością.

Jeżeli dodamy, że stoły spawarek odciskowych posiadają precyzyjne rowki teowe, odpowiednio wyskalowane, a przyrządy są wykonywane z elementami ustalającymi, to jasnym jest, że przyrząd można automatycznie mocować i maszyna może być w każdej chwili identycznie dla danej roboty ustawiona. Jest to przyspieszającym największy postęp osiągnięty dzięki spawarce odciskowej. Umożliwia on precyzyjnie łączenie zespołu przez spawanie oporowe i pozwala

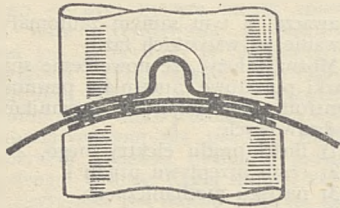


Rys. 24.

Przypawanie ucha do tacy za pomocą spawania odciskowego.

spawarkę postawić na tym samym szczeblu, co obrabiarkę lub prasę.

Rys. 24 przedstawia zastosowanie spawania odciskowego do przypawania ucha do tacy. Przykład ten jest zbliżony do pokazanego na rys. 23 i nie wymaga objaśnień. Na rys. 25 pokazano inny przykład, a mianowicie równoczesne spawanie trzech blach. W tym wypadku odciski mogą być wykonane w dwóch blachach zewnętrznych (rys. 25) lub w blasze wewnętrznej (rys. 26), jeżeli nie jest ona zbyt gruba. W obu wypadkach można osiągnąć równie dobre wyni-

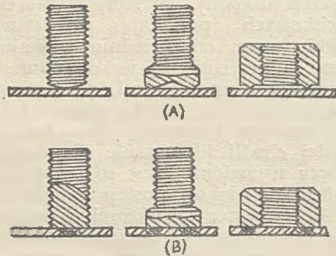


Rys. 25.

Spawanie ucha i płytki usztywniającej do beczki stalowej. Odciski wykonano w częściach zewnętrznych.

ki. O stosowaniu jednej lub drugiej metody decyduje jedynie to, gdzie jest wygodniej wykonać wytłoczenia. Należy jednak również brać pod uwagę czy nie zachodzi konieczność uniknięcia wszelkich śladów i szkar na zewnętrznej powierzchni spawanego zespołu, co w pewnych wypadkach daje duże korzyści. W tym celu trzeba wykonywać wytłoczenia w blasze środkowej.

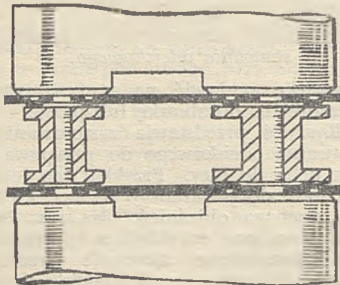
Wykazaliśmy powyżej zalety spawania odciskowego, rozpatrując go jako ulepszoną metodę spawania punktowego. Proces ten otworzył jednak również drogę do zupełnie nowego stosowania spawania oporowego. I tak np. rozwinęło się bardzo spawanie siatek z drutu które jest stosowane poczynając od spawania lekkich ochronnych siatek dla osłony



Rys. 27.

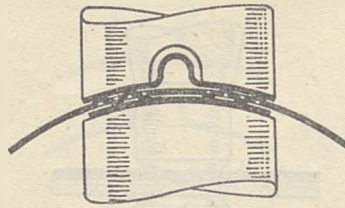
Przypawanie kołków, śrub i nakrętek do blachy. „Odciski“ wykonane na tokarce, mają kształt stożkowy w pierwszym wypadku oraz pierścieniowy w dwóch pozostałych.

A — przed spawaniem,
B — po spawaniu.



Rys. 28.

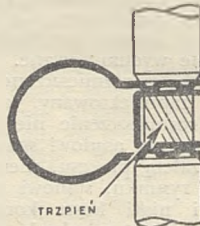
Równoczesne spawanie dwóch blach do tulei (łożysk) uprzednio wykonanych ostatecznie na obrabiarkach.



Rys. 26.

Operacja ta sama co na rys. 25. Odciski wykonane w części środkowej.

obrabiarek do siatek stanowiących wzmocnienia dla dróg betonowych czy też lądowisk samolotów. W wypadku małych siatek są używane jako elektrody wspólne płyty górna i dolna. Przy dużych siatkach stosuje się niezależne pary elektrod dla poszczególnych prętów. Za pomocą spawania odciskowego można również z powodzeniem, w sposób pokazany na rys. 27 i 28, spawać do blachy śruby, nakrętki, kołki, tuleje itp. Wielkość

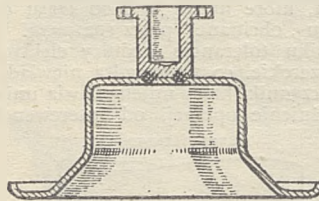


Rys. 29.

Wykonywanie dwóch rzędów spawek odciskowych przy użyciu trzpienia miedzianego dla zamknięcia obwodu roboczego.

„odcisku“ zależy w pewnej mierze od grubości blachy do której jest spawany dany clement, podczas gdy kształt odcisku wpływa z możliwości obróbek.

Na rys. 29 pokazano sposób spawania ucha z korytkiem stalowym.



Rys. 30.

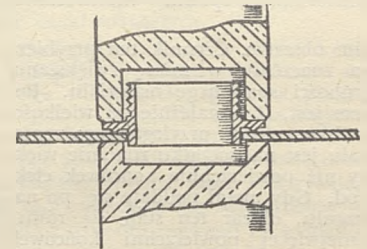
Część silnika samolotowego wykonana za pomocą spawania odciskowego.

Rys 30 przedstawia dalsze stosowanie spawania odciskowego. Przedmiot pokazany, ze względu na swój kształt, był uprzednio wykonywany jako odkuwka całkowicie obrabiana obecnie zaś do powłoki tłocznej przyspawa się trzpień w miejscu dokładnie oznaczonym, który wymaga jedynie obróbki wykańczającej.

Na rys. 31 pokazano wykonywanie spoiny benzynoszczelnej za pomocą

wytoczonego na obwodzie występu. O znaczeniu tego procesu może świadczyć fakt, że tego rodzaju operacja trwa 1/5 sekundy i w wyniku nie otrzymuje się zniekształcenia przedmiotu, ani też zachodzi konieczność szlifowania jego lub czyszczenia po skończonej operacji. W praktyce sposób ten jest powszechnie stosowany przy produkcji zbiorników benzyny, karterów silników itp.

Wielkich oszczędności można oczekiwać przy użyciu tego procesu. Przy spawaniu innymi metodami dokładność przyrządów spawalniczych odgrywa dużą rolę, podczas gdy przy spawaniu odciskowym dokładność zależy jedynie od doboru właściwego kształtu i wielkości odcisku. Odnosnie danych co do dwóch ostatnich



Rys. 31.

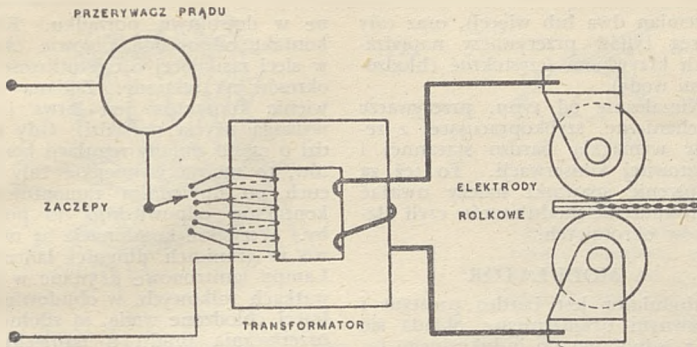
Wykonanie spoiny benzynoszczelnej przy pomocy pierścieniowego odcisku.

punktów najlepiej zwracać się bezpośrednio do firm konstruujących spawarki.

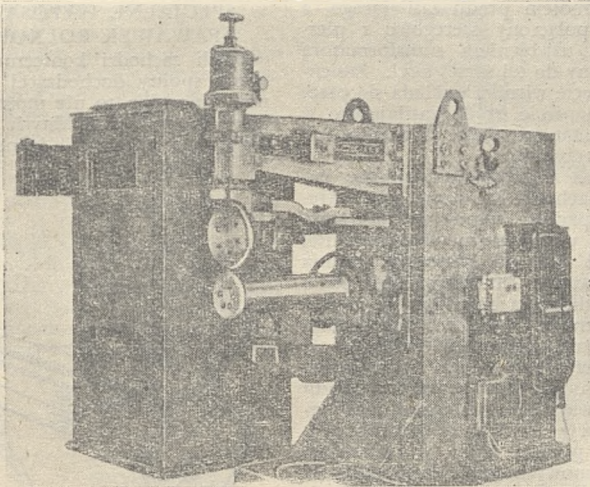
SPAWANIE ROLKOWE

Jeżeli chodzi o wykonanie spoiny w postaci szwu przy łączeniu blachy na zakładkę to najwygodniej jest używać spawania rolkowego. Pozwala ono spawać z szybkością do 9 m/min. i zapewnia spoinę czystą, nie wymagającą czyszczenia po skończonej operacji. Jako ogólną wskazówkę można przyjąć, że tworzywa które dają się spawać punktowo są zdatne również do spawania rolkowego. Spawarki rolkowe są zbliżone z wyglądu do spawarek punktowych, ale używa się w nich zamiast elektrod prętowych elektrody w postaci rolek (rys. 32), przyczym jedna z nich albo obie są napędzane mechanicznie.

W czasie przepływu prądu, podobnie jak przy spawaniu punktowym, elektrody muszą się znajdować pod odpowiednim naciskiem, gdyż w przeciwnym razie występuje iskrzenie i spalanie powierzchni spawanej blachy. Nacisk na elektrody winien być przyłożony przed włączeniem prądu i winien być on utrzymany przez pewien czas po jego wyłączeniu. Jak wyżej zaznaczono, w najbardziej rozpowszechnionych spawarkach, są stosowane jako elektrody dwie rolki, przyczym są w użyciu trzy zasadnicze typy maszyn:

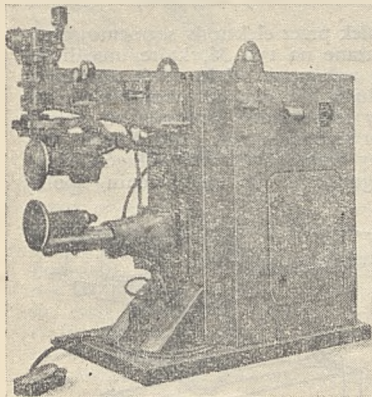


Rys. 32. Schemat spawarki rolkowej.



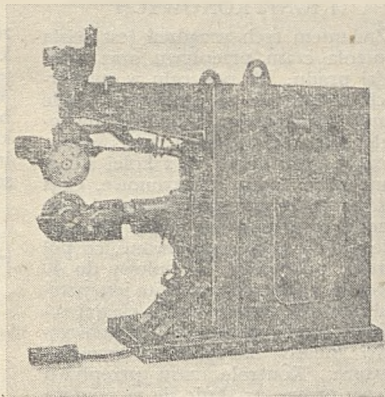
Rys. 33.

Obwodowa spawarka rolkowa wyposażona w pełne urządzenia kontrolne. Dolna rolka jest napędzana za pomocą kół zębatach w części środkowej.



Rys. 34.

Rys. 34. Uniwersalna spawarka rolkowa o mocy 200 k.V.A. ustawiona do pracy wzdłużnej. Górna rolka napędzana jest za pomocą zespołu zamontowanego w korpusie maszyny i składającego się z silnika na prąd zmienny, przekładni redukującej i skrzynki przekładniowej.



Rys. 35.

Rys. 35. Uniwersalna spawarka, ta sama co na rys. 34 ustawiona do pracy obwodowej. W tym celu wymieniono zostało dolne ramię.

1) spawarka rolkowa wzdłużna. Stosowana jest ona przeważnie do wykonywania prostoliniowych spoin w cylindrach lub bębnach.

2) Spawarka rolkowa obwodowa (rys. 33), która służy do przypawania końców do cylindrów lub bębnow, względnie do szwów wzdłużnych, gdy wysięg ramion nie pozwala je wykonywać na spawarce wzdłużnej.

3) Spawarka rolkowa uniwersalna, którą można stosować do obu typów robót powyżej opisanych (rys. 34, 35). Należy zaznaczyć, iż uniwersalne spawarki zazwyczaj posiadają jedynie górną rolkę uniwersalną, zespoły dolnej rolki są natomiast wymienne.

NACISK NA ELEKTRODY

Pierwsze spawarki rolkowe, podobnie jak punktowe, były typu pedałowego, to jest nacisk na elektrody był przenoszony za pośrednictwem sprężyny sterowanej przez pedał połączony z odpowiednim układem dźwigniowym. W dalszym rozwoju procesu wystąpiła konieczność stosowania większych nacisków oraz dokładniejszej kontroli operacji a także zaoszczędzenia zmęczenia spawacza i z czasem zastąpiono sterowanie nożne przez sterowanie mechaniczne względnie hydrauliczne. Przy urządzeniach mechanicznych stosuje się obecnie krzywkę napędzaną za pośrednictwem silnika elektrycznego i sprężynę pracującą na ściskanie, względnie obciążenie statyczne. Najbardziej jednak rozpowszechnione są urządzenia pneumatyczne gdy umożliwiają one łatwość regulacji za pomocą redukcyjnych zaworów i regulowanych przepustnic oraz uniezależniają wielkość nacisku od przesuwu ramienia spawarki.

NAPĘD ROLEK

Celem uniknięcia wielce niepożądanego poślizgu między spawaną blachą a rolką, szybkości obrotowe górnej i dolnej rolki muszą być te same. Rolki posiadają zazwyczaj różne średnice i zużywają się nierównomiernie, a zatem nie można napędzać je obie bezpośrednio.

Ze względu na prostotę rozwiązania konstrukcyjnego najczęściej jest napędzana tylko jedna rolka, drugą zaś jest luźno osadzona na osi. Metoda ta daje wyniki zadawalające nawet przy rolkach o różnych średnicach. Niektóre firmy napędzają jednak obie rolki, przyczym dla zsynchronizowania ich szybkości obrotowych albo stosują dyferencjał, albo też napędzają obie rolki za pośrednictwem karbowanych kółek o jednakowych średnicach i jednakowych szybkościach. Niezależnie od zastosowanego typu napędu musi być przewidziana możliwość regulacji szybkości obrotowej rolek, którą się zmienia w zależności od grubości i rodzaju materiału.

Można to osiągnąć stosując kilkostopniową przekładnię w postaci skrzynki biegów lub napędu linowego, albo też przekładnię ciągłą odpowiedniego typu. Ta ostatnia przypuszczalnie jest najwygodniejszą w praktyce.

W zależności od przeznaczenia oraz od producenta stosowane są następujące napędy rolek:

- 1) napęd górnej rolki kołami zębataymi,
- 2) napęd górnej rolki karbowanym kółkiem,
- 3) napęd dolnej rolki karbowanym kółkiem,
- 4) napęd obu rolek karbowanymi kółkami,
- 5) uniwersalny napęd górnej rolki kołami zębatymi (dla spawania wzdłużnego i obwodowego).
- 6) uniwersalny napęd górnej rolki karbowanym kółkiem,
- 7) uniwersalny napęd dolnej rolki karbowanym kółkiem,
- 8) uniwersalny napęd obu rolek karbowanymi kółkami,
- 9) napęd obu rolek kołami zębatymi poprzez dyferencjał celnic otrzymaną jednakową szybkość obrotową obu rolek.

PRZEPIY PŁADU

Początkowo budowano spawarki rolkowe o stałym przepływie prądu między rolkami; obecnie stosuje się to tylko w wypadku spawania bardzo cienkiej blachy. Przekonano się bowiem, że lepiej jest przerywać prąd w równych, krótkich odstępach czasu wykonując w ten sposób szereg nachodzących na siebie spawek. Stosowanie prądu przerywanego umożliwia ochładzanie się poszczególnych spawek pod ciśnieniem, co zwiększa wytrzymałość spoiny i zmniejsza odkształcenie przedmiotu spawanego.

Szybkość spawania bardzo cienkiego materiału jest tak duża, iż okresowość prądu zmiennego działa w podobny sposób. A zatem przy spawaniu rolkowym można rozróżnić okresy kiedy prąd płynie i okresy kiedy prąd zostaje przerywany. W konstrukcji spawarki trzeba przewidzieć regulację tych okresów, żeby je dostosować do rodzaju roboty. Ilość okresów dla robót normalnych waha się pomiędzy 300 a 1500 na minutę. Napotkano trudności przy projektowaniu urządzeń, któreby mogły przekazywać odpowiedni duży prąd zasilający w żądanych szybkościach. W tym celu obecnie zastosowano trzy sposoby przerywania prądu, a mianowicie:

- 1) przerywanie mechaniczne,
- 2) modulacja prądu,
- 3) sterowanie prądu za pomocą lamp katodowych.

Opracowano kilka typów mechanicznych przerywaczy, które zdały egzamin w ciągu dłużej praktyki. Należy do nich zaliczyć wyłączniki sterowane elektrycznie, pracujące w pojedynkę lub zespołowo (na-

przemian dwa lub więcej), oraz cały szereg typów przerywaczy napędzanych krzywkami (częstokrot chłodzonymi wodą).

Niezależnie od typu, przerywacz mechaniczny, szybko pracujący, z reguły wymaga bardzo starannej i kosztownej konserwacji. To też za ulepszenie spawarki należy uważać wprowadzenie modulatorów czyli dławików obrotowych.

MODULATOR

Modulator jest bardzo prostym i sprawnym urządzeniem. Składa się on z jednofazowego indukcyjnego regulatora, którego stator jest połączony ze źródłem prądu zasilającego, a wirnik połączony szeregowo z pierwotnym uzwojeniem transformatora i włączony do tej samej sieci. Zmienne napięcie wirnika nakłada się przez to na napięcie prądu zasilającego w transformatorze, dając w wyniku napięcia szczytowe.

Podczas każdego szczytowego napięcia zachodzi spawanie. W okresach spadku napięcia następują przerwy w spawaniu, tym niemniej materiał jest do pewnego stopnia podgrzewany. Zmieniając ilość obrotów modulatora reguluje się częstotliwość zmiany szczytów. Konstrukcja modulatora jest tego rodzaju, że okres przepływu prądu spawającego jest równy okresowi przepływu prądu podgrzewającego. Obecnie modulator jest wycierany przez kontrolę prądu przy pomocy lamp tyrotronowych i ignitronowych które dają najlepsze wyniki dla pracy w szerokich granicach.

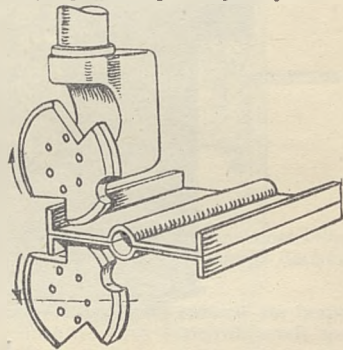
STEROWANIE ZA POMOCĄ LAMP TYRATRONOWYCH I IGNITRONOWYCH

Zadaniem tych urządzeń jest ścisła kontrola czasu przepływu oraz wielkości prądu. W tym celu w spawarkach rolkowych są stosowane dwie lampy ignitronowe, włączone równolegle, lecz w kierunkach przeciwnych. Lampy ignitronowe są z kolei sterowane przez lampy tyratronowe. Czas przepływu prądu spawającego i czas przerw w przepływie mogą być niezależnie od siebie regulowane, co pół okresu, począwszy od połowy do 40 okresów. Kontrola okresów jest przewidziana dla umożliwienia ciągłej regulacji ciepła spawania bez konieczności zmiany zaczerwów na transformatorze. Kontrolę czasu przepływu i czasu przerw uzyskuje się za pomocą łańcucha „bez końca” wyposażonego w dwa rodzaje kontaktów, a mianowicie przewodzących i nieprzewodzących prąd. Łańcuch jest napędzany za pomocą silnika synchronicznego poprzez koła zębate. Łańcuch ten tworzy pewnego rodzaju komutator „bez końca”, w którym kontakty przewodzące i nieprzewodzące prąd mogą być przez spawacza montowa-

ne w dowolnym porządku. Każdy kontakt odpowiada połowie okresu w sieci zasilającej o częstotliwości 50 okresów na sekundę. Zmiana ustawienia kontaktów jest łatwa i nie wymaga użycia narzędzi. Gdy chodzi o częste zmiany regulacji kontaktów, to można wymieniać cały łańcuch po uprzednim zamontowaniu kontaktów odpowiednio do potrzeby. Wszystkie kombinacje są możliwe w granicach długości łańcucha. Lampy ignitronowe używane w spawarkach rolkowych, w obudowie stalowej chłodzone wodą, są zdolne do przerywania prądu o napięciu do 1000 kVA.

SPECJALNE WYPOSAŻENIE SPAWAVEK ROLKOWYCH

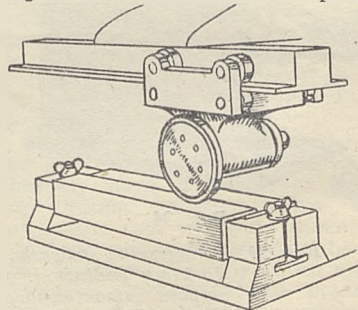
Jeżeli zachodzi konieczność wykonania spoiny dochodzącej do narożnika zbiornika to nie można używać jako elektrod, normalnych rolek. Celowym jest zastąpienie jednej lub obu



Rys. 36.

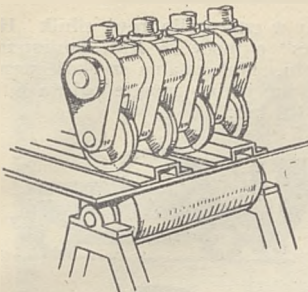
Elektrody segmentowe, przeznaczone do wykonywania spoiny dochodzącej do naroży, z wycięciem dla omińca rury środkowej.

rolek przez elektrody segmentowe pokazane na rys. 36, które umożliwiają wykonanie wielu robót tego typu. Muszą być one tak uregulowane, żeby rozpoczynać spawanie od początku segmentu przy czym długość spoiny winna być równa długości łuku segmentu. Po zakończeniu spoiny



Rys. 37.

Zasada spawarki rolkowej z przesuwaniem trzpieniem. Dolny trzpień jest nieruchomy a napędzana rolka jest równocześnie przesuwana na kółkach.

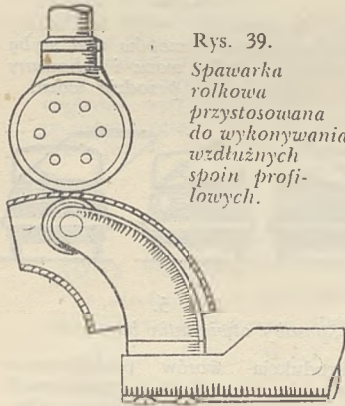


Rys. 38.

Zasada spawarki wielorolkowej. Spawarka ta jest wyposażona w dwa transformatory.

lub zwolnieniu nacisku na segmentowe elektrody, zwracają one samoczynnie do punktu wyjściowego.

Przy spawaniu małych przedmiotów w rodzaju rur o małych średnicach (np. dla tłumików samochodowych) itp. znalazły zastosowanie spawarki w rodzaju przedstawionej schematycznie na rys. 37. W spawarkach tych górną elektrodę stanowi normalna rolka. Dolną rolę zastąpiono natomiast przez przesuwny trzpień, który się wykonuje odpowiednio do kształtu przedmiotu. Napędzana może być górna rolka w sposób uwidocz-



Rys. 39.

Spawarka rolkowa przystosowana do wykonywania wzdłużnych spoin profilowych.

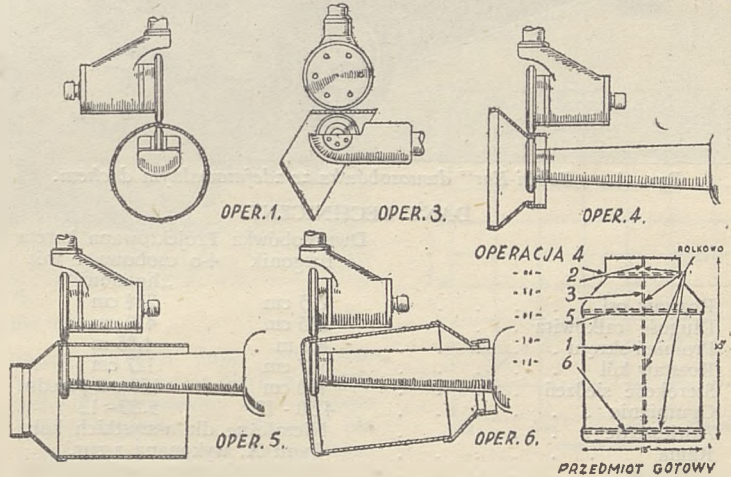
niony na rys. 37, lub też stół (montowany wówczas na łożyskach kulkowych) za pośrednictwem śruby i nakrętki lub koła zębatego i zębátky. Pożądane jest, wykonywanie spawania w obu kierunkach przesuwu stołu, gdyż pozwala to uniknąć straty czasu na jałowy powrót stołu po ukończonej operacji.

Spawarki rolkowe do wykonywania



Rys. 40.

Wykonywanie spoin przy łączeniu na zakładkę oraz „gładkich” spoin. Przy „gładkiej” spoinie szerokość wstępnej zakładki winna być około dwa razy większa od grubości blachy spawanej. Podczas operacji spawania zakładka poddaje się i otrzymuje się gładką spoinę.



Rys. 41.

Kolejność operacji przy wykonywaniu zbiornika spawanego rolkowo.

podwójnej spoiny posiadają dwie zalety, a mianowicie rozwiązują zagadnienie zmiennej indukcyjności, powstającej gdy stal wchodzi między ramiona spawarki, oraz pozwalają na równoczesne wykonywanie dwóch spoin. Zasada spawania seryjnego jest zobrazowana na rys. 38. W tym wypadku prąd przepływa od jednej górnej rolki poprzez blachę spawaną i wspólną, dolną rolę do drugiej górnej rolki. Dolna rolka spełnia rolę przewodnika i jest izolowana od reszty maszyny, a zatem podtrzymujące ją ramię może być wykonane ze stali lub żeliwa i jest projektowane jedynie z punktu widzenia wytrzymałości.

Adoptację spawarki rolkowej do wykonania wzdłużnej spoiny o kształcie profilowym, przedstawia rys. 39.

Nierzaz zachodzi potrzeba wykonania „gładkiej” spoiny, to znaczy bez

zakładki. W tym celu można stosować metodę pokazaną na rysunku 40. W większości wypadków za pomocą spawania rolkowego z łatwością można wykonywać spoiny „gładkie” tym niemniej bez potrzeby nie należy ich stosować. Wymagają one znacznie lepszego wstępnego wykończenia części spawanych oraz dokładnych przyrządów, któreby wstępna zakładkę utrzymywały w odpowiednich granicach — a w wyniku szybkość spawania spada. Tym niemniej zalety tego rodzaju wykończenia są oczywiste i, gdy występuje potrzeba, opłaca się wykonywać „gładką” spoinę. Przedmiot w ten sposób spawany nie wymaga bowiem żadnego wykończenia przed malowaniem, emaliowaniem, a nawet lakierowaniem.

Na rys. 41 pokazano przykład wykonania za pomocą spawania rolkowego zbiornika ze stali nierdzewnej.

RYNEK SAMOCHODOWY

AMERYKAŃSKI SAMOCHÓD POPULARNY „THE BOBBI-KAR“

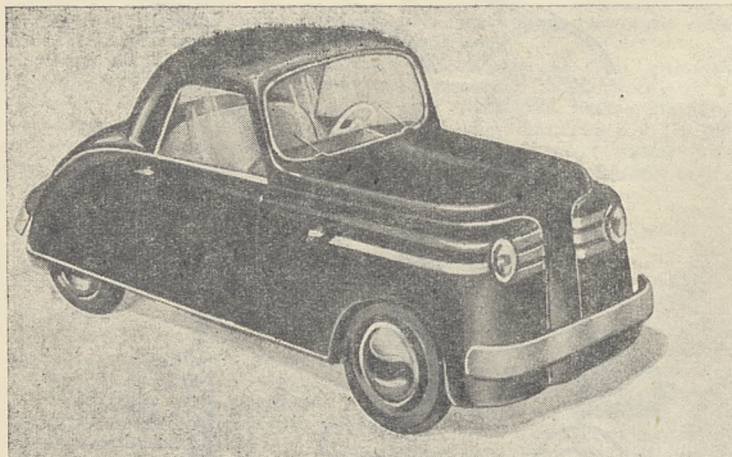
(„Automotive and Aviation Industries“, Chicago, 1st March, 1946.) Streścił Z. J., W.I.T.

„Bobbi-Kar“, skonstruowany jako wóz tani, pojawił się obecnie na rynku amerykańskim w dwu standardowych typach: dwuosobowy (rys. 1) ze

zdejmovalną budą oraz furgonką (rys. 2). Wkrótce ma być wypuszczona na rynek czterosobowa karetką oraz wóz „hotelowy“. Cena wozu,

niezależnie od typu karoserii, przewidziana jest na 500-600 dolarów loco fabryka.

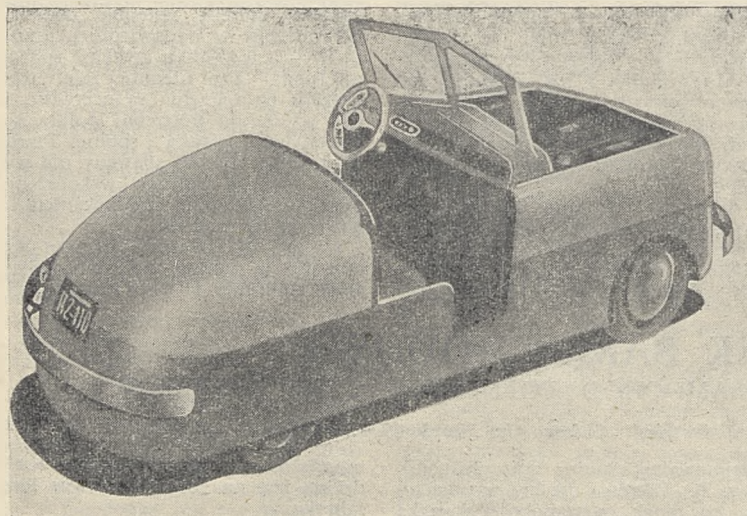
Wóz waży ok. 450 kg i jest wyposażony



Rys. 1. „Bobbi-Kar“ dwuosobówka ze zdejmowalnym dachem.

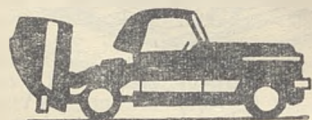
DANE TECHNICZNE

	Dwuosobówka	Projektowana karéta i furgonik	4-o osobowa i wóz „hotelowy“
Rozstaw osi	205 cm	254 cm	254 cm
Długość całkowita	235 cm	410 cm	410 cm
Promień skrętu	4,1 m	4,85 m	4,85 m
Rozstaw kół	107 cm	127 cm	127 cm
Szerokość siedzeń	110 cm	120 cm	120 cm przedn.
Ogumienie	4.50 - 12	5.00 - 12	5.00 - 12
Zawieszenie	Niezależne dla wszystkich kół.		
Rama	Typu X, wykonana z rur.		
Bagażnik	W przodzie wozu, pod pokrywą.		
Silnik (dla wszystkich typów)			
Firma, model	„Herkules“ model Z x B		
Ilość cylindrów	4		
Średnica x skok	66 x 76 mm		
Pojemność	1065 cm ³		
Moc maksymalna	26 KM		
Smarowanie	Pod ciśnieniem		
Układ zaworu	Dolny		
Materiał tłoka	Żeliwo		
Chłodzenie	Termosyfon (pompa wodna może być założona na życzenie).		



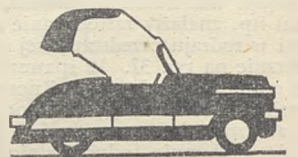
Rys. 2. Furgonik (prawa strona wozu obok kierowcy przeznaczona również na ładunek).

żony w czterocylindrowy silnik „Hercules“ o mocy 26 KM, umieszczony z tyłu. Maksymalna szybkość wynosi 105 km/godz., zużycie paliwa 6 ltr. na 100 km.



Rys. 3.

Otwieranie osłony i wymontowywanie zespołu napędu odbywa się ku tyłowi wozu.



Rys. 4.

Dach dwuosobówki może być zdjęty przez zluźnienie zaczepów nad szybą przednią i z tyłu wozu i schowany w bagażniku w przodzie wozu.



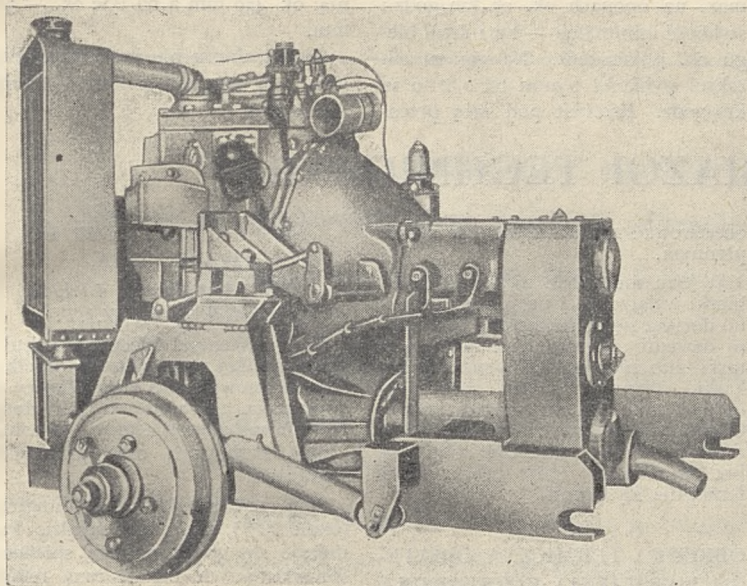
Rys. 5.

Sposoby otwierania bagażnika.

Produkcja wozów projektowana jest w dwu fabrykach, przerobionych z zakładów lotniczych w Chula Vista i National City koło San Diego. Firma spodziewa się osiągnąć w lutym 1947 r. produkcję 5000 wozów miesięcznie. Podwozie, zawieszone niezależnie na czterech kołach, posiada ramę typu X wykonaną z rur. Prototypy posiadały resory ze sprężyn spiralnych, modele obecne zawieszone są na gumowych skrętnych wieszakach i posiadają koła o średnicy 12" oraz opony niskiego ciśnienia.

Napęd wozu rozwiązano jako jeden zespół składający się z silnika, sprzęgła, skrzynki przekładniowej i dyferencjału (rys. 3). Całość jest zawieszona na podłużnicach ramy w trzech punktach na gumowych wieszakach.

Każda półś posiada dwa przeguby uniwersalne. Po odkręceniu czterech śrub z wewnętrznych przegubów półś i trzech śrub zawieszania silnika, cały zespół napędu można wyjąć z sa-



Rys. 6.

Zespół napędu wozu.

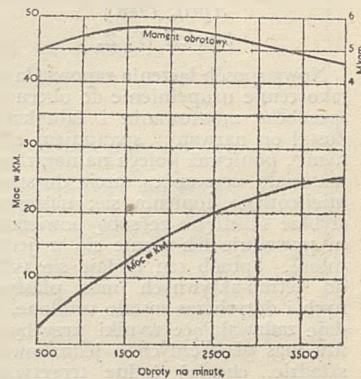
mochodu. Ułatwia to bardzo obsługę wozu i umożliwia zamianę całego zespołu w krótkim czasie.

Przy opracowywaniu prototypów robione były badania nad możliwością zastosowania materiałów plastycznych na nadwozie. Jakkolwiek ze względów wytrzymałościowych i estetycznego wyglądu dały one dobre wyniki, jednak koszt zastosowania ich

okazał się zbyt duży. Nawrócono więc do nadwozia z blach stalowych. Jedyne zdejmowalne dachy dwuosobówki, wykonano z materiału plastycznego, ze względu na zmniejszenie ciężaru, ułatwiają obsługę, oraz kształt, wybitnie nadający się do wykonania z tego materiału.

Części nadwozia są umocowane do

ramy w ten sposób, że mogą być łatwo zdejmowalne do naprawy, lub wymiany. Platy nadwozia o kształcie mało skomplikowanym, są łatwe do produkcji. Surowe prasowane blachy nadwozia są wyścielone od wewnątrz gąbczastą gumą i pokryte imitacją skóry. Ten sposób pokrycia surowych powierzchni wnętrza wozu okazał się tańszy niż sposoby poprzednio stosowane, wymagające czyszczenia, trawienia, malowania itp. Urządzenia wnętrza jak siedzenia, oparcia itd. pokryte są również imitacją skóry, przy czym kolor wykończenia wnętrza może być wykonany według życzenia odbiorcy.



Rys. 7.

Wykres mocy i momentu silnika „Herkules” Z.B.

NOWY SAMOCHÓD „KAISER”

(„Mechanical Engineering”,
New York, February, 1946.)

Streścił Z. J., W.I.T.

Kaiser-Frazer Corporation wchodzi na rynek samochodowy z pierwszym swoim modelem samochodu „Kaiser” (od imienia Henry J. Kaiser).

Model ten jest to pełnowymiarowy sześć-osobowy wóz o nowoczesnych liniach i następujących cechach szczególnych:

1. Będzie to pierwszy amerykański samochód o przednim napędzie w klasie wozów tanich.
2. Jego łatwo wymontowywany 6-cio cylindrowy silnik o mocy 85 KM wykonany we wspólnym zespole ze sprzęgłem, skrzynką biegów i dyferencjałem, jest umieszczony przed przednią osią, czyli odmiennie niż w innych wozach o przednim napędzie. Stwarza to lepsze warunki pociągu (trakcji) oraz daje bardziej stały środek ciężkości wozu.
3. Po raz pierwszy w Ameryce wóz masowej produkcji jest wyposażo-

ny w niezależne zawieszenie (na drążkach skrętnych) na wszystkich czterech kołach.

4. Nadwozie typu tzw. „monocoque” (skorupowego), tworzące całość z ramą, zapewnia jazdę cichą bez zgrzytów i skrzypień, tak często powodowanych ruchami nadwozia względem ramy.

KARRIER CK 3

(„The Commercial Motor”,
29th March, 1946.)

Streścił L.S., W.I.T.

Firma Karrier Motors Ltd., należąca do koncernu Rootes'a, wypuściła na rynek ulepszoną odmianę 3-tonowego, dwuosobowego, sześciokołowego podwozia ciężarowego, nadając mu nazwę Karrier 3-4 tony typ CK 3. Firma twierdzi, że Karrier typ CK 3 szczególnie nadaje się na śmieciarki o pojemności 8 - 14 m³, wozы asenizacyjne o ok. 3.000 litrów pojemności, ciężarówki z nadwoziem-wywrotką itp.

TRAKTOR UNIWERSALNY NUFFIELDA

(„The Commercial Motor”,
29th March, 1946.)

Streścił L.S., W.I.T.

Koncern samochodowy lorda Nuffielda (dawniejszy Mr. Morris) wypuszcza pierwszy swój traktor rolniczy pod nazwą „Nuffield Universal Tractor”, wykorzystując w ten sposób swoje, rozwinięte w czasie wojny, oddziały produkcji wojskowych pojazdów terenowych.

Pomimo prostej konstrukcji, traktor ten posiada kilka interesujących inowacji: ma on być całkowicie odporny na wpływy atmosferyczne, błoto, rdzewienie itp.; może być na miejscu użytkowania przekształcony z czterokołowa, na trójkołowiec lub na traktor gąsienicowy i jest sprzedawany z pełnym, niezbędnym do takich przeobrażeń, wyposażeniem.

Czterocyldrowy benzynowo-naftowy silnik, o mocy na hamowni 30 HP przy 1300 obr/min, jest wyposażony w regulator obrotów, nastawny w granicach od 800 do 2000 obr/min.

Inne szczegóły konstrukcyjne: zapłon magneto; wymienne tuleje cylindrowe; zamiennie koła na pneumatykach, albo koła bieżne stalowe, albo też gąsienice; 5-cio biegowa skrzynka biegów plus bieg wsteczny; szybkość

max. na oponach ok. 27 km/godz.; szybkość minimalna — na 1-szym biegu ok. 3 km/godz. Na gąsienicach zakres szybkości wynosi od 0,8 do 10 km/godz. Przeświet pod osią przed-

nią: ok. 450 mm a na tyle ok. — 580 mm.

Cena traktora nie jest jeszcze ustalona, ale ma być podobno bardzo przystępna.

DROBIAZGI TECHNICZNE

SPAWANIE CIERNE TERMO-AKTYWNYCH MAS PŁASTYCZNYCH

(K. Rose „Materials and Methods“, Vol. 22, No. 6, Dec. 1945—, „The Engineers' Digest“, Vol. VII, No. 4,

April, 1946.)

Streścił W. Z.

Nowy sposób łączenia zapowiada się jako cennie uzupełnienie do obecnych sposobów montowania i fabrykacji. Został on nazwany „spawaniem ciernym“, ponieważ polega na nagraniu materiału za pomocą tarcia do stanu miejscowego topienia, się; następnie szybkie ściśnięcie ze sobą powierzchni powoduje ich zlanie się w jedną całość. Sposób ten nadaje się tylko do termo-aktywnych mas plastycznych i dotychczas zostało ustalone, że daje zadawalające wyniki przy łączeniu mas plastycznych o jednakowym składzie, chociaż żadne teoretyczne względy nie stoją na przeszkodzie do użycia tego sposobu, przy łączeniu mas plastycznych o różnym składzie. Stosowano go na skalę laboratoryjną do łączenia mas plastycznych z drzewem i metalem.

Ważną zaletą spawania ciernego jest nadzwyczajna prostota. Do jego wykonania nie potrzeba specjalnych urządzeń. Sposób polega na zetknięciu ze sobą dwóch powierzchni, z których jedna lub obydwie wprowadzone są w szybki ruch i zastosowania nacisku wystarczającego do spowodowania tarcia w celu wytworzenia potrzebnego ciepła. Gdy powierzchnie osiągną stan topliwości, przedmioty łączone dociska się mocno do siebie, wyłączając napęd obrabiarki. Roztopione powierzchnie masy plastycznej stwardnieją natychmiast i dwa przedmioty zostają spójne ze sobą.

Do spawania, jeden z przedmiotów z masy plastycznej umocowuje się w uchwycie szybkoobrotowej wiertarki, szybkoobrotowej tokarki, wirówki, lub tp. Drugi przedmiot może być trzymany w imadle na stole wiertarki, lub zamocowany inaczej, odpowiednio do konstrukcji użytej obrabiarki. Po upływie kilku sekund, od chwili zetknięcia się przedmiotu obracającego się z przedmiotem unieruchomionym, materiał zaczyna dymić i za-

obserwować można żywicę w stanie płynnym.

W tym momencie wyłącznik obrabiarki wyłącza się i natychmiast mocno dociska się części łączone za pomocą dźwigni, postawu wrzeczona wiertarki, lub ręcznego koła suportu tokarki. Płynny materiał stwardnieje bezpośrednio po zatrzymaniu ruchu. Cienki kruchy rąbek wyciśnięty na zewnątrz spoiny może być oblamany bez trudności. Cały proces trwa mniej niż 30 sekund.

OBRÓBKA TERMICZNA ZĘBATEGO PIERŚCIENIA ROZRUSZNIKA METODĄ INDUKCYJNĄ

(Production of Starter Gear Rings Revolutionized by electronic process —, „Machinery“, New York,

January 1946.)

Streścił Z.J.—W.I.T.

Zastosowanie przez Studebaker Corporation metody indukcyjnej do obróbki termicznej pierścienia zębatego dla rozrusznika zredukowało czas obróbki z dwóch i pół godzin do 20 sekund. Zamiast nagrzewania całego pierścienia w piecu gazowym, nagrzewaniu podlegają jedynie zęby pierścienia od których wymagana jest większa twardość. Obrobione termicznie tą metodą zęby mają znacznie większą odporność na uderzenia; pierścienie ulegają mniejszym odkształceniom, co ułatwia montaż i zapewnia równomierniejszą pracę.

Dla obróbki tą metodą pierścień osadza się na uchwycie mosiężnym wewnątrz zmiennego pola magnetycznego, wytworzonego cewką. Podczas procesu przedmiot obraca się z uchwytem z szybkością 75 obr./min., zaś prąd o wysokiej częstotliwości, zasilający cewkę, zmienia w niej pole magnetyczne 540.000 razy w ciągu sekundy. Zmienne pole wywołuje ruchy drobin materiału zębów pierścienia i powoduje wytwarzanie się ciepła na powierzchni, które postępuje w głąb materiału. Prąd wyłącza się w chwili, gdy temperatura zębów osiągnie 850° C (po około 13 sekundach), a następnie strumień wody, z rury otaczającej pierścień, studzi go w ciągu 7 sekund. W czasie studzenia, przedmiot obraca się w celu zapewnienia równomiernego chłodzenia.

NOWY CIĘŻKI STOP DO WYWAŻANIA.

(„The Aeroplane“, 4.1.1946.)

Streścił T. Ż., W.I.T.

Firma „General Electric Co. Ltd.“ wprowadziła na rynek w Wielkiej Brytanii nowy ciężki stop, służący do wyważania. Znalazł on jak dotąd głównie zastosowanie przy wyważaniu wałów korbowych oraz przyrządów lotniczych.

Stop ten składa się z tungstenu (około 90%), niklu oraz miedzi. Produkują go za pomocą spiekania sproszkowanych metali przy temperaturze 1450° C. Jest on obrabiany z łatwością przez skrawanie. Wykazuje dużą odporność przeciwkorozyjną na działanie wody morskiej. Może on być powlekany elektrolitycznie nikiem, chromem lub kadmem. Poza to nadaje się do lutowania na brąz lub srebro, za pomocą normalnych metod. Spawać go można przy pomocy wodoru — stosując specjalną metodę. W razie potrzeby stop ten może być dostarczony w formie odlewów z normalnymi nadatkami na obróbkę, przy małych przedmiotach można jednak pominąć obróbkę, gdyż dają się utrzymać dostatecznie wąskie tolerancje odlewów.

W stosunku do ołowiu nowy stop wykazuje następujące zalety: większy ciężar właściwy, bez porównania lepsze właściwości wytrzymałościowe, wysoki punkt topliwości i brak skłonności do odkształceń.

Najważniejsze dane techniczne:

Wytrzymałość na zerwanie 66 kg/mm².

Wydłużenie (przy próbie 25 cm) 3%.

Granica płynności 59 kg/mm².

Wytrzymałość na ściskanie powyżej 200 kg/mm².

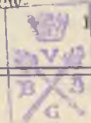
Twardość wg. Brinella 290°.

Ciężar właściwy 16-17.

Współczynnik rozszerzalności (20° - 420° C) 5, 6 × 10⁻⁶.

Przewodnictwo elektryczne ohm⁻¹ · cm⁻¹ 0,68 × 10⁵.

Przewodnictwo cieplne (C.G.S) 0,25.



BIBLIOTEKA „PRZEGLĄDU MOTORYZACYJNEGO“

Ukazały się następujące tomy Biblioteki „Przeglądu Motoryzacyjnego“ :

- Nr. 1 — **A Theegarten, V.D.I. i M. Geyer, V.D.I. „FREZOWANIE“** (2 wydania. Cena 4/-, wraz z przesyłką 4/6.
- Nr. 2. — **„DRYKOWANIE“** (2 wydania). Cena 4/-, wraz przesyłką 4/6.
- Nr. 3. — **„PRODUKCJA WYROBÓW BAKELITOWYCH“** (2 wydania). Cena 4/6, z przesyłką 5/-.
- Nr. 4. — **„CHROMOWANIE“** — zastosowanie chromowania celem utrwalenia i uodpornienia na zużycie powierzchni sprawdzianów, narzędzi do skrawania, matryc, form oraz części maszyn. — Cena 4/6, z przesyłką 5/-.

Powyższe broszury są tłumaczeniem wydawnictwa
Machinery „Yellow Back Series“.

W przygotowaniu są następujące dalsze tomy :

„KOŁA ZĘBATE“ — w opracowaniu inż. Z. Kornbergera.

„PRODUKCJA ODKUWEK FOREMNIKOWYCH“ — w opracowaniu inż.
J. Malanowskiego.

„TOKARSTWO“ — w opracowaniu inż. Cz. Fałkowskiego.

„PRASY DO PRZEROBU BLACHY“ — w opracowaniu inż. T. Żylińskiego.

Ponadto jest w opracowaniu **„KALENDARZYK PRZEGLĄDU MOTORYZACYJNEGO“.**

Książki można zamawiać wpłacając należność na ręce Skarbnika Komitetu Redakcyjno-Wydawniczego „Przeglądu Motoryzacyjnego“, kol. S. Bissenika (Charleshill near Aberdour, Fife, Great Britain).

